

# Cubillages of cyclic zonotopes

Vladimir I. Danilov\*    Alexander V. Karzanov†    Gleb A. Koshevoy‡

## Аннотация

This paper (written in Russian) presents a survey of new and earlier results on fine zonotopal tilings (briefly, *cubillages*) of cyclic zonotopes. The combinatorial theory of these objects is of interest in its own right and also has a connection to higher Bruhat orders, triangulations of cyclic polytopes, and Tamari–Stasheff posets applied in the study of Kadomtsev–Petviashvili equations, and etc.

**Keywords:** higher Bruhat order, Tamari–Stasheff poset, polycategory, rhombus tiling, separated sets, purity

Светлой памяти Владимира  
Воеводского посвящается

## Содержание

Введение	2
1 Зонотопы	5
2 Кубильяжи	7
3 Перегородки	9
4 Редукции и экспансии	11
5 Циклические (вполне положительные) векторные конфигурации	14
6 Мембраны	15
7 Кубы и флопы	16

---

\*Central Institute of Economics and Mathematics of the RAS, 47, Nakhimovskii Prospect, 117418 Moscow, Russia; email: danilov@cemi.rssi.ru.

†Central Institute of Economics and Mathematics of the RAS, 47, Nakhimovskii Prospect, 117418 Moscow, Russia; email: akarzanov7@gmail.com. Corresponding author.

‡The Institute for Information Transmission Problems of the RAS, 19, Bol'shoi Karetnyi per., 127051 Moscow, Russia, and HSE University, Moscow, Russia; email: koshevoyga@gmail.com. Supported in part by grant RSF 16-11-10075, and by Laboratory of Mirror Symmetry NRU HSE, RF Government grant, ag. № 14.641.31.0001.

8	Капсиды и флипы	20
9	Порядок кубов в кубильяже	21
10	Порядок на кубильяжах капсида	23
11	Стэки и мембраны	26
12	Существование флипов	27
13	Мембраны в зонотопе	29
14	Допустимые порядки	32
15	Инверсии	35
16	Отношение разделенности	38
17	Разделенность и кубильяжи	40
18	Чистота и расширяемость	42
19	Случай $Z(6, 4)$	44
20	Слабая разделенность	45
	Дополнение 1. Поликатегорный взгляд на кубильяжи	48
	Дополнение 2. Связь с триангуляциями и посетом Тамари-Сташева	50
	Дополнение 3. Слабые мембраны	53
	Дополнение 4. Доказательство ацикличности	56

## Введение

Замощение фигур другими фигурами – излюбленная тема геометров. Вспомним кристаллические решетки и параллелоэдры, упаковки шаров, мозаики Пенроуза и связанные с этим ромбические тайлинги. Одно из направлений, интенсивно развивающееся в последние 30 лет, касается триангуляций т.н. циклических многогранников (см. [1] и обзор Рэмбо и Райнера [2] в сборнике [3]). Здесь мы хотим обсудить во многом параллельную теорию кубильяжей циклических зонотопов, то есть разбиений зонотопов на (комбинаторные) кубы.

Как это ни покажется странным, импульсы к рождению этой теории были не только геометрическими. Хотя зонотопальные (и кубические) разбиения издавна привлекали внимание геометров (см., например, работу [4], или исторический очерк в [5]), переворот вызвали две работы, скорее алгебраические или комбинаторные. Одна – работа Леклерка и Зелевинского [6] 1998 года – была связана с

вопросом квазикоммутирования квантовых миноров и привела к изучению ромбических тайлингов зононов; обзор некоторых достижений на этом пути см. в статье [7]. Другая – статья Манина и Шехтмана [8] 1986 года (тоже мотивированная квантовой тематикой) – была посвящена обобщению слабого порядка Брюа на симметрической группе  $S_n$ ; полученные упорядоченные множества  $B(n, d)$  были названы высшими порядками Брюа. Несколько позже Воеводский и Капранов [9] дали интерпретацию этих порядков в терминах кубильяжей циклических зонотопов, частным (двумерным) случаем которых являются упомянутые выше ромбические тайлинги. Значительные продвижения в этом направлении были получены Циглером [10], Галашиным [11], и Галашиным и Постниковым [12] (см. также [13]).

Обо всем этом (включая наши собственные результаты) и предполагается рассказать в настоящей работе. Мы условно делим изложение на две тесно связанные части: геометрическую и комбинаторную (или теоретико-множественную). В первой рассказывается про зонотопы, кубические тайлинги (кубильяжи) зонотопов, вводятся разные полезные объекты в кубильяже: перегородки, тоннели, и т.п. Здесь же вводится основной рабочий инструмент – редукции и экспансии, незаменимые для проведения индуктивных рассуждений.

После введения этих общих понятий мы ограничиваем свое внимание исключительно случаем циклических (или – более правильно – вполне положительных) зонотопов  $Z(n, d)$ . Именно кубильяжи таких зонотопов связаны с высшими порядками Брюа Манина-Шехтмана. При работе внутри фиксированного кубильяжа важную роль играет структура естественного порядка  $\preceq$  на множестве его кубов. Когда же мы переходим к сравнению различных кубильяжей, тут на первый план выходит понятие флипа, некоторой локальной перестройки кубильяжа. Последнее проще всего объяснить на примере простейшего (после куба) зонотопа  $Z(d + 1, d)$ , т. н. капсида. У него есть всего два кубильяжа, и замена одного кубильяжа на другой и называется флипом. В общем случае флип – это замена ‘капсидного’ фрагмента кубильяжа другим (‘флипованным’) фрагментом. Главный факт о кубильяжах состоит в том, что с помощью флипов можно перейти от любого кубильяжа зонотопа  $Z(n, d)$  к любому другому.

Другое важное понятие – понятие мембран, гиперповерхностей специального вида внутри зонона; мы показываем, что любую мембрану можно вписать в кубильяж.

Комбинаторная часть статьи связывает кубильяжи с системами подмножеств множества  $[n] = \{1, 2, \dots, n\}$ , индексирующего вектора, порождающие циклический зонотоп  $Z(n, d)$ . Имеется два способа сделать это. Первый рассматривает кубильяжи с точки зрения их *спектров*. Каждый кубильяж  $\mathcal{Q}$  зонотопа  $Z(n, d)$  ( $d$  – это размерность зонотопа, тогда как  $n$  – число ‘направляющих’ векторов) задает систему  $Sp(\mathcal{Q})$  подмножеств в  $[n] = \{1, 2, \dots, n\}$ , то есть подмножество в  $2^{[n]}$ . Сет-система  $Sp(\mathcal{Q})$  однозначно определяет кубильяж  $\mathcal{Q}$ . Этот результат поднимает вопрос: какие сет-системы соответствуют кубильяжам, потому что ответ на него позволяет заменить геометрию комбинаторикой. Найденный Галашиным и Постниковым [12] ответ состоит в том, что такие сет-системы обладают т.н. свойством  $(d - 1)$ -разделенности и при этом они максимальны по размеру (равному  $\binom{n}{\leq d}$ ). Если максимальность по размеру можно заменить максимальной

по включению, то говорят о *чистоте* соответствующего отношения. Фундаментальное исследование вопросов чистоты было проведено в [12]. Однако чтение этой статьи затруднено тем, что авторы работали с произвольными (не обязательно циклическими) зонотопами, и даже с ориентированными матроидами, и потому использовали усложненную матроидную терминологию и технику. Мы же сознательно ограничиваемся циклическим случаем, что делает (на наш взгляд) изложение более простым и доступным. В случаях  $d = 2$  и  $3$  свойство чистоты было доказано в [6] и [11], соответственно. В случае  $d \geq 4$  ответ отрицателен; для этого мы подробно обсуждаем ситуацию в случае  $n = d + 2$ , а также переносим отсутствия чистоты на большие  $n$  и  $d$ .

Другой переход от геометрии к комбинаторике подсказывает отображение типов. С каждым кубом кубильяжа можно связать его *тип*, некоторое подмножество размера  $d$  в множестве  $[n]$ . И это задает отображение (биективное, как несложно показать) кубильяжа в множество  $\binom{[n]}{d}$  подмножеств размера  $d$  в  $[n]$ . Пользуясь этой биекцией, можно перенести естественный порядок  $\preceq_{\mathcal{Q}}$  с  $\mathcal{Q}$  на  $\binom{[n]}{d}$ . Оказывается, что перенесенный порядок тоже однозначно определяет кубильяж  $\mathcal{Q}$ . Тем самым можно вместо кубильяжей работать с классом т.н. *допустимых* порядков на ‘дискретном’ грассманиане  $Gr([n], d) = \binom{[n]}{d}$ . Так мы возвращаемся к истоку теории – определению высших порядков Брюа как допустимых порядков на грассманиане  $\binom{[n]}{d}$ . На геометрическом языке высший порядок Брюа  $B(n, d)$  – это порядок на множестве  $\mathbf{Q}(n, d)$  кубильяжей зонотопа  $Z(n, d)$ , или, эквивалентно, на множестве  $\mathbf{M}(n, d)$  мембран в зонотопе  $Z(n, d + 1)$ .

Кубильяжи имеют многочисленные связи с другими объектами математического мира. Например, известна их связь с уравнениями Кадомцева-Петвиашвили, идущая пока в основном через триангуляции циклических политопов. Уже отмечалось, что происхождение теории было мотивировано уравнениями Замолотчикова. Кубильяжи дают также естественный пример поликатегорий. Кубильяжи и триангуляции связаны с представлениями колчанов и конечномерных алгебр, см., например, работу [24]. О некоторых таких ‘внешних’ связях кубильяжей мы рассказываем кратко в Дополнениях. Здесь мы уже, как правило, не приводим точные определения и результаты, указывая лишь общие контуры связи. Таких Дополнений четыре. Это связь с поликатегориями, связь с триангуляциями (и через них с уравнениями К-П), рассказ о слабых мембранах, обобщающих понятие мембран. Туда же мы отнесли и доказательство теоремы об ацикличности из основного текста.

## ЧАСТЬ ПЕРВАЯ, ГЕОМЕТРИЧЕСКАЯ

Здесь излагаются основные геометрические понятия и факты про кубильяжи зонотопов. Комбинаторный (теоретико-множественный) взгляд будет дан во второй части. Мы стараемся иллюстрировать все на 2-мерных кубильяжах (ромбических тайлингах), иногда рисовать 3-мерные картины.

# 1 Зонотопы

Естественно начать с напоминаний про зонотопы<sup>1</sup> и введения терминов. Кубильяж – это, грубо говоря, правильное заполнение (разбиение) выпуклой фигуры ‘кубами’, а точнее говоря – параллеледромами.

Что же такое зонотоп? Фиксируем вещественное векторное пространство  $V$  (размерности  $d > 0$ ) и некоторый конечный набор  $\mathbf{V} = (v_1, \dots, v_n)$  из  $n$  векторов в нем. *Зонотопом*  $Z = Z(\mathbf{V})$  (порожденным набором  $\mathbf{V}$ ) называется сумма по Минковскому  $n$  отрезков  $[0, v_i]$ . Иначе говоря,  $Z$  состоит из точек  $z$  вида  $\sum_i \alpha_i v_i$ , где  $0 \leq \alpha_i \leq 1$  для любого  $i = 1, \dots, n$ . Можно также сказать, что зонотоп – это проекция ‘единичного’  $n$ -мерного куба, когда базисные вектора пространства  $\mathbb{R}^n$  отправляются в  $v_i$ . Это выпуклое тело, симметричное относительно точки (центра)  $\sum v_i/2$ .

Зонотопом мы называем и любой сдвиг зонотопа. Заменяя, если нужно, вектора  $v_i$  на  $-v_i$ , можно считать, что все они ‘смотрят в одну сторону’, если угодно – ‘вверх’ по отношению к некоторой ‘горизонтальной’ гиперплоскости. Такая замена меняет зонотоп на сдвинутый. Но зато теперь наш зонотоп имеет ‘нижнюю’ (корневую) вершину  $0$  и ‘верхнюю’ вершину  $v_1 + \dots + v_n$ .

Простейший пример зонотопа – это *куб* (точнее – параллеледр, но мы для краткости именуем его кубом). Это когда система  $v_1, \dots, v_n$  образует базис пространства  $V$  (в этом случае  $n = d$ ). Далее мы будем заниматься заполнениями зонотопов кубами.

Довольно легко описать грани зонотопа (которые тоже зонотопы меньшей размерности; см. [5, гл. 7] о кодировке граней знаковыми векторами). Мы еще более облегчим эту задачу. Во первых, мы будем считать, что система  $\mathbf{V}$  находится в *общем положении*, то есть что  $n \geq d$  и что любые  $d$  векторов из системы  $\mathbf{V}$  образуют базис пространства  $V$ . Далее это предположение всюду подразумевается, в основном по той причине, что мы будем заниматься кубильяжами  $Z$ . Во вторых, мы ограничимся описанием только фасет (граней коразмерности 1) зонотопа  $Z$ . Понятно, что фасеты такого ‘общего’ зонотопа будут кубами размерности  $d - 1$ .

Чтобы задать фасету, мы фиксируем произвольные  $d - 1$  вектор  $w_1, \dots, w_{d-1}$  (подсистему  $\mathbf{W}$ ) в нашей системе  $\mathbf{V}$ . Пусть  $H_{\mathbf{W}}$  – гиперплоскость в  $V$ , натянутая на  $\mathbf{W}$ . Она делит оставшиеся точки-вектора  $\mathbf{V} - \mathbf{W}$  на две части, скажем,  $\mathbf{V}_+$  и  $\mathbf{V}_-$ . Это дает две (противоположные друг другу) фасеты зонотопа  $Z$ . Одна образована зонотопом-кубом  $Z(\mathbf{W})$ , укорененным в точке  $\sum \mathbf{V}_+$ , а другая – тем же зонотопом, но укорененным в точке  $\sum \mathbf{V}_-$ . И так получаются все фасеты. Отсюда видно, что

$$(1.1) \quad \text{‘общий’ зонотоп } Z \text{ имеет } 2\binom{n}{d-1} \text{ фасет.}$$

Тут неявно предполагалось, что  $d > 1$ ; случай одномерного зонотопа несколько выпадает из общей картины по причине его тривиальности; это просто отрезок  $[0, v_1 + \dots + v_n]$ .

Стоит еще сказать о вершинах зонотопа и об их числе. Наверняка это хорошо известно, но нам не удалось найти хорошую ссылку. Поэтому приведем формулу,

---

<sup>1</sup>Имеется большая литература про зонотопы, включая книги [16, 5].

а позже скажем о доказательстве.

$$(1.2) \text{ Число вершин } V(n, d) \text{ зонотопа } Z \text{ равно } 2\binom{n-1}{\leq(d-1)} = 2\binom{n-1}{d-1} + \dots + \binom{n-1}{0}.$$

Другая полезная вещь – это взгляд на зонотоп вдоль некоторого направления. Пусть направление задается некоторым ненулевым вектором  $w$  в  $V$  и проектирует (отображением  $\pi_w$ ) пространство  $V$  (и находящийся в нем зонотоп  $Z$ ) на (фактор)пространство  $V' = V/\mathbb{R}w$ . Снова тут удобно считать, что этот вектор  $w$  находится в общем положении относительно системы  $\mathbf{V}$ . В этом случае каждая фасета  $F$  зонотопа  $Z$  инъективно проектируется в пространство  $V'$ . А весь зонотоп  $Z$  проектируется на зонотоп  $Z' = \pi_w(Z) = Z(\pi_w(\mathbf{V}))$ . При этом граница  $\partial Z'$  (имеющая размерность  $d-2$ ) является биективным образом некоторого (тоже  $(d-2)$ -мерного) подкомплекса границы  $Z$ , который можно назвать *ободом* (относительно этой проекции  $\pi_w$ ). Обод делит (нестрого) границу  $Z$  на две ‘полусферы’ – ‘верхнюю’ (мы представляем проекцию  $\pi_w$  как вертикальную, снизу вверх) и ‘нижнюю’.

Здесь удобно ввести терминологию видимых и невидимых фасет. Снова берем ‘общий’ вектор  $w$  (вдоль которого мы смотрим на зонотоп  $Z$ ). Пусть  $F$  – фасета  $Z$ . Скажем, что эта фасета  $F$  *видимая* (в направлении  $w$ ), если для (относительно внутренней) точки  $p$  этой фасеты точка  $p - \varepsilon w$  не принадлежит  $Z$  (для малого или любого  $\varepsilon > 0$ ); тогда для малого  $\varepsilon > 0$  точка  $p + \varepsilon w$  принадлежит  $Z$ . Иначе говоря, точка  $p$  первая в зонотопе при движении (из  $-\infty$  в  $+\infty$ ) по прямой  $p + \mathbb{R}w$ .

В этой терминологии видимые фасеты покрывают нижнюю полусферу зонотопа, а невидимые – верхнюю. Проекция верхней полусферы дает один кубильяж зонотопа  $Z'$ , а нижнего – другой, симметричный верхнему. Мы еще вернемся к этой теме в следующем разделе.

Можно проектировать не только вдоль ‘общих’ направлений, но и, скажем, вдоль направления вектора  $v_i$ , обозначая эту проекцию как  $\pi_i$ . Проекция при  $\pi_i$  зонотопа  $Z$  снова будет зонотопом  $Z' = Z/v_i$ , порожденным (в  $V' = V/\mathbb{R}v_i$ ) образцами всех векторов  $v_1, \dots, v_n$ , кроме  $v_i$ . Однако теперь обод будет не  $(d-2)$ -мерный, но  $(d-1)$ -мерный (и называется он *зоной* или *поясом* зонотопа). Отметим также, что сам  $Z$  получается как сумма зонотопа  $Z(\mathbf{V} - \{v_i\})$  и отрезка  $Z(v_i) = [0, v_i]$ .

После введения этих понятий можно обратиться к доказательству формулы (1.2). Зонотоп  $Z = Z(\mathbf{V})$  представляется как сумма зонотопа  $\tilde{Z} = Z(\mathbf{V} - \{v_n\})$  и отрезка  $[0, v_n]$ . При этом его вершины делятся на видимые и невидимые. Но видимые вершины (относительно направления  $v_n$ ) зонотопа  $\tilde{Z}$  те же, что видимые вершины зонотопа  $Z$ ; аналогично для невидимых (точнее, видимых с противоположного направления). Единственная разница состоит в том, что в первом случае эти два множества не пересекаются, тогда как во втором – пересекаются, причем в точности по множеству вершин обода (зонотопа  $\tilde{Z}$  в направлении  $v_n$ ). Отсюда мы получаем соотношение

$$V(n, d) = V(n-1, d) + V(n-1, d-1).$$

Учитывая правило Паскаля, остается только убедиться в справедливости формулы (1.2) в случаях  $d = 1$  и  $d = n$ . В первом случае правая часть равна  $2\binom{n-1}{0} = 2$ ,

что согласуется с тем, что отрезок имеет две вершины. Во втором случае правая часть равна  $2\binom{d-1}{\leq d-1} = 2(2^{d-1}) = 2^d$ , что согласуется с тем, что  $d$ -мерный куб имеет  $2^d$  вершин.

## 2 Кубильяжи

Кубильяж (или кубический, гиперромбический, параллелоэдральный тайлинг) – это правильное замощение (разбиение, paving, tiling) зонотопа (или другого многогранника) кубами. Точнее:

*Кубильяж*  $\mathcal{Q}$  зонотопа  $Z$  – это множество  $d$ -мерных кубов (см. выше)  $Q_1, \dots, Q_N$  (называемых плитками, тайлами или просто *кубами*), покрывающих  $Z$ , причем выполнены два условия:

- 1) два куба могут пересекаться только по общей грани;
- 2) фасеты зонотопа  $Z$  являются фасетами некоторых кубов из  $\mathcal{Q}$ .

Точнее, так определяется кубильяж для зонотопов размерности  $d > 1$ . Кубильяж одномерного зонотопа по определению состоит из  $n$  отрезков, конгруэнтных отрезкам  $[0, v_i]$ ,  $i = 1, \dots, n$ .

*Гранью* кубильяжа считается грань некоторого куба из  $\mathcal{Q}$ .

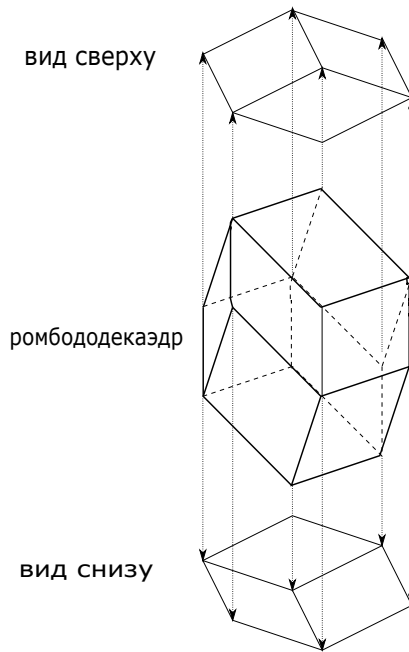


Рис. 1: Вид сверху и снизу на ромбододекаэдр

**Пример.** Пусть  $Z$  – зонотоп  $Z(v_1, \dots, v_n)$ , и мы проектируем его вдоль, скажем, направления  $v_n$  (обозначая проекцию как  $\pi$ , см. рис. 1). Тогда, как объяснялось в предыдущем разделе, проекция фасет видимой части границы  $Z$  дает кубильяж зонотопа  $Z' = Z(\pi(v_1), \dots, \pi(v_{n-1}))$ .

Часто на эту конструкцию смотрят в противоположном направлении, говоря, что система векторов  $\mathbf{V} = \{v_1, \dots, v_n\}$  – это ‘одноэлементный лифтинг’ системы  $\mathbf{V}' = \{\pi(v_1), \dots, \pi(v_{n-1})\}$  (с помощью вектора  $v_n$ ). В такой терминологии одноэлементный лифтинг системы  $\mathbf{V}'$  дает кубильяж зонотопа  $Z' = Z(\mathbf{V}')$ . Знаменитая теорема Бонэ-Дресса (см. [16] или [5]) в каком-то смысле утверждает обратное. Мы не приводим точную формулировку, поскольку это лежит в стороне от наших целей.

Полезным для понимания является следующий простой факт, который часто просто включают в определение кубильяжа.

**Лемма 1** Пусть  $Q$  – куб некоторого кубильяжа  $\mathcal{Q}$  зонотопа  $Z = Z(\mathbf{V})$ . Тогда любое ребро этого куба конгруэнтно некоторому отрезку  $[0, v_i]$ .

Доказательство. Можно считать, что  $d > 1$ . Пусть  $E$  – некоторое ребро куба  $Q$ . Если оно не лежит на границе зонотопа, вокруг него есть много кубов, ребра которых конгруэнтны  $E$ . Переходя от одного такого куба к другому, мы рано или поздно выйдем на границу зонотопа. А тогда все следует из свойства 2) определения кубильяжа.  $\square$

В частности, любой куб  $Q$  кубильяжа конгруэнтен кубу-зонотопу  $Z(\mathbf{W})$ , где  $\mathbf{W}$  –  $d$ -элементное подмножество в  $\mathbf{V}$ . Множество индексов (или *цветов*; так мы понимаем элементы индексующего множества  $[n] = \{1, \dots, n\}$ ) этого подмножества  $\mathbf{W}$  называется *типом* этого куба. Иными словами, тип куба  $Q$  – это подмножество  $\{i_1, \dots, i_d\}$  в  $[n]$ , такое что куб  $Q$  есть сдвиг куба-зонотопа  $Z(v_{i_1}, \dots, v_{i_d})$ .

Аналогично понимается тип грани кубильяжа. В частности, тип ребра кубильяжа – одноэлементное подмножество  $\{i\}$  в  $[n]$ . Мы ориентируем каждое ребро кубильяжа в направлении вектора  $v_i$ . Направленный путь из нижней вершины 0 в верхнюю вершину  $v([n])$ , идущий по ребрам кубильяжа, мы называем *змейкой*. Как мы увидим далее, в змейке ребро цвета  $i$  встречается ровно один раз. Если  $c(i)$  – цвет  $i$ -го ребра-стрелки некоторой змейки, то мы получаем биекцию  $[n]$  в  $[n]$ , то есть перестановку множества  $[n]$ . Эту перестановку можно понимать также как линейный порядок на  $[n]$ , в котором минимальным элементом является цвет первого ребра змейки.

Сопоставление кубу  $Q$  кубильяжа  $\mathcal{Q}$  его типа задает отображение  $\tau = \tau_Q : \mathcal{Q} \rightarrow \binom{[n]}{d}$  в множество  $d$ -элементных подмножеств  $\mathbf{V}$ .

**Предложение 1** Отображение  $\tau$  является биекцией. В частности, число кубов в любом кубильяже равно  $\binom{n}{d}$ .

Мы докажем это утверждение в следующем разделе. А пока приведем простое

**Следствие.** Число вершин любого кубильяжа равно  $\binom{n}{\leq d}$ .

В самом деле, выберем некоторое общее направление проектирования (‘смотрения’)  $w$ . Из формулы (1.2) видно, что для каждого куба  $Q$  кубильяжа все его вершины, кроме двух, лежат на ободке этого куба. И есть одна ‘внутренняя’ вершина на видимой половине границы  $Q$  и, аналогично, одна ‘внутренняя’ вершина

на невидимой половине. Обозначим эту последнюю, самую далекую от нас вершину куба как  $h(Q)$ . Легко понять, что отображение  $h$  (из  $\mathcal{Q}$  в множество вершин кубильяжа  $\mathcal{Q}$ ) инъективно. А образ заметает все вершины, кроме вершин на видимой части  $\partial_-(Z)$  границы  $Z$ . При проекции  $\pi = \pi_w$  фасеты  $\partial_-(Z)$  дают кубильяж зонотопа  $Z' = Z(\pi(\mathbf{V}), d-1)$ , у которого, по предположению индукции,  $\binom{n}{d-1} + \dots + \binom{n}{1} + \binom{n}{0}$  вершин.  $\square$

### 3 Перегородки

Пусть  $\mathcal{Q}$  – некоторый кубильяж зонотопа  $Z = Z(\mathbf{V})$ , где  $\mathbf{V} = \{v_1, \dots, v_n\}$ . В дальнейшем мы рассмотрим несколько интересных подмножеств в  $\mathcal{Q}$  – перегородки, тоннели, гирлянды, стэки, капсиды ... Начнем с перегородок.

**Определение.** *Перегородкой* цвета  $i \in [n]$  в кубильяже  $\mathcal{Q}$  называется множество  $\mathcal{P}_i$  кубов кубильяжа  $\mathcal{Q}$ , которые содержат цвет  $i$  в своем типе. То есть

$$\mathcal{P}_i = \{Q \in \mathcal{Q}, i \in \tau(Q)\}.$$

(В некоторых работах перегородки называются также *сечениями де Брюйна*). *Телом перегородки*  $\mathcal{P}_i$  называется объединение кубов из  $\mathcal{P}_i$ ; это замкнутое подмножество в зонотопе  $Z = Z(\mathbf{V})$ , которое мы обозначаем как  $|\mathcal{P}_i|$  (не путать с числом элементов множества  $\mathcal{P}_i$ , которое равно  $\binom{n-1}{d-1}$ ). Тело перегородки  $\mathcal{P}_i$  выходит на границу зонотопа по зоне цвета  $i$ , см. раздел 1.

**Основная теорема о перегородках.** *Тело перегородки  $|\mathcal{P}_i|$  устроено как произведение отрезка  $[0, v_i]$  на некоторый диск, трансверсальный направлению  $v_i$  и биективно проектирующийся на зонотоп  $Z' = \pi_i(Z)$  (где  $\pi_i$  – проекция вдоль вектора  $v_i$ , см. выше).*

Здесь для наглядности удобно считать вектор  $v_i$  направленным вертикально вверх. В каждом кубе  $P$  перегородки  $\mathcal{P} = \mathcal{P}_i$  проведем ‘среднее сечение’  $M\mathcal{P}$  (среднее по вертикальному направлению). Все такие локальные сечения склеиваются в  $(d-1)$ -мерный кубический комплекс  $M\mathcal{P}$ . Так как каждый куб  $P$  представляется как сумма по Минковскому сечения  $M\mathcal{P}$  и трансверсального к нему вертикального отрезка  $[-v_i/2, v_i/2]$ , то и вся перегородка  $\mathcal{P}$  есть сумма (по Минковскому)  $M\mathcal{P}$  и отрезка  $[-v_i/2, v_i/2]$ . Более точно, естественное отображение

$$M\mathcal{P} \times [-v_i/2, v_i/2] \rightarrow M\mathcal{P} + [-v_i/2, v_i/2] = |\mathcal{P}|$$

является биекцией (и гомеоморфизмом). Отсюда легко понять, что при (вертикальной) проекции сечение  $M\mathcal{P}$  локально гомеоморфно проектируется на  $Z'$ . Так как зонотоп  $Z'$  стягиваем и, следовательно, односвязен, среднее сечение представляется как сумма нескольких копий  $Z'$ . На самом деле копия всего одна, что видно из того, что край этого комплекса  $M\mathcal{P}$  образует ‘среднее сечение’ соответствующего обода (зоны цвета  $i$ ) зонотопа  $Z$ .  $\square$

**Замечание.** Перегородки (а еще лучше – их средние сечения) напоминают по своим свойствам гиперплоскости. Как и последние, они делят зонотоп на две области (до и после); кроме того, любые  $d$  перегородок пересекаются по единственному

кубу (а средние сечения – по единственной точке). Так что система всех перегородок выступает как некая замена арранжмента гиперплоскостей. Недаром вся эта теория у Манина и Шехтмана начиналась с аранжментов гиперплоскостей.

Проекция комплекса  $M\mathcal{P}_i$  (или всей перегородки  $\mathcal{P}_i$ ) дает кубильяж  $\pi_i(\mathcal{P}_i)$  зонотопа  $Z' = \pi_i(Z) = Z/v_i$ . Этот кубильяж (размерности  $d - 1$ ) зонотопа  $Z'$  можно обозначить как  $\mathcal{Q}/v_i$ . Вслед за Атанасиадисом [17] мы называем кубильяж  $\mathcal{Q}/v_i$  *сжатием (контракцией)* кубильяжа  $\mathcal{Q}$  в направлении  $v_i$ , или сжатием по цвету  $i$ . Отметим, что при сжатии размерность кубильяжа уменьшается на единицу, как и число цветов.

Первое следствие основной теоремы про перегородки – это уже упоминавшееся утверждение про змейки. Напомним, что *змейка* – это направленный путь по ребрам-стрелкам кубильяжа из нижней (корневой) вершины зонотопа в верхнюю. Так вот, *цвета ребер змейки биективны множеству  $[n]$* . То есть каждый цвет  $i \in [n]$  встречается и при том один раз как цвет ребра змейки. В самом деле, перегородка  $\mathcal{P}_i$  цвета  $i$  делит зонотоп на три части – ниже  $\mathcal{P}_i$ , само  $\mathcal{P}_i$ , и выше  $\mathcal{P}_i$ . Наша змейка (при движении от корня к верхушке) обязательно пересекает перегородку, так что обязательно содержит стрелку цвета  $i$ . Причем пересекает ровно один раз, потому что после пересечения перегородки змейка попадает в верхнюю часть зонотопа и уже не может ее покинуть (в перегородке все стрелки цвета  $i$  смотрят вверх).

Это следствие позволяет ввести важное понятие *спектра* (набора цветов) вершины кубильяжа, которое будет играть центральную роль в комбинаторной части. А именно, рассмотрим для вершины  $v$  кубильяжа путь из  $0$  в  $v$ , идущий вверх по стрелкам-ребрам кубильяжа. Очевидно, что такой путь существует, быть может, не один. Этот путь – начальный кусок некоторой змейки, поэтому цвета его ребер образуют подмножество в  $[n]$ . Это подмножество не зависит от выбора пути; мы обозначаем его  $sp(v)$  и называем *спектром* вершины  $v$ . Независимость от выбора пути видна из другого описания  $sp(v)$ : цвет  $i$  входит в  $sp(v)$  тогда и только тогда, когда перегородка  $\mathcal{P}_i$  проходит ниже вершины  $v$  (то есть отделяет  $v$  от корневой вершины  $0$ ). Заметим также, что  $sp(v)$  не зависит и от кубильяжа  $\mathcal{Q}$ ; в самом деле,

$$v = \sum_{i \in sp(v)} v_i.$$

Наряду с перегородками можно рассмотреть в каком-то смысле дуальные объекты, называемые *тоннелями* в кубильяже  $\mathcal{Q}$ . Зафиксируем подмножество  $D$  в  $[n]$  размера  $d - 1$  и соберем вместе множество  $\mathcal{T}_D$  кубов, типы которых содержат  $D$  ('тоннель типа  $D$ '). У каждого куба  $Q$  из  $\mathcal{T}_D$  есть две фасеты типа  $D$ . Пусть  $F$  – такая фасета; тогда она либо фасета самого зонотопа  $Z$ , либо по этой фасете наш куб  $Q$  смежен другому кубу  $Q'$ , тоже из  $\mathcal{T}_D$ . Повторяя это с кубом  $Q'$ , мы получаем соседний куб  $Q''$  и так далее, пока не дойдем до фасеты зонотопа  $Z$ . (Эта конструкция уже встречалась при доказательстве Леммы 1.) Таким образом, тоннель представляет набор нескольких 'толстых путей' (или циклов) внутри кубильяжа. На самом деле легко понять, что тоннель – это связная цепочка кубов, идущих от одной (видимой) части границы  $Z$  к другой, невидимой. Потому что

каждый тоннель типа  $D$  пересекает каждую перегородку  $\mathcal{P}_i$  (где  $i \notin D$ ) ровно по одному кубу (типа  $Di$ ). И состоит ровно из  $n - d + 1$  куба.

Теперь обратимся к доказательству Предложения 1. Оно проводится индукцией по  $d$ ; при  $d = 1$  утверждение тривиально. Пусть теперь  $d > 1$ . Возьмем некоторую  $d$ -шку  $D \subset [n]$  и покажем, что существует, и при том ровно один, куб  $Q$  типа  $D$  в нашем кубильяже  $\mathcal{Q}$ . Для этого выберем один из цветов (скажем,  $i$ ) в  $D$  и рассмотрим перегородку  $\mathcal{P}_i$  цвета  $i$ . Пусть  $\pi_i : Z \rightarrow Z' = \pi_i(Z)$  – проекция вдоль вектора  $v_i$ . Как было сказано выше, проекция перегородки  $\mathcal{P}_i$  дает кубильяж  $\pi_i(\mathcal{P}_i)$  зонотопа  $Z'$ . По индукции у него есть единственный куб  $Q'$  (размерности  $d - 1$ ) типа  $D - i$ . Куб  $Q$  из перегородки  $\mathcal{P}_i$ , проектирующийся на  $Q'$ , имеет тип  $(D - i) \cup \{i\} = D$ . Это доказывает существование и единственность куба типа  $D$ .  $\square$

Примерно так Шепард [4] получал формулу для числа кубов кубильяжа зонотопа (см. Предложение 1).

## 4 Редукции и экспансии

Продолжим получать следствия структуры перегородок. Снова временно (и для наглядности) мы считаем, что вектор  $v_i$  (произвольного цвета) идет вертикально вверх, так что мы смотрим на зонотоп  $Z$  снизу вверх. Перегородка  $\mathcal{P} = \mathcal{P}_i$  делит  $Z$  на три части: собственно перегородку  $\mathcal{P}$ , то, что нестрого ниже  $\mathcal{P}$  (включая нижнюю границу  $\mathcal{P}$ ), что мы обозначим  $Z_-$ , и верхнюю половину  $Z_+$ .

*Редукцией* кубильяжа  $\mathcal{Q}$  называется кубильяж  $\mathcal{Q}_{-i}$  зонотопа  $Z(\mathbf{V} - \{v_i\})$ , полученный следующим образом: нижнюю часть  $Z_-$  мы оставляем на месте (вместе со всеми ее кубами), а верхнюю часть  $Z_+$  сдвигаем вниз на вектор  $-v_i$  (тоже вместе со всеми кубами). При этом перегородка  $\mathcal{P}$  исчезает, а лучше сказать – сжимается на свою нижнюю границу, превращаясь в то, что позже мы назовем мембраной. Эту мембрану  $\mathcal{M} = Z_- \cap |\mathcal{P}_i|$  мы называем *шовом* (или рубцом), оставшимся после операции редукции. См. рис. 2.

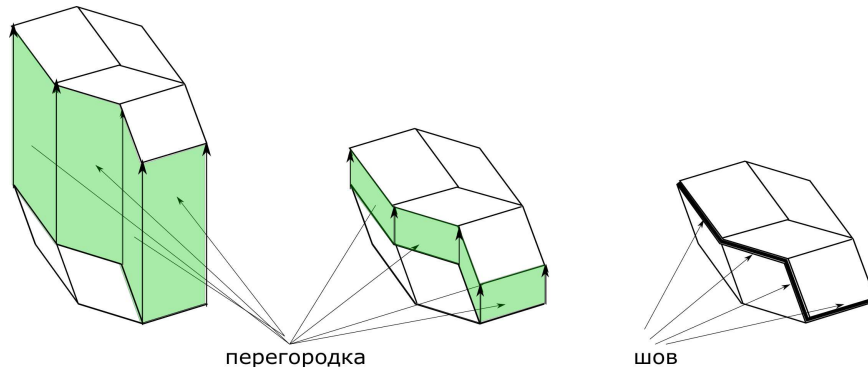


Рис. 2: Перегородка и ее постепенная редукция

Эта операция редукции обратима: если мы ‘раздвинем’ шов-мембрану  $\mathcal{M}$  с

помощью отрезка  $[0, v_i]$  (отодвинув часть редуцированного кубильяжа, расположенную выше шва, на вектор  $v_i$ ), мы вернемся к исходному кубильяжу  $\mathcal{Q}$ . Эту обратную операцию мы называем *экспансией*.

Вообще, если у нас есть кубильяж  $\tilde{\mathcal{Q}}$  зонотопа  $\tilde{Z} = Z(\mathbf{V} - \{v_i\})$  и в нем мембрана  $\mathcal{M}$  (то есть  $(d-1)$ -мерный подкомплекс кубильяжа  $\mathcal{Q}$ , который биективно проектируется при ‘вертикальной проекции’ на  $\tilde{Z}' = \pi(\tilde{Z})$ ), то мы можем ‘раздвинуть’ мембрану  $\mathcal{M}$  на вектор  $v_i$  и получить некоторый кубильяж  $\mathcal{Q}$  зонотопа  $Z$ . Эту операцию мы называем *экспансией мембраны  $\mathcal{M}$*  в кубильяже  $\tilde{\mathcal{Q}}$  в направлении  $v_i$ .

**Следствие.** *Кубильяж зонотопа  $Z(\mathbf{V})$  определяется множеством его вершин.*

Доказательство. Пусть  $\mathcal{Q}$  и  $\mathcal{R}$  – два кубильяжа зонотопа  $Z(\mathbf{V})$  с одним и тем же множеством вершин. Выберем какой-то цвет, скажем,  $n$ , и произведем редукцию этого цвета в  $\mathcal{Q}$  и  $\mathcal{R}$ . В результате мы получим два новых кубильяжа  $\mathcal{Q}_{-n}$  и  $\mathcal{R}_{-n}$  (зонотопа  $Z(\mathbf{V} - \{v_n\})$ ) и в каждом шов  $S$  и  $T$ . Шов  $S$  составлен из ‘слившихся’ вершин  $v$  и  $v'$ , таких что  $sp(v') = sp(v) \cup \{n\}$ ; аналогично для шва  $T$ . Отсюда видно, что совпадают как эти два шва, так и множества вершин кубильяжей  $\mathcal{Q}_{-n}$  и  $\mathcal{R}_{-n}$ . По индукции мы получаем совпадение самих кубильяжей  $\mathcal{Q}_{-n} = \mathcal{R}_{-n}$ . А исходные кубильяжи  $\mathcal{Q}$  и  $\mathcal{R}$  получаются  $n$ -экспансией общего шва  $S = T$ , так что они тоже совпадают.  $\square$

Раз уж речь зашла о вершинах кубильяжа, то возникает вопрос – *какие точки (или наборы точек) внутри зонотопа  $Z = Z(\mathbf{V})$  могут быть вершинами некоторого кубильяжа этого зонотопа* (‘вписываются в кубильяж’)? Одно требование очевидно (см. выше определение спектра): такая точки должна иметь вид  $v(S) = \sum_{i \in S} v_i$  для некоторого подмножества  $S \subset [n]$ . Точки такого вида мы называем *целыми*, и это требование всюду далее предполагается выполненным. Мы еще вернемся к этому вопросу во второй части работы, а пока приведем один простой результат в этом направлении. А именно, мы утверждаем, что любая отдельно взятая целая точка вписывается в некоторый кубильяж. На самом деле верно даже большее: *любой подзонотоп вписывается в некоторый кубильяж*. Более точно, множество вершин любого подзонотопа  $T \subset Z$  вписывается в некоторый кубильяж зонотопа  $Z$ ; здесь предполагается, что  $T$  есть сдвиг на целую точку  $v(S)$  зонотопа  $Z(\mathbf{W})$ , где  $\mathbf{W} \subset \mathbf{V}$ , и  $S$  не пересекается с множеством индексов  $\mathbf{W}$ .

**Предложение 2** *Любой подзонотоп (и любой его кубильяж)  $T$  зонотопа  $Z = Z(\mathbf{V})$  вписывается в некоторый кубильяж  $Z$ .*

Доказательство. Будем рассуждать индукцией по  $n$  (или по размеру  $\mathbf{V}-\mathbf{W}$ ). Пусть  $t(T)$  – ‘верхняя’ вершина подзонотопа  $T$ . Предположим сначала, что эта вершина отлична от верхней вершины всего зонотопа  $Z$ . В этом случае множество  $sp(t(T))$  отлично от  $[n]$ ; пусть  $i$  – произвольный цвет, не принадлежащий  $sp(t(T))$ . Тогда подзонотоп  $T$  лежит в зонотопе  $Z' = Z(\mathbf{V} - \{i\})$ , и по индуктивному предположению вписывается в некоторый кубильяж  $\mathcal{Q}'$  зонотопа  $Z' = Z(\mathbf{V} - \{i\})$ . Остается сделать экспансию по цвету  $i$ . См. рис. 3.

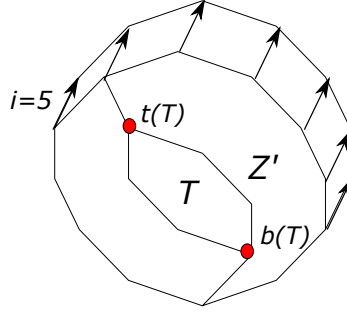


Рис. 3: подзонагон  $T$  в зонагоне  $Z(7, 2)$

Таким образом, мы можем считать, что ‘верхние’ вершины у  $T$  и  $Z$  совпадают. Рассуждая симметрично, можно считать, что совпадают и ‘нижние’ (корневые) вершины. Но тогда  $T$  и  $Z$  совпадают, и утверждение тривиально верно.  $\square$

Экспансию мембраны  $\mathcal{M}$  можно производить не только в направлении вектора  $v_i$ , но и в любом ‘близком’ направлении  $v'_i$ . Точнее, тут важна не близость, а только то, чтобы по отношению ко всем пластинкам (граням размерности  $d-1$ ) мембраны  $\mathcal{M}$  вектора  $v_i$  и  $v'_i$  глядели в одну и ту же сторону. Раздвигая мембрану  $\mathcal{M}$  в направлении  $v'_i$ , мы получаем другой кубильяж другого зонотопа, но в каком-то смысле похожий, ‘подобный’ старому. Скажем об этом чуть подробнее.

Говоря о зонотопе  $Z(\mathbf{V})$  и его кубильяжах, мы фиксировали векторную конфигурацию  $\mathbf{V}$ . Однако интуитивно ясно, что малые шевеления  $\mathbf{V}$  не играют роли в строении кубильяжей. Скажем точнее. Пусть у нас есть две векторные конфигурации  $\mathbf{V} = \{v_1, \dots, v_n\}$  и  $\mathbf{W} = \{w_1, \dots, w_n\}$  (в одном и том же  $d$ -мерном пространстве  $V$  и с одним и тем же числом векторов  $n$ ). Скажем, что конфигурации  $\mathbf{V}$  и  $\mathbf{W}$  *подобны*, если для любого подмножества  $B \subset [n]$  размера  $d$  определители  $\det(v_B)$  и  $\det(w_B)$  имеют один и тот же знак (или что соответствующие базисы  $v_B$  и  $w_B$  имеют одну и ту же ориентацию).

Если конфигурации  $\mathbf{V}$  и  $\mathbf{W}$  подобны, то для любого кубильяжа  $\mathcal{Q}$  зонотопа  $Z(\mathbf{V})$  естественно строится ‘подобный’ кубильяж  $\mathcal{Q}'$  зонотопа  $Z(\mathbf{W})$ , который комбинаторно устроен так же, как  $\mathcal{Q}$ . А именно, пусть  $Q$  - куб кубильяжа  $\mathcal{Q}$ ; у него есть корневая вершина  $v$  и тип  $\tau(Q) \subset [n]$ . Из начальной вершины  $0$  зонотопа  $Z(\mathbf{V})$  в вершину  $v$  ведет путь  $P$  по стрелкам кубильяжа  $Z(\mathbf{V})$ . Проведем соответствующий путь  $P'$  в  $Z(\mathbf{W})$  и конец его  $v'$  объявим образом вершины  $v$ . Ясно, что это построение не зависит от выбора пути  $P$ . Образ куба  $Q$  - это куб того же типа, что и  $Q$ , растущий из вершины  $v'$ . Так мы получаем новое множество  $\mathcal{Q}'$  кубов в  $Z(\mathbf{W})$ , и нужно лишь убедиться, что эти кубы не налезают друг на друга. А это достаточно проверить для соседних кубов. То есть если кубы  $Q$  и  $R$  кубильяжа  $\mathcal{Q}$  соседние (по общей фасете  $F$ ), то их образы  $Q'$  и  $R'$  (которые, очевидно, имеют общую фасету  $F'$ ) лежат по разные стороны от  $F'$ .

Пусть фасета  $F$  (то есть куб размерности  $d-1$ ) имеет тип  $\tau(F)$ . Кубы  $Q$  и  $R$  получаются добавлением к векторам  $v_{\tau(F)}$  каких-то векторов  $v_i$  и  $v_j$ . Так как они лежат по разные стороны от  $F$ , то ориентации базисов  $v_{\tau(F)i}$  и  $v_{\tau(F)j}$  противоположны. Но тогда и ориентации базисов  $w_{\tau(F)i}$  и  $w_{\tau(F)j}$  противоположны,

что и означает, что кубы  $Q'$  и  $R'$  лежат по разные стороны от  $F'$ .

Это показывает, что строение (и разнообразие) кубильяжей зонотопа  $Z(\mathbf{V})$  зависит только от ориентированного матроида, порожденного векторной конфигурацией  $\mathbf{V}$ . Мы будем активно пользоваться этим простым замечанием при рассмотрении вполне положительных конфигураций.

## 5 Циклические (вполне положительные) векторные конфигурации

До сих пор конфигурации  $\mathbf{V}$  векторов в пространстве  $V$  были, фактически, произвольными (если не считать требования общего положения). Начиная с этого места мы ограничиваемся более специальными конфигурациями, которые обычно называются циклическими или вполне положительными. Здесь и далее мы будем считать, что  $V = \mathbb{R}^d$  (с базисом  $e_1, \dots, e_d$ ); кроме того, теперь важную роль будет играть порядок индексации векторов  $v_i$  (то есть, мы снабжаем множество индексов-цветов  $[n]$  естественным порядком  $1 < 2 < \dots < n$ ).

**Определение.** Конфигурация векторов  $\mathbf{V} = (v_1, \dots, v_n)$  называется *вполне положительной* (или, не очень удачно, но более коротко, *циклической*), если для любой (возрастающей)  $d$ -шки  $i_1 < i_2 < \dots < i_d$  из  $[n]$  определитель матрицы  $\text{Mat}(v_{i_1}, \dots, v_{i_d})$ , составленной из столбцов-векторов  $v_{i_j}$ , положителен.

Циклические конфигурации подобны между собой и определяются двумя числами  $d$  и  $n \geq d$ . По этой причине циклический зонотоп  $Z(\mathbf{V})$  обозначается далее просто как  $Z(n, d)$ , а множество его кубильяжей – как  $\mathbf{Q}(n, d)$ .

Удобный представитель такой конфигурации получается следующим образом. Отобразим прямую  $\mathbb{R}$  в  $\mathbb{R}^d$  с помощью отображения  $\mathbf{v}_d, \mathbf{v}_d(t) = (1, t, t^2, \dots, t^{d-1})$ . (Когда  $d$  ясно из контекста, мы опускаем индекс  $d$  и говорим просто про  $\mathbf{v}$ . Образ прямой  $\mathbb{R}$  при таком отображении называют *кривой Веронезе* или *кривой моментов*.) Если мы теперь возьмем конечное подмножество  $\{t_1 < \dots < t_n\}$  в  $\mathbb{R}$ , мы получаем (индексированную множеством  $[n]$ ) векторную конфигурацию  $\mathbf{V}$ , состоящую из векторов  $v_i = \mathbf{v}(t_i)$ ,  $i = 1, \dots, n$ . Такая конфигурация вполне положительна, что видно из формулы для определителей Вандермонда.

Отметим два важных для дальнейшего свойства циклических конфигураций. Если мы выбрасываем какой-то элемент  $k$  из  $[n]$ , конфигурация остается циклической. Так что мы можем говорить о проекциях  $\pi_k : Z(n, d) \rightarrow Z([n] - \{k\}, d)$  и соответствующих редукциях кубильяжей (см. выше). И второе (применимое к конфигурациям Веронезе): если мы рассмотрим каноническую проекцию  $\pi$  пространства  $\mathbb{R}^d$  на  $\mathbb{R}^{d-1}$  (проекция вдоль последнего базисного вектора  $e_d$ , или забывание  $d$ -ой координаты), то циклическая конфигурация переходит в циклическую. В частности, мы получаем проекцию  $\pi : Z(n, d) \rightarrow Z(n, d-1)$ , полезную для проведения индукции по  $d$ . Заметим еще, что эту проекцию  $\pi$  (вдоль  $d$ -ой координатной оси) можно понимать как проекцию вдоль направления  $\mathbf{v}(+\infty)$ , потому что направление вектора  $\mathbf{v}(t)$  при большом  $t$  стремится к направлению вектора  $e_d$ . Неформальная же причина интереса циклических конфигураций объясняется

тем, что кубильяжи циклических зонотопов тесно связаны с высшими порядками Манина-Шехтмана, о чем мы будем говорить в комбинаторной части работы.

Мы уже говорили про редукцию цветов для общих зонотопов. В случае циклических зонотопов особо важную роль играет редукция старшего цвета  $n$ . Дело в том, что шов, остающийся после такой редукции, является мембраной относительно проекции  $\pi$  вдоль  $d$ -й координатной оси. Расскажем более обстоятельно об этом в следующем разделе.

## 6 Мембраны

**Определение.** Пусть  $\mathcal{Q}$  - кубильяж (циклического) зонотопа  $Z = Z(n, k)$ . Мембраной этого кубильяжа, или мембраной, вписанной в кубильяж  $\mathcal{Q}$ , называется  $(d - 1)$ -мерный подкомплекс  $\mathcal{M}$  в  $\mathcal{Q}$ , который биективно проектируется на зонотоп  $Z(n, d - 1)$  (при проекции  $\pi$  вдоль последней  $d$ -ой координаты).

Множество мембран кубильяжа  $\mathcal{Q}$  обозначается как  $\mathbf{M}(\mathcal{Q})$ .

Так что мембрана – это некоторая  $(d - 1)$ -мерная пленка в  $Z$  (идущая по граням кубильяжа  $\mathcal{Q}$ ), гомеоморфная  $(d - 1)$ -мерному диску, край которого – в точности обод зонотопа  $Z$  относительно проекции  $\pi$ . Мембрана делит зонотоп на две части: нестрого до мембраны ( $Z_-(\mathcal{M})$ ) и нестрого после нее ( $Z_+(\mathcal{M})$ ). Проекция клеток мембраны  $\mathcal{M}$  (ее  $(d - 1)$ -мерных кубов, называемых *пластинами*) дает при этом кубильяж зонотопа  $Z' = Z(n, d - 1) = \pi(Z)$ , который мы обозначаем  $\pi(\mathcal{M})$ .

Априори не ясно, существуют ли мембраны вообще и много ли их. Позже мы увидим, что их достаточно много. А пока приведем пример двух универсальных мембран.

**Пример 1.** Мы уже говорили про это в разделе 2; давайте вернемся применительно к циклической ситуации. Рассмотрим видимую (в направлении  $d$ -ой координаты) часть границы  $Z$ ,  $\partial_- Z$ . Очевидно, это мембрана (любого кубильяжа зонотопа  $Z$ ); ее проекция  $\pi(\partial_- Z)$  дает кубильяж зонотопа  $Z'$ , который мы называем *стандартным* (так именовались соответствующие ромбические тайлинги двумерного зонотона в [7]). Невидимая часть границы  $\partial_+ Z$  дает *анти-стандартный* кубильяж зонотопа  $Z'$ .

Универсальный способ получения мембран дает редукция старшего цвета. Пусть  $\mathcal{Q}$  – кубильяж зонотопа  $Z = Z(n, d)$ . И пусть  $\tilde{\mathcal{Q}} = \mathcal{Q}_{-n}$  – кубильяж зонотопа  $\tilde{Z} = Z(n - 1, d)$ , полученный редукцией цвета  $n$ . Тогда шов  $\mathcal{S}$  от этой редукции является мембраной. В самом деле, замена вектора  $v_n$  на  $d$ -й базисный вектор  $e_d = (0, \dots, 0, 1)$  в  $\mathbb{R}^d$  приводит к подобной векторной конфигурации. Поэтому (см. раздел 4) можно произвести экспансию шва  $\mathcal{S}$  в направлении  $e_d$  и получить кубильяж  $\mathcal{Q}'$ , подобный  $\mathcal{Q}$ . А это значит (см. основную теорему из раздела 3), что шов  $\mathcal{S}$  биективно проектируется на зонотоп  $\pi(Z) = Z(n, d - 1)$ .

Напротив, имея мембрану  $\mathcal{M}$  в кубильяже  $\tilde{\mathcal{Q}}$  зонотопа  $\tilde{Z} = Z(n - 1, d)$ , мы можем экспансировать эту мембрану в направлении нового вектора  $v_n = \mathbf{v}(t_n)$ , где  $t_n > t_{n-1}$ . Дело в том, что направление, задаваемое вектором  $v_n$ , также трансверсально мембране  $\mathcal{M}$  (как и направление  $\mathbf{v}(+\infty)$ ). Мы говорили об этом в разделе

4 про подобные конфигурации. В результате получаем новый кубильяж  $\mathcal{Q}$  зонотопа  $Z = Z(n, d)$ . ‘Раздвинутая’ мембрана  $\mathcal{M} + [0, v_n]$  становится перегородкой старшего цвета  $n$  в  $\mathcal{Q}$ . Редуцируя по этому цвету, мы возвращаемся к исходному кубильяжу  $\tilde{\mathcal{Q}}$ .

Таким образом, пара  $(\tilde{\mathcal{Q}}, \mathcal{M})$ , где  $\tilde{\mathcal{Q}}$  – кубильяж зонотопа  $\tilde{Z} = Z(n - 1, d)$ , а  $\mathcal{M}$  – мембрана в  $\tilde{\mathcal{Q}}$ , определяет кубильяж  $\mathcal{Q}$  зонотопа  $Z = Z(n, d)$ . И на этом пути получают все кубильяжи зонотопа  $Z$ . В самом деле, пусть  $\mathcal{Q}$  – произвольный кубильяж  $Z$ . Возьмем в нем перегородку  $\mathcal{P}$  цвета  $n$  и редуцируем ее. Шов  $\mathcal{S}$  от этой редукции, как уже говорилось, является мембраной для редуцированного кубильяжа  $\tilde{\mathcal{Q}} = \mathcal{Q}_{-n}$  редуцированного зонотопа  $Z(n - 1, d)$ . Экпансия этой мембраны  $\mathcal{S}$  возвращает нас к исходному кубильяжу  $\mathcal{Q}$ .

Итог этого обсуждения можно подвести следующим утверждением.

**Предложение 3** *Задать кубильяж зонотопа  $Z(n, d)$  – то же самое, что задать пару  $(\tilde{\mathcal{Q}}, \mathcal{M})$ , где  $\tilde{\mathcal{Q}}$  – кубильяж зонотопа  $Z(n - 1, d)$ , а  $\mathcal{M}$  – мембрана для  $\tilde{\mathcal{Q}}$ .*

Или чуть иначе: существует естественное сюръективное отображение  $\mathbf{Q}(n, d) \rightarrow \mathbf{Q}(n - 1, d)$ ; слой его над любой точкой  $\mathcal{Q} \in \mathbf{Q}(n - 1, d)$  совпадает с множеством  $\mathbf{M}(\mathcal{Q})$  мембран для  $\mathcal{Q}$ .

**Пример 2.** Стандартный кубильяж зонотопа  $Z(n, d)$  получается из стандартного же кубильяжа зонотопа  $Z' = Z(n - 1, d)$  с помощью ‘задней’ мембраны  $\partial_+(Z')$  (невидимой части границы  $Z'$ ). См. рис. 7, где  $d = 2$ .

В самом деле, мы определяли стандартный кубильяж зонотопа  $Z(n, d)$  как образ ‘передней’ (видимой) мембраны  $\partial_- Z(n, d + 1)$  зонотопа  $Z(n, d + 1)$ . Но как выглядит последняя? Зонотоп  $Z(n, d + 1)$  получается из зонотопа  $Z(n - 1, d + 1)$  прибавлением отрезка  $[0, \mathbf{v}_{d+1}(n)]$ . Соответственно, его видимая граница состоит из видимой границы  $\partial_-$  зонотопа  $Z(n - 1, d + 1)$  плюс фасеты вида  $F + [0, \mathbf{v}_{d+1}(n)]$ , где  $F$  пробегает множество невидимых (в направлении координаты  $d$ ) фасет этой видимой границы  $\partial_-$ . При проекции вдоль координаты  $d + 1$  первая половина превращается в стандартный кубильяж зонотопа  $Z' = Z(n - 1, d)$ , а фасеты  $F$  – в невидимые фасеты этого зонотопа  $Z'$ , образуя в совокупности невидимую часть границы зонотопа  $Z'$ . Поэтому вторая половина проектируется в точности на экспансию (по цвету  $n$ ) задней (невидимой) мембраны зонотопа  $Z'$ .

Аналогично, антистандартный кубильяж получается экспансией по цвету  $n$  передней (видимой) мембраны  $\partial_- Z'$  антистандартного кубильяжа зонотопа  $Z' = Z(n - 1, d)$ .

## 7 Кубы и флопы

Рассмотрим более обстоятельно случай куба, зонотопа  $C = Z(d, d)$ . У него есть всего две мембраны – видимая (передняя)  $\partial_- C$  и невидимая (задняя)  $\partial_+ C$ , которые при проекции  $\pi$  дают стандартный и антистандартный кубильяжи зонотопа  $Z(d, d - 1)$ . Из подсчета числа вершин обода (см. (1.2)) видно, что на передней

мембране имеется ровно одна ‘внутренняя’ вершина  $t$  (назовем ее *хвостом*), как и на задней одна ‘внутренняя’ вершина  $h$  (назовем ее *головой*).

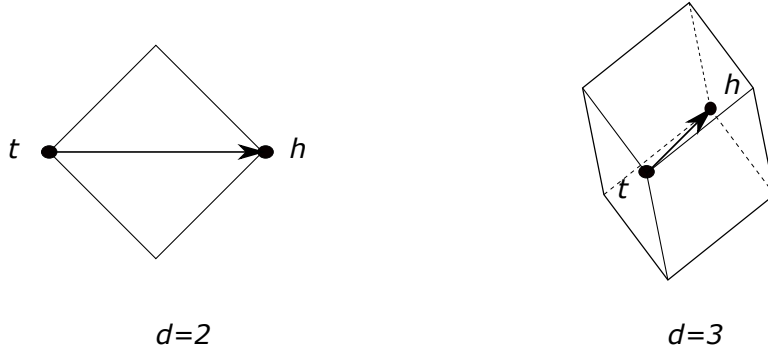


Рис. 4: Хвост и голова

Скажем более конкретно о спектрах этих вершин. Для этого вернемся к разделу 1, где описывались фасеты зонотопа. Аналогично можно поступить и здесь, для описания вершин  $t$  и  $h$ . Напомним, что вектора  $v_1, \dots, v_d$  задавались числами  $t_1 < \dots < t_d$  и мы полагали  $v_i = \mathbf{v}(t_i)$ . Возьмем некоторые перемежающиеся их числа  $s_1, \dots, s_{d-1}$ , так что  $t_1 < s_1 < t_2 < \dots < t_{d-1} < s_{d-1} < t_d$ . И в качестве линейного функционала на пространстве  $\mathbb{R}^d$  возьмем  $\det(\mathbf{v}(s_1), \dots, \mathbf{v}(s_{d-1}), \bullet)$ . Заметим, что этот функционал положителен на векторах  $v_d$  и  $e_d$ . Он положителен также на векторах  $v_i$ , когда  $i$  имеет ту же четность, что и  $d$ , и отрицателен на векторах  $v_i$ , когда  $i$  имеет противоположную с  $d$  четность. Отсюда видно, что головная вершина  $h$  есть сумма векторов  $v_i$ , таких что  $d - i$  четно, тогда как хвостовая вершина  $t$  есть сумма векторов  $v_i$ , таких что  $d - i$  нечетно. Так что  $sp(h) = \{d, d-2, \dots\}$ , тогда как  $sp(t) = \{d-1, d-3, \dots\}$ . Например, в случае  $d = 3$  (см. рис. 4)  $sp(t) = 2$ ,  $sp(h) = 13$  (как и далее, 13 обозначает множество  $\{1, 3\}$ ). Очевидно, что в объединении эти множества-спектры дают все  $[d]$ .

Стрелку, идущую из хвоста  $t$  в голову  $h$ , будем называть *хордой* куба  $C$ . В случае четного  $d$  хорда идет горизонтально, тогда как в при нечетном  $d$  она поднимается на 1 при каждом шаге, как видно из рис. 4. Здесь впервые начинает проявляться небольшое различие между четными и нечетными  $d$ .

После рассмотрения изолированного куба обратимся к общей ситуации. Пусть  $\mathcal{Q}$  – кубильяж зонотопа  $Z = Z(n, d)$ , и  $Q$  – некоторый куб этого кубильяжа с хвостом  $t_Q$ , головой  $h_Q$  и хордой  $t_Q \rightarrow h_Q$ . Если мы проделаем это с каждым кубом кубильяжа, то эти хорды дадут структуру направленного графа на множестве вершин кубильяжа  $\mathcal{Q}$ . Этот граф состоит из путей-нитей, соединяющих (внутренние) вершины передней мембраны  $\partial_- Z$  с (внутренними же) вершинами задней мембраны  $\partial_+ Z$ . Каждый куб оказывается ‘нанизанным’ на свою хорду, а кубы, нанизанные на пути, выглядят как ‘гирлянды’. Считая, что вершины обода соединены сами с собой путем длины 0, мы получаем интересную (и слабо изученную) ‘гирляндную’ биекцию множества вершин передней мембраны в множество вершин задней мембраны зонотопа  $Z$ .

Разумеется, можно не ограничиваться только граничными мембранами. Если

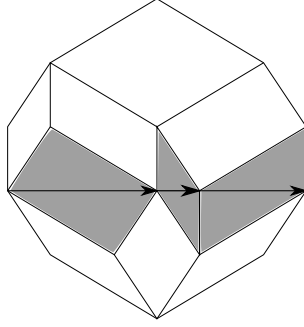


Рис. 5: Гирлянда в зонотоне  $Z(5, 2)$

$\mathcal{M}$  и  $\mathcal{M}'$  – две произвольные мембраны (одного и того же кубильяжа), то каждая гирлянда ‘протыкает’ каждую из мембран ровно один раз. Тем самым мы получаем ‘гирляндную’ биекцию между множеством вершин  $\mathcal{M}$  и множеством вершин  $\mathcal{M}'$ . Это лишний раз показывает, что число вершин у каждой мембраны такое же, как у стандартной. На самом деле мы получаем даже больше: при четном  $d$  у всех мембран зонотопа  $Z(n, d)$  на каждой высоте одно и то же число вершин. Или: при нечетном  $d$  у любого кубильяжа зонотопа  $Z(n, d)$  число вершин на каждом этаже одно и то же.

**Пример.** Проиллюстрируем гирляндную биекцию на примере стандартного кубильяжа занотопа  $Z(4, 3)$ . Как уже говорилось в предыдущем разделе, такой кубильяж получается из куба  $C = Z(3, 3)$  экспансией по цвету 4 задней стороны этого куба. Задняя сторона  $\partial_+ C$  состоит из трех пластинок-ромбов, так что стандартный кубильяж  $Z(4, 3)$  состоит из четырех кубов: исходного  $C$  и трех ‘экспансированных’ из этих пластинок. Мы изобразили все это на рис. 5, где для наглядности вынули и слегка отодвинули первый куб  $C$ .

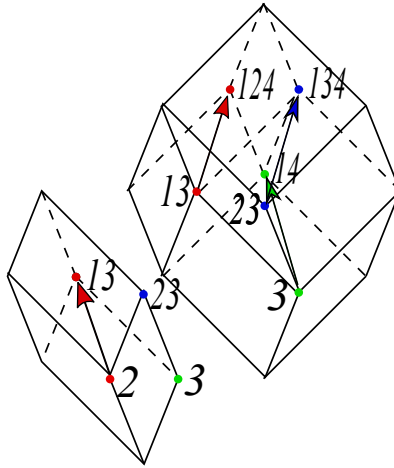


Рис. 6: Гирляндное отображение для стандартного кубильяжа зонотопа  $Z(4, 3)$

Передняя сторона (или мембрана) зонотопа  $Z(4, 3)$  содержит, кроме перифе-

рийных (лежащих на ободке), три вершины со спектрами 2,3 и 23. Так как гирляндное отображение  $\gamma_S$  тривиально действует на ободке, нам нужно понять – куда при отображении  $\gamma_S$  переходят эти три вершины 2, 3 и 23. Глядя на рисунок, мы видим, что 2 переходит сначала в точку 13, которая затем переходит в точку 124. Точка 3 переходит в 14, а точка 23 – в 134. Окончательно,

$$\gamma_S : \begin{cases} 2 \mapsto 124 \\ 3 \mapsto 14 \\ 23 \mapsto 134 \end{cases} .$$

Действуя аналогично, можно убедиться, что гирляндное отображение  $\gamma_A$  (для антистандартного кубильяжа  $Z(4, 3)$ ) устроено так:

$$\gamma_A : \begin{cases} 2 \mapsto 14 \\ 3 \mapsto 134 \\ 23 \mapsto 124 \end{cases} .$$

Последнее, впрочем, можно увидеть и из следующего общего соображения. Произвольный зонотоп  $Z$  симметричен относительно своего центра. Если обозначить эту симметрию как  $\alpha$ , мы для любого кубильяжа  $\mathcal{Q}$  можем рассмотреть симметричный ему кубильяж  $\alpha\mathcal{Q}$  того же зонотопа  $Z$ . При этом стандартный кубильяж переходит в антистандартный, и наоборот. Пусть  $S$  обозначает вершины зонотопа на передней стороне  $Z$ , а  $A$  – вершины на задней стороне. Инволюция  $\alpha$  осуществляет биекцию  $S$  на  $A$ ; подмножество  $X$  переходит в свое дополнение  $[n] - X$ .

**Предложение 4** *Если  $\gamma_{\mathcal{Q}} : S \rightarrow A$  – гирляндная биекция, связанная с кубильяжем  $\mathcal{Q}$ , то  $\gamma_{\alpha\mathcal{Q}} = \alpha^{-1}\gamma_{\mathcal{Q}}\alpha$ .*

*Доказательство.* При инволюции  $\alpha$  каждая хорда куба  $Q$  переходит в противоположно направленную хорду куба  $\alpha Q$ .  $\square$

Пусть  $M$  – мембрана в некотором кубильяже  $\mathcal{Q}$ . Представим, что некоторый куб  $Q$  кубильяжа  $\mathcal{Q}$  касается мембраны всей своей видимой границей  $\partial_- Q$ . (Ниже мы увидим, что такая ситуация не исключительна и встречается постоянно.) В этом случае можно образовать новую мембрану  $M'$ , которая всюду совпадает с  $M$ , за исключением того, что этот фрагмент  $\partial_- Q$  заменяется новым фрагментом  $\partial_+ Q$ . Иначе говоря, если мембрана  $M$  обходила куб  $C$  спереди, то теперь она обходит его сзади. Мы говорим, что мембрана  $M'$  получена из  $M$  с помощью *повышающего флота* (а  $M$  получена из  $M'$  *понижающим флотом*).

Это можно выразить чуть иначе. Пусть  $\mathcal{Q}_-(M)$  обозначает набор кубов кубильяжа  $\mathcal{Q}$ , которые расположены до мембраны  $M$ . Тогда  $\mathcal{Q}_-(M')$  получается добавлением к  $\mathcal{Q}_-(M)$  ровно одного куба  $Q$ . Так что при повышающих флотах мембрана движется ‘от нас’, захватывая по очереди по одному кубу кубильяжа, пока не дойдет до ‘задней’ границы зонотопа.

## 8 Капсиды и флипы

После обстоятельного рассмотрения куба естественно перейти к следующему по сложности случаю зонотопа  $Z = Z(d + 1, d)$ . Такой зонотоп (или подзонотоп в большем зонотопе  $Z(n, d)$ ) будем для краткости называть *капсидом*<sup>2</sup>.

Капсид представляется как проекция  $(d + 1)$ -мерного куба  $\widehat{Z} = Z(d + 1, d + 1)$ . Проекция передней мембраны этого куба дает стандартный кубильяж капсида  $Z$ . А проекция ‘хвоста’  $t_{\widehat{Z}}$  дает единственную ‘центральную’ (не лежащую на ободе) вершину стандартного кубильяжа, которую мы обозначим как  $c^{st}$ . Ее спектр  $sp(c^{st}) = \{d, d - 2, \dots\}$ . Эта вершина со всех сторон окружена кубами стандартного кубильяжа капсида и является вершиной каждого куба этого кубильяжа. Симметрично невидимая мембрана содержит ‘центральную’ вершину  $c^{an}$  антистандартного кубильяжа капсида со спектром  $\{d + 1, d - 1, \dots\}$ . Например, при  $d = 2$   $sp(c^{st}) = 2$ ,  $sp(c^{an}) = 13$ ; при  $d = 3$   $sp(c^{st}) = 13$ ,  $sp(c^{an}) = 24$ .

В силу Следствия из Раздела 4 мы получаем, что капсид имеет только два кубильяжа, описанных выше. Подведем итог:

**Предложение 5** *Капсид  $Z(d + 1, d)$  допускает всего два кубильяжа - стандартный и антистандартный. Стандартный кубильяж характеризуется тем, что кроме вершин обода содержит вершину  $c^{st}$  со спектром  $\{d, d - 2, \dots\}$ . Симметрично, антистандартный кубильяж характеризуется тем, что кроме вершин обода содержит вершину  $c^{an}$  со спектром  $\{d + 1, d - 1, \dots\}$ .  $\square$*

Утверждение про два кубильяжа капсида можно получить также из Предложения 3. Последнее говорит, что задать кубильяж капсида  $Z(d + 1, d)$  – это то же самое, что задать мембрану в кубе  $C = Z(d, d)$ . Но у куба есть всего две мембраны: видимая часть границы  $\partial_- C$  и невидимая часть границы  $\partial_+ C$ . Соответственно, у капсида  $Z(d + 1, d)$  есть два кубильяжа. Один получается  $(d + 1)$ -экспансией задней мембраны  $\partial_+ C$ ; это стандартный кубильяж. Другой (антистандартный) получается путем экспансии передней мембраны  $\partial_- C$ . См. рис. 7.

Предположим теперь, что у нас имеется некоторый кубильяж  $\mathcal{Q}$  произвольного зонотопа  $Z(n, d)$ , а в нем фрагмент вида  $Z(d + 1, d)$  (то есть граница этого капсида является подкомплексом комплекса  $\mathcal{Q}$ ). Ограничение кубильяжа  $\mathcal{Q}$  на этот капсид  $Z(d + 1, d)$  является стандартным или антистандартным кубильяжем. Замена кубильяжа этого фрагмента противоположным кубильяжем называется *флипом* (*повышающим*, когда стандартный фрагмент заменяется антистандартным, и *понижающим* в противном случае). Флип меняет кубильяж  $\mathcal{Q}$  на некоторый новый кубильяж  $\mathcal{Q}'$ , отличающийся от  $\mathcal{Q}$  лишь локально, внутри капсида.

Связь флипов с флопами, рассмотренными в предыдущем разделе, очевидна. Предположим: что кубильяж  $\mathcal{Q}$  зонотопа  $Z(n, d)$  получен как проекция мембраны  $M$  в кубильяже  $\widehat{\mathcal{Q}}$  "большого" зонотопа  $\widehat{Z} = Z(n, d + 1)$ . И мы делаем (скажем, повышающий) флип с этой мембраной, заменяя ее мембраной  $M'$ . Тогда проекция  $\mathcal{Q}'$  новой мембраны  $M'$  получается применением (повышающего) флипа к кубильяжу  $\mathcal{Q}$ .

<sup>2</sup>Термин взят из вирусологии. Так называется белковая оболочка вируса, обычно полиэдральная (типа ромбододекаэдра, то есть  $Z(5, 3)$ ).

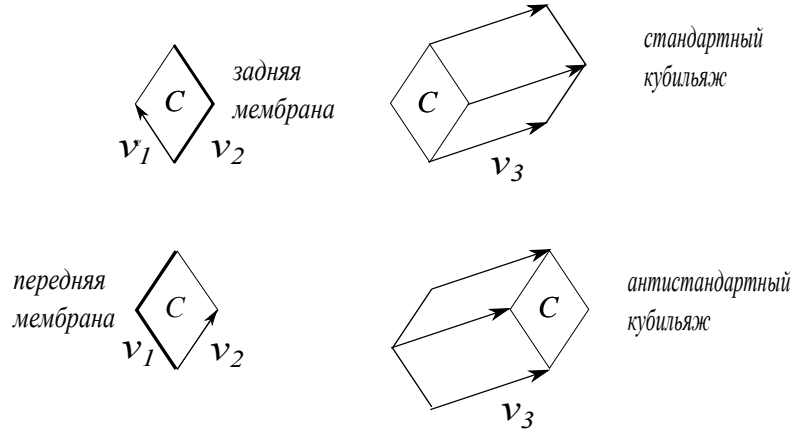


Рис. 7: экспансия мембран куба

Как мы увидим ниже, флипов много, хотя бы в том смысле, что от любого кубильяжа  $\mathcal{Q}$  можно добраться до стандартного кубильяжа  $\mathcal{Q}_{st}$  с помощью понижающих флипов. Однако независимо от этого факта можно ввести понятие *порядка* на множестве  $\mathbf{Q}(n, d)$ . А именно,  $\mathcal{Q} \leq \mathcal{Q}'$ , если от кубильяжа  $\mathcal{Q}$  до кубильяжа  $\mathcal{Q}'$  можно добраться серией повышающих флипов. Чтобы показать, что флипов ‘много’, полезно ввести важное понятие естественного порядка на множестве кубов произвольного кубильяжа.

## 9 Порядок кубов в кубильяже

Пусть  $\mathcal{Q}$  – кубильяж (циклического) зонотопа  $Z(n, d) \subset \mathbb{R}^d$ . Оказывается, можно частично упорядочить некоторым естественным образом кубы этого кубильяжа. Говоря грубо – по росту  $d$ -й координаты. Но более правильно – по тому, располагается ли один куб за другим при рассмотрении в направлении  $d$ -й координаты.

Пусть  $Q$  – некоторый куб кубильяжа  $\mathcal{Q}$ , и  $F$  – его фасета. Скажем, что фасета  $F$  куба  $Q$  *видимая* (или освещенная), если существует прямая (в  $\mathbb{R}^d$ ), параллельная координатному вектору  $e_d$ , которая сначала пересекает  $F$  и лишь после этого входит в куб  $Q$ . Противоположная (к  $F$  в  $Q$ ) фасета называется *невидимой* или затененной. Очевидно, что из  $2d$  фасет куба половина видимые, а половина затененные.

Пусть теперь  $Q$  и  $Q'$  – два куба кубильяжа  $\mathcal{Q}$ . Скажем, что куб  $Q$  *непосредственно предшествует* кубу  $Q'$  (и пишем  $Q \prec Q'$ ), если  $Q$  и  $Q'$  соседние по фасете  $F$ , которая невидима для  $Q$  и видима для  $Q'$ . Так на  $\mathcal{Q}$  возникает бинарное отношение  $\prec$  (или  $\prec_{\mathcal{Q}}$ , если быть точнее).

Рисунок 8 подсказывает следующее обобщение:

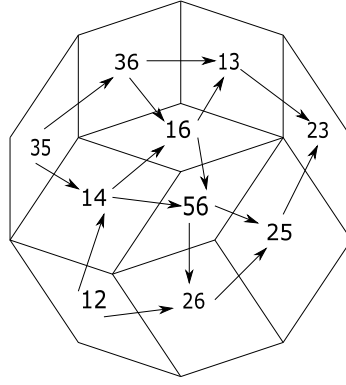


Рис. 8: Отношение  $\prec$  на кубильяже зонотона  $Z(5, 2)$ .

**Предложение 6** *Отношение  $\prec$  ациклично.*

Это утверждение, как и следующая Лемма о реверсе доказываются в Дополнении 4. Лемма относится к следующей ситуации. Пусть  $\mathcal{P} = \mathcal{P}_n$  - перегородка старшего цвета  $n$  в кубильяже  $\mathcal{Q}$  зонотопа  $Z = Z(n, d)$ . Редукция этой перегородки дает кубильяж  $\tilde{\mathcal{Q}}$  зонотопа  $\tilde{Z} = Z(n-1, d)$  и шов-мембрану  $\mathcal{M}$  в  $\tilde{\mathcal{Q}}$ . Проектируя  $\mathcal{M}$  вдоль  $d$ -ой координатной оси  $e_d$ , мы получаем кубильяж  $\mathcal{Q}' = \pi(\mathcal{M})$  зонотопа  $Z' = Z(n, d-1)$ .

Пусть теперь  $Q$  и  $R$  – два куба из перегородки  $\mathcal{P}$ , связанные отношением непосредственного предшествования,  $R \prec Q$ . При редукции кубы  $Q$  и  $R$  превращаются в пластинки-фасеты  $\gamma(Q)$  и  $\gamma(R)$  мембраны  $\mathcal{M}$ ; их образы при проекции  $\pi$  дают кубы  $Q'$  и  $R'$  кубильяжа  $\mathcal{Q}'$ . Очевидно, что  $Q'$  и  $R'$  тоже соседние в кубильяже  $\mathcal{Q}'$ , и мы можем сравнить их отношением непосредственного предшествования  $\prec'$  в кубильяже  $\mathcal{Q}'$ .

**Лемма 2** (о реверсе). *Если кубы  $R$  и  $Q$  лежат в перегородке  $\mathcal{P}$  и  $R \prec Q$ , то  $Q' \prec' R'$ .*

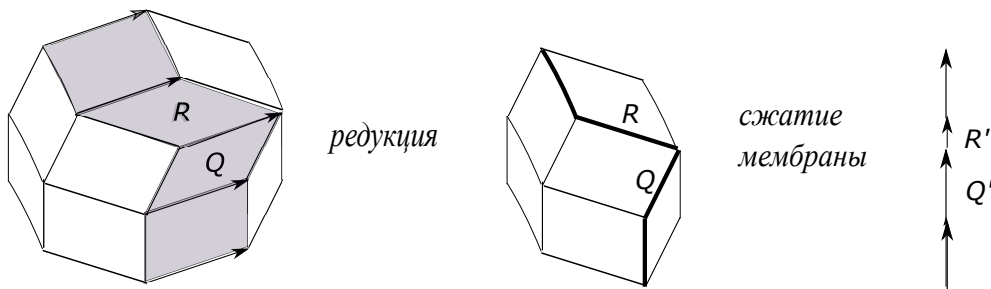


Рис. 9: На рисунке слева для кубов  $R$  и  $Q$  из перегородки выполнено  $R \prec Q$ . Справа нарисован кубильяж  $\mathcal{Q}'$ , полученный сжатием перегородки. Для соответствующих кубов  $R'$  и  $Q'$  выполнено противоположное соотношение  $Q' \prec' R'$ .

Непосредственным следствием Леммы о реверсе является то, что *ограничение отношения  $\prec$  на перегородку  $\mathcal{P}$  (цвета  $n$ ) противоположно отношению  $\prec'$  для кубильяжа  $\mathcal{Q}$*  (здесь мы отождествляем множество  $\mathcal{P}$  с  $\mathcal{Q}$  через  $P \mapsto \gamma(P) \mapsto P'$ ).

**Определение.** *Естественным порядком* на кубильяже  $\mathcal{Q}$  называется рефлексивно-транзитивное замыкание отношения  $\prec$ ; мы обозначаем его  $\preceq$  или  $\preceq_{\mathcal{Q}}$ .

По определению это отношение  $\preceq$  является предпорядком; нетривиальность в том, что оно является *порядком*, то есть антисимметрично ( $Q \preceq Q'$  и  $Q' \preceq Q$  влекут  $Q = Q'$ ). Именно это и дает Предложение 6.

**Пример 1.** Пусть  $Q$  и  $Q'$  – два куба из одного туннеля, и  $Q'$  идет после  $Q$  при движении от видимой границы зонотопа к невидимой. Тогда  $Q \preceq Q'$ .

**Пример 2.** Пусть куб  $Q$  ‘частично затеняет’  $Q'$ , то есть имеется прямая, параллельная координатному вектору  $e_n$ , которая протыкает (пересекает по внутренней точке) куб  $Q$  раньше, чем  $Q'$ . Тогда  $Q \preceq Q'$ . В самом деле, надо рассмотреть цепочку кубов  $Q_1, \dots, Q_k$ , которые эта прямая пересекает по пути от  $Q$  к  $Q'$ . Тогда  $Q \prec Q_1 \prec \dots \prec Q_k \prec Q'$ .

Отметим, что мы могли бы начать с этого более сильного отношения затенения и (после транзитивного замыкания) получить то же отношение  $\preceq$ .

**Пример 3.** Пусть куб  $Q'$  располагается непосредственно после куба  $Q$  в некоторой гирлянде (то есть голова  $Q$  совпадает с хвостом  $Q'$ , см. раздел 7). Тогда  $Q$  затеняет  $Q'$  и по предыдущему примеру  $Q \preceq Q'$ .

Пусть  $\mathcal{Q}$  – кубильяж, а  $\mathcal{Q}_{-i}$  – редукция  $\mathcal{Q}$  по цвету  $i$ . Как множество кубов  $\mathcal{Q}_{-i}$  отождествляется с  $\mathcal{Q} - \mathcal{P}_i$ , так что можно рассматривать  $\mathcal{Q}_{-i}$  как подмножество в  $\mathcal{Q}$ .

**Предложение 7** *Ограничение порядка  $\preceq$  на  $\mathcal{Q}_{-i}$  сильнее, чем порядок  $\preceq_{-i}$  на  $\mathcal{Q}_{-i}$ .*

Иначе говоря, если для кубов  $Q$  и  $R$  из редуцированного кубильяжа  $\mathcal{Q}_{-i}$  выполнено соотношение  $Q \preceq_{-i} R$ , то  $Q \preceq R$ .

Для доказательства мы должны проверить, что если  $Q$  непосредственно предшествует  $R$  в  $\mathcal{Q}_{-i}$ , то  $Q \preceq R$ . Соотношение  $Q \prec_{-i} R$  означает, что кубы  $Q$  и  $R$  соседние в  $\mathcal{Q}_{-i}$  по фасете  $F$ , причем  $Q$  располагается раньше. Возможны два случая. Первый – фасета  $F$  не является пластиной шва  $S$  редукции. Тогда  $Q$  и  $R$  соседние уже в  $\mathcal{Q}$  и все очевидно. Второй – фасета  $F$  принадлежит шву. Но тогда она получилась редукцией цвета  $i$  в кубе  $S = F + [0, v_i]$ . И очевидно, что (в кубильяже  $\mathcal{Q}$ ) мы имеем соотношения  $Q \prec S \prec R$ . См. рисунок 10.

## 10 Порядок на кубильяжах капсида

Наиболее просто Предложение 7 работает для стандартного кубильяжа. Дело в том, что редукция  $\mathcal{Q} = \mathcal{Q}_{-n}$  стандартного кубильяжа  $\mathcal{Q} = \mathcal{Q}_{st}$  зонотопа  $Z(n, d)$  по цвету  $n$  является стандартным кубильяжем (зонотопа  $Z(n-1, d)$ ). Более того, сжатие перегородки  $\mathcal{P} = \mathcal{P}_n$  цвета  $n$  в  $\mathcal{Q}$  дает антистандартный кубильяж зонотопа

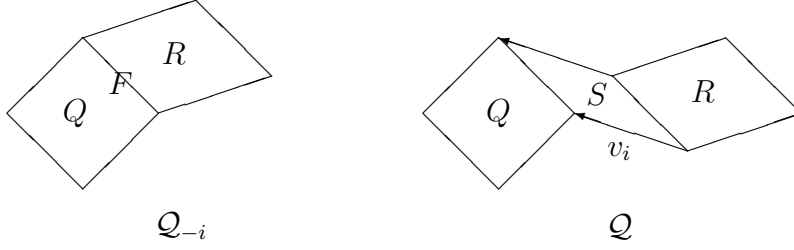


Рис. 10:

$Z' = Z(n - 1, d - 1)$ . Этими соображениями можно воспользоваться, чтобы полностью описать естественный порядок на стандартном кубильяже. Мы сделаем это упражнение для случая  $n = d + 1$ , то есть для капсида.

Пусть  $\mathcal{Q}$  – стандартный кубильяж капсида  $Z = Z(d + 1, d)$ . Редуцированный кубильяж  $\tilde{\mathcal{Q}}$  – это тривиальный кубильяж куба  $\tilde{Z} = Z(d, d)$ . Перегородка  $\mathcal{P}$  (цвета  $n = d + 1$ ) примыкает к невидимой (задней) части  $\partial_-(\tilde{Z})$  границы куба  $\tilde{Z}$ ; более точно, она получается суммированием этой задней части границы с отрезком  $[0, v_n]$ . Поэтому кубы из перегородки имеют вид  $F + [0, v_n]$ , где  $F$  пробегает невидимые фасеты куба  $\tilde{Z}$ . (Посмотрите на рис. 6 и 7.) Видно, что все они  $\succ$  куба  $\tilde{Z}$ . И остается разобраться с порядком на кубах перегородки  $\mathcal{P}$ . Но, как мы знаем из Леммы о реверсе, этот порядок противоположен порядку кубильяжа, полученного проекцией  $\pi$  (сжатием) задней мембраны  $\partial_+(\tilde{Z})$ , то есть антистандартного кубильяжа ‘меньшего’ капсида  $Z' = Z(d, d - 1)$ . Так что порядок на кубах из  $\mathcal{P}$  – это в точности порядок на стандартном кубильяже капсида  $Z(d, d - 1)$ . Индукцией по  $d$  мы получаем

**Предложение 8** *Естественный порядок на стандартном кубильяже капсида  $Z(d + 1, d)$  – полный (или линейный).*

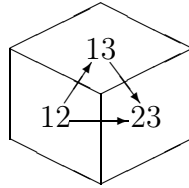


Рис. 11: Порядок на стандартном тайлинге зоногона  $Z(3,2)$ .

Иначе говоря, это цепь из  $n = d + 1$  элемента. Более того, мы видим, что уже отношение  $\prec$  в этом случае транзитивно. Куб  $\tilde{Z}$  – минимальный элемент этого порядка. Заметим, что его тип равен  $[d] = [n] - n$ . Та же индукция, что и выше, показывает, что в терминах типов кубов порядок на стандартном кубильяже капсида  $Z(d + 1, d)$  совпадает с лексикографическим порядком  $\prec_{lex}$  на множестве  $Gr([d + 1], d)$  подмножеств размера  $d$  в  $[d + 1]$ . Например, при  $d = 6$  этот порядок выглядит так:

$$12345 \prec 12346 \prec 12356 \prec 12456 \prec 13456 \prec 23456.$$

Для антистандартного кубильяжа капсида порядок  $\prec$  тоже линейный, но в терминах типов меняется на противоположный, антилексикографический,  $\prec_{antilex}$ .

Мы оставляем как упражнение разбор следующего по сложности случая: стандартного кубильяжа зонотопа  $Z(d+2, d)$ . Ответ для стандартного кубильяжа зонотопа  $Z(6, 4)$  изображен на рис. 12.<sup>3</sup>

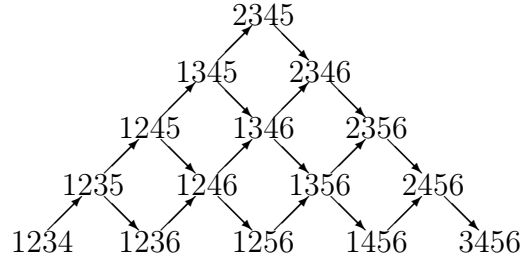


Рис. 12: Горка

При рассмотрении естественного порядка на общем кубильяже важную роль играет следующее соображение. Каждый капсид (то есть подзонотон  $Z(d+1, d)$  в кубильяже  $\mathcal{Q}$ ) задает свой тип  $K$ , подмножество размера  $d+1$  в  $[n]$ . В свою очередь, пусть  $K \subset [n]$  – произвольное подмножество размера  $d+1$ . Рассмотрим в  $\mathcal{Q}$  множество  $\mathcal{F}(K)$ , состоящее из кубов  $Q \in \mathcal{Q}$ , типы которых содержатся в  $K$ . Число таких кубов равно  $d+1$ , и они параметризуются своими типами  $K-i$ , где  $i$  пробегает  $K$ . В совокупности эти кубы представляют как бы ‘разбежавшийся’ капсид (настоящий капсид состоит из кубов, тесно прижатых друг к другу). Редуцируя цвета, не входящие в  $K$ , мы ‘прижмем’ эти кубы друг к другу. Более точно, пусть  $\mathcal{Q}_K$  обозначает кубильяж, полученный из  $\mathcal{Q}$  редукцией всех цветов, не принадлежащих  $K$ . Как множество,  $\mathcal{Q}_K$  отождествляется с  $\mathcal{F}(K)$ . Кубильяж  $\mathcal{Q}_K$  является кубильяжем капсида  $Z(K, d)$  и поэтому либо стандартный, либо антистандартный. И так как (см. Пример 3 выше) естественный порядок  $\preceq$  на  $\mathcal{F}(K)$  совпадает с порядком на  $\mathcal{Q}_K$ , то он во-первых, линейный (то есть  $\mathcal{F}(K)$  – это цепь для  $\preceq$ ), и во-вторых, в терминах типов он либо лексикографический, либо антилексикографический. Причем какой – легко понять. В множестве  $K$  как подмножестве  $[n]$  есть максимальный элемент, пусть это  $k$ . Тогда все определяется тем – будет ли куб  $Q$  с типом  $K-k$  расположен раньше перегородки  $\mathcal{P}_k$  цвета  $k$  в  $\mathcal{Q}$  (и тогда  $Q$  – минимальный элемент в  $\mathcal{F}(K)$ , а порядок лексикографический), либо позже перегородки (и тогда куб  $Q$  максимален, а порядок  $\preceq$  на подмножестве  $\mathcal{F}(K)$  антилексикографический).

Итак, ограничения  $\preceq$  на такие ‘капсидо-подобные’ системы  $\mathcal{F}(K)$  в  $\mathcal{Q}$  являются линейными порядками (цепями). В свою очередь, эти цепи однозначно определяют  $\preceq$ . Более точно,

**Предложение 9** *Естественный порядок  $\preceq$  на кубильяже  $\mathcal{Q}$  – это транзитивное замыкание цепей  $(\mathcal{F}(K), \preceq_{\mathcal{F}(K)})$  по всем  $K \subset [n]$  размера  $d+1$ .*

<sup>3</sup>Отметим аналогию с рисунками колчанов в [24, Table 1].

Для доказательства достаточно проверить, что если  $Q \prec R$  для кубов  $Q$  и  $R$  кубильяжа  $\mathcal{Q}$ , то  $Q$  и  $R$  встечаются в некотором ‘разбросанном’ капсиде  $\mathcal{F}(K)$ . В самом деле, надо взять в качестве  $K$  объединение типов  $Q$  и  $R$ ; так как эти кубы соседние, размер  $K$  равен  $d + 1$ .  $\square$

Таким образом, естественный порядок  $\preceq$  на кубильяже  $\mathcal{Q}$  можно было бы определять не через отношение  $\prec$  ‘непосредственного следования’, но через цепи  $\mathcal{F}(K)$  размера  $d + 1$ . Мы вернемся к этому обстоятельству в комбинаторной части.

## 11 Стэки и мембраны

**Определение.** Подмножество  $\mathcal{S}$  кубов в  $\mathcal{Q}$  называется *стэком*, если с каждым кубом  $Q$  подмножество  $\mathcal{S}$  содержит и меньшие (относительно  $\prec$  или  $\preceq$ ) кубы. Иными словами, это порядковый идеал в посете  $(\mathcal{Q}, \preceq)$ . *Телом* стэка  $\mathcal{S}$  называется подмножество в  $Z = Z(n, k)$ , являющееся объединением кубов, входящих в  $\mathcal{S}$ , плюс множество точек видимой границы зонотопа  $Z$ .

Интерес стэков вызван тем, что они задают мембраны кубильяжа  $\mathcal{Q}$ . В самом деле, любая прямая, параллельная  $d$ -ой оси координат, проходя внутри зонотопа  $Z$ , сначала идет по телу стэка  $\mathcal{S}$ , потом в какой-то момент пересекает границу стэка и уже не возвращается в стэк. Множество этих ‘последних’ точек стэка образует мембрану  $\mathcal{M} = \mathcal{M}(\mathcal{S})$  в кубильяже  $\mathcal{Q}$ . В самом деле, оно состоит из фасет кубильяжа  $\mathcal{Q}$  и биективно проецируется на  $Z' = \pi(Z)$ . Обратно, если  $\mathcal{M}$  – мембрана кубильяжа  $\mathcal{Q}$ , и мы соберем все кубы, расположенные до мембраны, мы получим стэк  $\mathcal{S}(\mathcal{M})$ . Очевидно, что эти операции взаимно обратны, и мы получаем

**Предложение 10** *Множество  $\mathbf{S}(\mathcal{Q})$  стэков в кубильяже  $\mathcal{Q}$  и множество мембран  $\mathbf{M}(\mathcal{Q})$  естественно биективны.*  $\square$

**Следствие.** *Зонотоп  $Z(d + 2, d)$  имеет  $2(d + 2)$  различных кубильяжей.*

Доказательство. Согласно Предложению 2 из раздела 6, задать кубильяж зонотопа  $Z(d + 2, d)$  – это то же самое, что задать мембрану в некотором кубильяже капсида  $Z(d + 1, d)$ . У последнего имеется всего два кубильяжа – стандартный и антистандартный. И на каждом из них естественный порядок является цепью (длины  $d + 1$ ). Соответственно, имеется  $d + 2$  стэка, а в силу предыдущего предложения –  $d + 2$  мембраны.  $\square$

Легко понять, что посет  $\mathbf{Q}(d + 2, d)$  состоит из двух ветвей кольца размера  $2(d + 2)$ , как на рисунке 13.

Мембраны в кубильяже  $\mathcal{Q}$  естественно упорядочены: мы говорим, что мембрана  $\mathcal{M}$  кубильяжа  $\mathcal{Q}$  встречается *раньше*, чем мембрана  $\mathcal{M}'$ , если любая прямая, параллельная  $e_d$ , пересекает  $\mathcal{M}$  не позже, чем  $\mathcal{M}'$ . В терминах стэков это в точности отношение включения соответствующих подмножеств в  $\mathcal{Q}$ ). Мы получаем отсюда следующие утверждения.

**Предложение 11 а)** *Множество мембран  $\mathbf{M}(\mathcal{Q})$  кубильяжа  $\mathcal{Q}$  образует дистрибутивную решетку.*

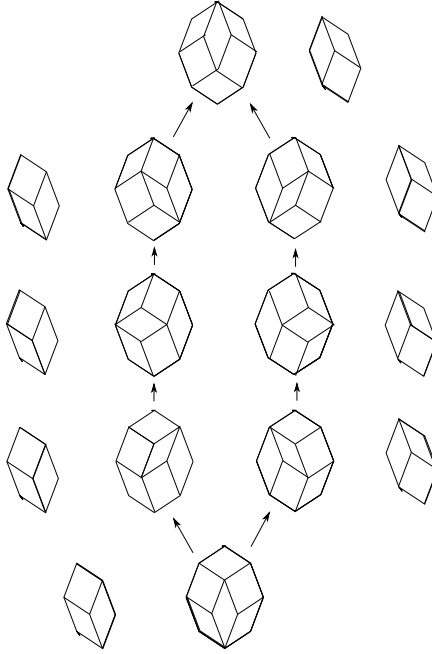


Рис. 13: "Кольцо". Изображены восемь кубильяжей зонотона  $Z(4, 2)$ . Стрелки указывают повышающие флипы. Сбоку от каждого кубильяжа помещен кубильяж  $Z(3, 2)$  и мембрана в нем, задающие (см. Предложение 4) соответствующий кубильяж  $Z(4, 2)$ .

б) Эта решетка градуирована (как и любая дистрибутивная, см. [18], 3.4); ранг мембраны  $\mathcal{M}$  равен числу элементов в стэке  $\mathcal{S}(\mathcal{M})$ .

с) Для любой мембраны  $\mathcal{M}$ , если она не максимальна, существует куб  $Q \in \mathcal{Q}$ , который всеми своими видимыми фасетами входит в мембрану  $\mathcal{M}$ . Добавление этого куба приводит к мембране  $\mathcal{M}'$ , которая отличается от  $\mathcal{M}$  повышающим флопом.  $\square$

Таким образом, мы видим, что любую мембрану  $\mathcal{M}$  в  $\mathcal{Q}$  можно соединить с минимальной мембраной (видимой частью границы зонотопа) понижающими флопами (а с максимальной мембраной – повышающими флопами). А это означает также, что кубильяж  $\pi(\mathcal{M})$  зонотопа  $Z' = Z(n, d - 1)$  можно превратить в стандартный кубильяж зонотопа  $Z'$  серией понижающих флипов.

## 12 Существование флипов

Понятие флипа уже вводилось в разделе 8 как замена одного кубильяжа капсида  $Z(d + 1, d)$  в  $Z$  другим кубильяжем. Здесь мы покажем существование флипов.

**Теорема 1** Пусть  $\mathcal{Q}$  – кубильяж зонотопа  $Z = Z(n, k)$ . Если кубильяж  $\mathcal{Q}$  отличен от стандартного, то в нем можно сделать понижающий флип.

Иными словами, если в кубильяже нельзя сделать понижающий флип, то он стандартный. Верно, конечно, и обратное: стандартный кубильяж не допускает

понижающих флипов. Это видно, например, из того, что стандартный кубильяж реализуется видимой, или передней, мембраной в (любом) кубильяже зонотопа  $\hat{Z} = Z(n, d + 1)$ , и ‘отступать назад’ от такой мембраны уже некуда.

Доказательство. Рассмотрим перегородку  $\mathcal{P}$  цвета  $n$  в  $\mathcal{Q}$ . Если она проходит вплотную к невидимой стороне  $Z$ , мы просто ‘выбросим’ ее как из  $\mathcal{Q}$ , так и из  $Z$ , и получим кубильяж  $\mathcal{Q} - \mathcal{P}$  зонотопа  $Z(n - 1, d)$ . Если этот кубильяж  $\mathcal{Q} - \mathcal{P}$  стандартный, тогда и  $\mathcal{Q}$  - стандартный, вопреки предположению. Поэтому кубильяж  $\mathcal{Q} - \mathcal{P}$  зонотопа  $Z(n - 1, d)$  не стандартный, и по индукции мы можем сделать в нем (а поэтому и в  $Z$ ) понижающий флип.

Таким образом мы можем считать, что перегородка  $\mathcal{P}$  не примыкает к невидимой части границы зонотопа  $Z$ , и за этой перегородкой реально есть кубы. Возьмем среди таких кубов (строго за перегородкой  $\mathcal{P}$ ) минимальный куб  $Q$  относительно естественного порядка  $\preceq$  на  $\mathcal{Q}$ . Этот куб всей видимой стороной примыкает к перегородке  $\mathcal{P}$ . И если мы добавим к этому кубу  $Q$  все кубы из перегородки  $\mathcal{P}$ , которые примыкают к  $Q$ , мы получим желаемый подзонотоп  $Z_0$  (капсид). В самом деле, эти кубы устроены как суммы отрезка  $[-v_n, 0]$  на видимые фасеты  $Q$ . И мы получаем подзонотоп типа  $Bn$ , где  $B$  - тип куба  $Q$ . Это как раз такой набор кубов, с которым можно делать понижающий флип, см. раздел 8.  $\square$

В результате такого понижающего флипа с участием цвета  $n$  мы передвигаем (отодвигаем) перегородку цвета  $n$  ‘на один куб’ по направлению к невидимой границе зонотопа  $Z$ . Двигаясь так шаг за шагом, мы передвинем эту перегородку вплотную к невидимой границе  $Z$ . Однако мы могли бы сделать это сразу, за один ‘большой’ шаг. Для этого обозначим через  $\mathcal{Q}_+$  множество кубов нашего кубильяжа  $\mathcal{Q}$ , расположенных ЗА перегородкой  $\mathcal{P} = \mathcal{P}_n$ . После этого ‘сдвинем’ весь этот набор кубов  $\mathcal{Q}_+$  на вектор  $-v_n$ . В результате это множество передвинется вплотную к передней (видимой) границе перегородки  $\mathcal{P}$  и образует кубильяж зонотопа  $Z(n - 1, d)$ . Если мы добавим к этому зонотопу произведение (сумму) его невидимой границы на отрезок  $[0, v_n]$  (иными словами, сделаем эспансию этого кубильяжа вдоль ‘задней’ мембраны зонотопа  $Z(n - 1, k)$  по цвету  $n$ ), мы получим исходной зонотоп  $Z$  и новый его кубильяж, в котором новая перегородка  $\mathcal{P}'$  цвета  $n$  примыкает к невидимой стороне  $Z$ . Такую ‘крупную’ перестройку кубильяжа можно было бы назвать ‘большим флипом’, или *обвалом*, см. рис. 14.

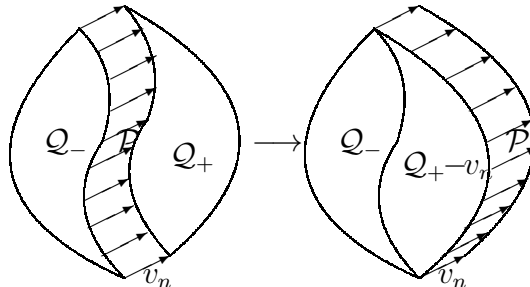


Рис. 14: обвал

В результате такого обвала мы получаем кубильяж  $\tilde{\mathcal{Q}}$  зонотопа  $\tilde{Z} = Z(n - 1, d)$ .

С ним можно проделать такую же операцию подъема перегородки цвета  $n - 1$ , и так далее. Эту последовательность из  $n$  обвалов можно назвать *стандартизацией* кубильяжа  $\mathcal{Q}$ , потому что после каждого шага (обвала) кубильяж становится ‘все более стандартным’, а в конце процесса – полностью стандартным. Главное преимущество стандартизации – ее каноничность; если понижающие флипы мы могли делать в разных местах и в разной последовательности, то обвалы определены однозначно.

Симметрично можно делать ‘антистандартизацию’ кубильяжа, прижимая (на первом шаге) перегородку  $\mathcal{P}$  к видимой границе зонотопа  $Z(n, d)$  и продолжая в таком же духе; в результате через  $n$  шагов мы получим антистандартный кубильяж.

Уже говорилось, как с помощью флипов вводится порядок  $\leq$  на множестве  $\mathbf{Q}(n, d)$  кубильяжей зонотопа  $Z(n, d)$ . А именно, мы полагаем  $Q \leq Q'$ , если от  $Q$  до  $Q'$  можно добраться с помощью последовательности повышающих флипов. Циклов при этом быть не может, так что это отношение  $\leq$  действительно является отношением частичного порядка на множестве  $\mathbf{Q}(n, d)$ . Фактически, именно этот посет Манин и Шехтман называли *высшим порядком Брюа* и обозначали  $B(n, d)$ . Теорема 1 говорит, что этот посет обладает минимальным (стандартный кубильяж) и максимальным (антистандартный кубильяж) элементами. Подобные посеты часто оказываются решетками. И действительно, первый посет Брюа  $B(n, 1)$  (т. н. *слабый порядок Брюа*) является решеткой. При малых  $n$  посет  $B(n, 2)$  тоже решетка (см. рисунок посета  $B(5, 2)$  в [19]), но уже  $B(6, 2)$  не является решеткой, [10]. Более того, этот посет в общем случае не есть посет вершин многогранника, [19]. И все же это градуированный (ранговый) посет.

## 13 Мембраны в зонотопе

До сих пор мы занимались мембранами в кубильяже. Теперь мы введем более общее понятие *мембраны в зонотопе*  $Z = Z(n, k)$ . Это снова  $(d - 1)$ -мерный кубический комплекс  $\mathcal{M}$ , расположенный в  $Z(n, k)$ , причем выполнены два свойства (заимствованные у мембран в кубильяжах):

- 1)  $\mathcal{M}$  (точнее, тело  $\mathcal{M}$ ) проектируется биективно на  $Z' = Z(n, d - 1)$ ,
- 2) ребра  $\mathcal{M}$  конгруэнтны векторам  $v_i$  (впрочем, при  $d > 2$  это выводится из свойства 1) примерно как в Лемме 1).

Проекция кубов из  $\mathcal{M}$  дают  $(d - 1)$ -мерный кубильяж зонотопа  $Z'$ , который мы снова обозначаем как  $\mathcal{Q}' = \pi(\mathcal{M})$ . Обратно, если  $\mathcal{Q}'$  – кубильяж зонотопа  $Z'$ , мы можем (единственным способом) построить мембрану  $\mathcal{M}$ , для которой  $\mathcal{Q}' = \pi(\mathcal{M})$ . Делается это так. Для любой вершины  $v'$  кубильяжа  $\mathcal{Q}'$  мы задаем вершину  $v$  как  $\sum_{i \in sp(v')} v_i$ . После этого организуем эти вершины в кубильяж, повторяя организацию в кубы вершин  $v'$  кубильяжа  $\mathcal{Q}'$ . Или чуть иначе: мы строим мембрану  $\mathcal{M}$  (точнее – тело этой мембраны) как некоторое естественное (кусочно линейное) сечение зонотопа  $Z'$  (сечение относительно проекции  $\pi$ ). Как уже говорилось, каждая точка кубильяжа  $\mathcal{Q}'$  однозначно записывается через вектора  $v'_i$ ; остается переписать это через  $v_i$ . Тем самым,

Множество  $\mathbf{M}(n, d)$  мембран в зонотопе  $Z = Z(n, d)$  отождествляется с множеством  $\mathbf{Q}(n, d - 1)$  кубильяжей зонотопа  $Z(n, d - 1)$ .

Поясним на примере  $d = 3$ . Кубильяж зоногона  $Z' = Z(n, 2)$  - это ромбической тайлинг, чисто двумерная фигура. Переход к мембране в  $Z = Z(n, 3)$  делает ее более рельефной: это как переход от плоского чертежа к трехмерному макету. Флипы, выглядящие как искусственные перетасовки ромбов, превращаются в более наглядные изгибания пленок-мембран. Однако пока наши мембраны 'висят в воздухе'. Следующее утверждение исправляет этот дефект.

**Теорема 2** Для любой мембраны  $\mathcal{M}$  зонотопа  $Z = Z(n, d)$  существует кубильяж  $\mathcal{Q}$  этого зонотопа  $Z$ , для которого она является мембраной.

Иными словами, мембрана  $\mathcal{M}$  вписывается в некоторый кубильяж  $\mathcal{Q}$ .

Доказательство. Обозначим через  $Z_-(\mathcal{M})$  область в  $Z$  перед мембраной  $\mathcal{M}$ . Воспользуемся Теоремой 1. Делая с мембраной  $\mathcal{M}$  понижающие флопы (точнее, мы делаем флипы с кубильяжем  $\pi(\mathcal{M})$ , а потом поднимаем их на мембраны), мы получаем серию мембран, идущую от  $\mathcal{M}$  до 'передней' мембраны, то есть до видимой части границы  $Z$ . Тем самым мы получаем кубильяж области  $Z_-(\mathcal{M})$ .

Аналогично можно поступить с областью  $Z_+(\mathcal{M})$  за мембраной; вместе они дадут кубильяж: в который вписана мембрана  $\mathcal{M}$ .  $\square$

Более того, если делать каноническую стандартизацию кубильяжа  $\pi(\mathcal{M})$ , мы получим канонический (или 'стандартный') кубильяж области  $Z_-(\mathcal{M})$  в зонотопе  $Z$ . 'Стандартность' этого кубильяжа проявляется в том, что в нем нельзя сделать понижающий флип.

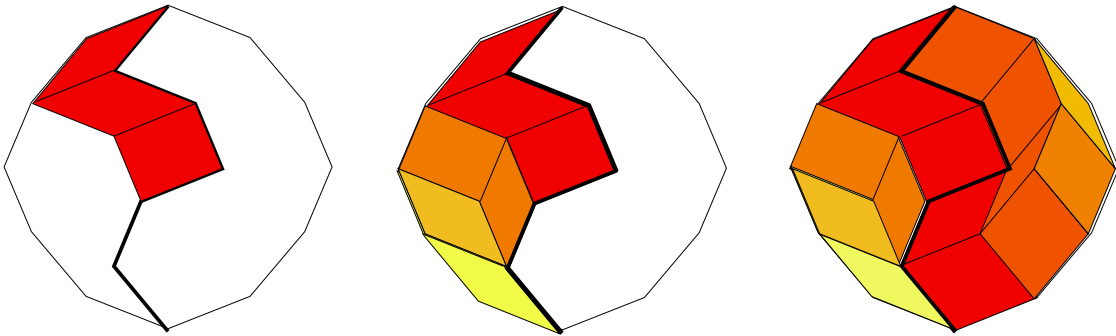


Рис. 15: Стадии канонизации. Дан ромбический тайлинг и мембрана-змейка  $\mathcal{M}$  в нем. На рис. слева изображен первый шаг стандартизации области перед мембраной - построение части перегородки цвета б. На рис. в центре уже завершено построение всех перегородок в области перед мембраной, то есть показана стандартизация этой области. На рис. справа показана (анти)стандартизация области за мембраной.

Симметрично можно поступить с областью  $Z_+(\mathcal{M})$ , расположенной в  $Z$  после мембраны  $\mathcal{M}$ . Мы получим каноническое ('антистандартное') заполнение этой

области. Объединяя эти два кубильяжа, мы получаем кубильяж  $\mathcal{Q}$  уже всего зонотопа  $Z$ , в котором  $\mathcal{M}$  является мембраной. Мы называем этот стандартно-антистандартный кубильяж зонотопа  $Z$  *каноническим расширением* мембраны  $\mathcal{M}$  (или *каноническим подъемом* кубильяжа  $\pi(\mathcal{M})$ ).

**Замечание.** Рассуждая как при доказательстве Теоремы 1, можно показать, что если кубильяж области  $Z_-(\mathcal{M})$  отличен от стандартного (см. выше), то в нем можно сделать понижающий флип. Это показывает, что кубильяжи области  $Z_-(\mathcal{M})$  (как и кубильяжи всего зонотопа) связаны флипами. Аналогичное замечание верно и для кубильяж области  $Z_+(\mathcal{M})$ .

Мембраны служат как бы средством, связывающим кубильяжи соседних размерностей. Кубильяж  $\mathcal{Q}$  представляется ‘сетью’ мембран, а тем самым ‘сетью’ кубильяжей на 1 меньшей размерности. Напомним, что  $\mathbf{Q}(n, d)$  – это множество кубильяжей зонотопа  $Z(n, d)$ . Скажем, что кубильяжи  $\mathcal{Q}$  из  $\mathbf{Q}(n, d)$  и  $\mathcal{Q}'$  из  $\mathbf{Q}(n, d-1)$  *согласованы*, если  $\mathcal{Q}'$  поднимается до мембраны  $\mathcal{M}$  в  $\mathcal{Q}$  (так что  $\mathcal{Q}' = \pi(\mathcal{M})$ ). Отношение согласованности можно рассматривать как соответствие  $c$  из  $\mathbf{Q}(n, d)$  в  $\mathbf{Q}(n, d-1)$ . Описанный выше канонический подъем кубильяжей задает сечение  $\text{can} : \mathbf{Q}(n, d-1) \rightarrow \mathbf{Q}(n, d)$  этого соответствия  $c$ .

Обилие связей между кубильяжами побуждает взглянуть на них с категорной точки зрения. Мы поговорим об этом в Дополнении 1 про поликатегории.

## ЧАСТЬ ВТОРАЯ, КОМБИНАТОРНАЯ

Под комбинаторным подходом к кубильяжам мы понимаем изучение систем подмножеств базисного множества  $[n]$ , генерируемых кубильяжами. Мы уже встречались с этим, когда рассматривали типы кубов кубильяжа. Однако если брать только типы кубов, то любой кубильяж дает все множество-грассманиан  $\binom{[n]}{d} = Gr([n], d)$ . Чтобы отразить специфику конкретного кубильяжа  $\mathcal{Q}$ , нужно перенести на  $Gr([n], d)$  естественный порядок  $\preceq_{\mathcal{Q}}$ . Это перебрасывает мост между геометрическим подходом и подходом, который использовали Манин с Шехтманом [8, 14] и Циглер [10]. Напомним, что Манин и Шехтман, создатели высших порядков Брюа, работали именно в терминах порядков на  $Gr([n], d)$ .

Другой выход в комбинаторику открывает понятие спектра. Если мы соберем в одну систему  $Sp(\mathcal{Q})$  спектры всех вершин кубильяжа  $\mathcal{Q}$ , то получим интересную систему подмножеств в  $[n]$ . Главное свойство таких систем – свойство разделенности, впервые обнаруженное Леклерком и Зелевинским [6] в случае  $d = 2$  и обобщенное и исследованное затем Галашиным и Постниковым [11, 12].

В процессе работы нам постоянно придется иметь дело с подмножествами и системами подмножеств в  $[n]$ . Само базисное множество  $[n]$  можно понимать как аналог  $n$ -мерного векторного пространства (над произвольным полем, или над ‘полем’  $\mathbf{F}_1$  из одного элемента). С этой точки зрения подмножество в  $[n]$  размера  $k$  надо понимать как аналог векторного подпространства размерности  $k$ . Из-за этого множество всех подмножеств размера  $k$  мы называем ‘дискретным грассманианом’ и обозначаем  $Gr([n], k)$  (вместо обычного обозначения  $\binom{[n]}{k}$ ). Аналогом полного

флага подпространств служит неуплотняемая цепь подмножеств в  $[n]$ , то есть фактически линейный порядок на  $[n]$ . Напомним, что мы рассматриваем  $[n]$  как множество (цепь) с естественным порядком ( $1 < 2 < \dots < n$ ), что означает, что мы как бы фиксируем некоторый полный флаг.

Для удобства идентификации элементы базисного множества  $[n]$  мы называем *цветами* и используем обычно буквы  $i, j$  и т.д.; подмножества в  $[n]$  обозначаются буквами  $X, Y$  и т.д. и называются часто просто множествами. Для краткости множество вида  $X \cup \{i\}$  обозначается обычно как  $Xi$ . Подмножества в  $2^{[n]}$  называются *системами множеств* и обозначаются рукописными буквами (типа  $\mathcal{S}$  или  $\mathcal{X}$ ).

## 14 Допустимые порядки

Если  $Q$  – куб некоторого кубильяжа  $\mathcal{Q}$  зонотопа  $Z(n, d)$ , то он определяет (и определяется) двумя множествами: спектром нижней (корневой) вершины  $b(Q)$ ,  $sp(b(Q)) \subset [n]$ , и типом  $\tau(Q) \subset [n]$ . Эти два подмножества не пересекаются, и второе имеет размер  $d$ . Фактически это уже упоминавшаяся кодировка знаковыми векторами;  $Q \mapsto \frac{\tau(Q)}{sp(b(Q))}$ . Согласно Предложению 1, отображение типа  $\tau$  задает биекцию множества  $\mathcal{Q}$  всех кубов кубильяжа  $\mathcal{Q}$  с грассманианом  $Gr([n], d)$ . Если перенести с помощью этой биекции  $\tau$  естественный порядок  $\preceq$  на  $\mathcal{Q}$  (см. раздел 9), мы получим некоторый порядок  $\preceq_{\mathcal{Q}}$  на грассманиане  $Gr([n], d)$ .

**Предложение 12** *Порядок  $\preceq_{\mathcal{Q}}$  определяет кубильяж  $\mathcal{Q}$ .*

Иначе говоря, он позволяет однозначно восстановить кубильяж.

*Доказательство.* Пусть есть два кубильяжа  $\mathcal{Q}_1$  и  $\mathcal{Q}_2$  зонотопа  $Z = Z(n, d)$  с одним и тем же порядком на  $Gr([n], d)$ . И пусть  $\mathcal{S}$  – (порядковый) идеал в  $Gr([n], d)$ ; покажем индукцией по размеру  $\mathcal{S}$ , что кубы (в  $\mathcal{Q}_1$  и  $\mathcal{Q}_2$ ), соответствующие  $\mathcal{S}$  (то есть  $\tau^{-1}(\mathcal{S})$ ), расположены в  $Z$  одинаково. Пусть  $K \in Gr([n], d)$  – максимальный элемент в  $\mathcal{S}$ , и  $\mathcal{S}' = \mathcal{S} - \{K\}$ . По индуктивному предположению кубы, соответствующие  $\mathcal{S}'$ , расположены в  $Z$  одинаково. И лежат в ‘передней’ части относительно некоторой мембраны  $\mathcal{M}'$ . Тогда куб  $Q_1$  (в  $\mathcal{Q}_1$  с типом  $K$ ) примыкает всей своей видимой границей к определенному участку (капсиду) этой мембраны  $\mathcal{M}'$ , точно так же, как и куб  $Q_2$  (из  $\mathcal{Q}_2$  с типом  $K$ ). То есть они примыкают к одному и тому же участку  $\mathcal{M}'$  и потому совпадают.  $\square$

Можно пояснить это и чуть иначе. Пусть  $Q_1$  (соотв.,  $Q_2$ ) – кубы в кубильяжах  $\mathcal{Q}_1$  (соотв.,  $\mathcal{Q}_2$ ) с одним и тем же типом (скажем,  $K$ ). И пусть  $b_1 = b(Q_1)$  и  $b_2 = b(Q_2)$  – их корневые вершины. Достаточно показать, что  $b_1 = b_2$ . Возьмем какую-нибудь видимую фасету  $F_1$  куба  $Q_1$  (с типом  $K - i$  для некоторого  $i \in K$ ), и рассмотрим часть тоннеля типа  $K - i$ , идущую от  $F_1$  и передней границе зонотопа  $Z$ . Мы не знаем, как проходит этот тоннель, но мы знаем, что он составлен из кубов  $Q$ , которые а) лежат в идеале  $\mathcal{S}$ , и б) содержат  $K - i$  в своем типе  $\tau(Q)$ . Этот тоннель выходит к передней части границы  $Z$  по единственной фасете  $\tilde{F}$  типа  $K - i$ . Обозначим его корневую вершину как  $\tilde{b}$ . Тогда мы получаем, что  $b_1 = \tilde{b} + \sum_j (\pm)v_j$ , где сумма берется по тем  $j$ , что  $K - i + j$  принадлежит  $\mathcal{S}$ . Знаки

же определяются как знаки определителя  $\det(\dots v_k \dots v_j)$ , где  $k$  пробегает  $K - i$ . Так как это выражение зависит от  $K - i$  и от  $\mathcal{S}$ , но не от  $\mathcal{Q}$ , то  $b_2 = b_1$ .

Полученное утверждение поднимает вопрос о том, какими условиями выделяются порядки вида  $\preceq_{\mathcal{Q}}$ . Одно такое условие подсказывает Предложение 9 раздела 10. Назовем *родителем* подмножество  $K$  в  $[n]$  размера  $d + 1$ , а его *семьей* – систему  $\mathcal{F}(K)$  подмножеств размера  $d$  в  $K$ . (Иначе говоря, это образ  $Gr(K, d)$  в  $Gr([n], d)$  при естественном вложении. Манин и Шехтман называли это *накетом*.) У семьи есть два выделенных линейных порядка, а именно, лексикографический  $\preceq_{lex}$  и противоположный к нему антилексикографический  $\preceq_{alex}$ . Если  $K = \{i_1 < i_2 < \dots < i_{d+1}\}$ , то лексикографический порядок  $\preceq_{lex}$  на  $\mathcal{M}(k)$  имеет вид

$$K - i_{d+1} < K - i_d < \dots < K - i_1,$$

а антилексикографический – противоположный.

**Определение.** Частичный порядок  $\preceq$  на  $Gr([n], d)$  называется *допустимым*, если его ограничение на любую семью  $\mathcal{F}(K)$  (где  $K$  – произвольное множество размера  $d + 1$ ) есть лексикографический или антилексикографический порядок.

Разумеется, любое усиление допустимого порядка также допустимо. В частности, любое линейное расширение. Манин и Шехтман работали именно с линейными допустимыми порядками.

В этих терминах Предложение 9 утверждает, что порядок на  $Gr([n], d)$ , индуцированный некоторым кубильяжем, допустим. Оказывается, это условие не только необходимое, но и в каком-то смысле достаточное.

**Теорема 3** Пусть  $\preceq$  – допустимый порядок на  $Gr([n], d)$ . Тогда существует (и притом единственный, см. Предложение 12) кубильяж  $\mathcal{Q}$ , такой что  $\preceq$  – усиление  $\preceq_{\mathcal{Q}}$ .

Чтобы сделать идею доказательства более понятной, представим, что порядок  $\preceq$  уже происходит из кубильяжа  $\mathcal{Q}$ . Пусть  $\mathcal{P}$  – перегородка цвета  $n$ ; произведем редукцию цвета  $n$ . В результате перегородка сожмется на мембрану  $\mathcal{M}$ , а кубильяж  $\mathcal{Q}$  редуцируется в кубильяж  $\mathcal{Q}' = \mathcal{Q}_{-n}$  зонотопа  $Z' = Z(n - 1, d)$ .  $\mathcal{Q}'$  как множество кубов естественно вкладывается в  $\mathcal{Q}$ . И ограничение естественного порядка кубильяжа  $\mathcal{Q}$  на  $\mathcal{Q}'$  сильнее естественного порядка на  $\mathcal{Q}'$  (Предложение 7 из раздела 9). Так что ограничение  $\preceq$  на  $Gr([n - 1], d)$  – допустимый порядок, и по индукции мы можем восстановить  $\mathcal{Q}'$ . Остается восстановить еще и мембрану  $\mathcal{M}$ . Но она задается множеством (типов) кубов, расположенных в  $\mathcal{Q}'$  до мембраны. Или, что то же самое, множеством кубов, расположенных в  $\mathcal{Q}$  до перегородки. Пусть  $Q$  – такой куб, и  $T \subset [n - 1]$  – его тип. Рассмотрим родителя  $K = Tn$  и его семью как набор кубов в  $\mathcal{Q}$ . Эта семья ‘начинается’ с  $Q$  и затем идут кубы из перегородки  $\mathcal{P}$ , так как их типы содержат цвет  $n$ . Из этого следует, что  $Q$  – минимальный член этой семьи. Напротив, если куб  $Q$  взят за перегородкой, то  $Q$  – максимальный член семьи. Таким образом, кубы (в  $\mathcal{Q}'$ ) до мембраны  $\mathcal{M}$  – это те кубы, тип которых  $T$  минимален в семье с родителем  $Tn$ . (Все это пояснение можно рассматривать как третье доказательство Предложения 12.)

Теперь перейдем к доказательству, которое представляет собой обращение предыдущих аргументов. Мы начинаем с допустимого порядка  $\preceq$  на  $Gr([n], d)$ . Ограничиваем его на  $Gr([n-1], d) \subset Gr([n], d)$ ; очевидно, что это снова допустимый порядок на  $Gr([n-1], d)$ . По индукции он происходит из некоторого кубильяжа  $\mathcal{Q}'$  зонотопа  $Z' = Z(n-1, d)$ . Теперь образуем подмножество  $\mathcal{T}$  в  $Gr([n-1], d)$ , состоящее из таких  $T$ , что ограничение  $\preceq$  на семью  $\mathcal{F}(Tn)$  родителя  $Tn$  – лексикографический порядок.

Мы утверждаем, что  $\mathcal{T}$  – идеал относительно естественного порядка  $\preceq'$  на  $\mathcal{Q}'$ . В самом деле, пусть  $Q \in \mathcal{T}$  и  $R \prec Q$ , то есть  $R$  непосредственно предшествует кубу  $Q$  в кубильяже  $\mathcal{Q}'$  (см. раздел 9). Нужно показать, что  $R$  тоже принадлежит  $\mathcal{T}$ . Предположим противное, что ограничение  $\preceq$  на семью родителя  $\tau(R)n$  – антилексикографический порядок. В частности,  $\tau(R)$  – максимальный элемент в семье  $\mathcal{F}(\tau(R)n)$ . В свою очередь,  $\tau(Q)$  – минимальный элемент в семье  $\mathcal{F}(\tau(Q)n)$ . Кубы  $R$  и  $Q$  имеют общую фасету  $F$ , так что тип  $F$ ,  $\tau(F)$ , содержится как в  $\tau(R)$ , так и в  $\tau(Q)$ . Поэтому множество  $\tau(F)n$  лежит как в семье  $\mathcal{F}(\tau(R)n)$ , так и в семье  $\mathcal{F}(\tau(Q)n)$ . Отсюда следует, что  $\tau(Q) \preceq \tau(F)n \preceq \tau(R)$  и по транзитивности  $\tau(Q) \preceq \tau(R)$ . Но это противоречит тому, что  $R \prec Q$  и, следовательно,  $\tau(R) \prec \tau(Q)$ .

Итак,  $\mathcal{T}$  – идеал в  $\mathcal{Q}'$ . Этот идеал определяет мембрану  $\mathcal{M}$  в  $\mathcal{Q}'$ ; делая экспансию цвета  $n$  в этой мембране, мы получаем кубильяж  $\mathcal{Q}$  (см. Предложение 4 раздела 6). Остается убедиться, что исходное отношение  $\preceq$  сильнее, чем отношение  $\preceq_{\mathcal{Q}}$ . То есть если куб  $R$  непосредственно предшествовал кубу  $S$  в кубильяже  $\mathcal{Q}$ ,  $R \prec S$ , то  $\tau(R) \preceq \tau(S)$ .

Это очевидно, если  $R$  и  $S$  лежат в  $\mathcal{Q}'$ . Это почти очевидно, если один из кубов лежит в перегородке  $\mathcal{P}$  (полученной экспансией мембраны  $\mathcal{M}$ ), а другой – нет. Пусть, к примеру,  $S$  лежит в перегородке, а  $R$  – нет. Тогда куб  $R$  расположен до перегородки. По построению идеала  $\mathcal{T}$  семья  $\mathcal{F}(\tau(R) \cup \tau(S))$  ‘лексикографическая’, и  $\tau(R)$  – минимальный член этой семьи, откуда  $\tau(R) \preceq \tau(S)$ .

Осталось рассмотреть случай, когда  $R$  и  $S$  лежат в перегородке. Делая редукцию всех цветов, не вошедших в  $\tau(R) \cup \tau(S)$ , мы можем считать, что наш кубильяж  $\mathcal{Q}$  – один из двух кубильяжей капсида, где утверждение очевидно в силу результатов раздела 10. Это завершает доказательство теоремы 3.  $\square$

Теорема 3 перебрасывает мостик между геометрическим подходом (кубильяжами) и подходом Манина-Шехтмана, основанным на рассмотрении допустимых порядков на грассманианах  $Gr([n], d)$ . Существование такой связи было анонсировано в работе Воеводского и Капранова [9] и более обстоятельно изложено в [20, Theorem 2.1].

Некоторое неудобство описания кубильяжей через допустимые порядки состоит в том, что разные порядки могут приводить к одному кубильяжу. Мы уже отмечали, что если  $\preceq$  – допустимый порядок, то любое его усиление  $\preceq'$  тоже допустимый порядок и задает тот же кубильяж, что и  $\preceq$ . Чтобы восстановить однозначность, можно работать с минимальными допустимыми порядками. Конечно, это в точности порядки, порожденные (в смысле транзитивного замыкания) ограничениями на всевозможные семьи в  $Gr([n], d)$ . Такие минимальные допустимые порядки задаются указанием для каждого родителя (множества  $K$  размера  $d+1$ ), лексикографически или антилексикографически упорядочена семья  $\mathcal{F}(K)$  этого

родителя. Иначе говоря, отображением  $\sigma : Gr([n], d + 1) \rightarrow \{+, -\}$ , где  $+$  соответствует лексикографии. Конечно, это назначение  $\sigma$  не может быть произвольным; надо, чтобы в результате получалось ацикличное отношение (ср. с Предложением 6). Вопрос о том, какие назначения дают ацикличность (и, следовательно, приводят к кубильяжам) мы обсудим в следующем разделе.

## 15 Инверсии

Раздел 13 позволяет рассматривать кубильяжи зонотопа  $Z(n, d - 1)$  как мембраны в зонотопе  $Z(n, d)$  на единицу большей размерности. Это открывает еще один способ задания кубильяжей.

Пусть  $\mathcal{Q}'$  – кубильяж зонотопа  $Z' = Z(n, d - 1)$ . Реализуем его как мембрану  $\mathcal{M} = \mathcal{M}(\mathcal{Q}')$  в зонотопе  $Z = Z(n, d)$ . Согласно Теореме 2, существует (и как правило, не один) кубильяж  $\mathcal{Q}$  зонотопа  $Z$ , в который вписана мембрана  $\mathcal{M}$ . Эта мембрана делит кубы кубильяжа  $\mathcal{Q}$  на расположенные до  $\mathcal{M}$  и после  $\mathcal{M}$ . Кубы, расположенные до мембраны  $\mathcal{M}$ , соберем в множество  $\mathcal{Q}_-(\mathcal{M})$ . Это множество зависит, конечно, от кубильяжа  $\mathcal{Q}$ , содержащего мембрану  $\mathcal{M}$ . Однако множество типов кубов из  $\mathcal{Q}_-(\mathcal{M})$  уже зависит только от мембраны  $\mathcal{M}$ , но не от  $\mathcal{Q}$ . Это видно из следующей леммы.

**Лемма 3** Пусть  $Q$  – куб кубильяжа  $\mathcal{Q}$ , расположенный до (соотв., после) мембраны  $\mathcal{M}$ , и  $K = \{k_1 < k_2 < \dots < k_d\}$  – тип куба  $Q$ . Тогда существует вершина  $v$  мембраны  $\mathcal{M}$ , такая что  $K \cap sp(v) = \{k_d, k_{d-2}, \dots\}$  (соотв.,  $K \cap sp(v) = \{k_{d-1}, k_{d-3}, \dots\}$ ).

*Доказательство.* Произведем редукцию всех цветов, отличных от цветов  $K$ . В результате мы получим зонотоп  $Z' = Z(K, d)$  (состоящий из единственного куба  $Q = Z'$ ) и мембрану  $\mathcal{M}'$  в  $Z'$ . Пусть  $Q$  располагался до мембраны  $\mathcal{M}$ ; тогда куб  $Q = Z'$  тоже располагается до мембраны  $\mathcal{M}'$ , то есть мембрана  $\mathcal{M}'$  – это невидимая часть границы  $Q$ . Пусть теперь  $v'$  – это ‘голова’  $h(Q)$  куба  $Q$  (см. раздел 7); как мы знаем, ее спектр равен  $\{k_d, k_{d-2}, \dots\}$ . Пусть  $v$  – ‘прообраз’  $v'$  в мембране  $\mathcal{M}$ , то есть та вершина мембраны  $\mathcal{M}$ , которая редуцировалась в  $v'$ . Ясно, что  $sp(v)$  отличается от  $sp(v')$  только цветами, не входящими в  $K$ , откуда  $sp(v) \cap K = \{k_d, k_{d-2}, \dots\}$ .

Аналогично рассуждаем в случае, когда  $K$  располагается после мембраны.  $\square$

**Замечание.** Менее техническое рассуждение такое. Кубильяжи области в зонотопе  $Z(n, d)$ , расположенной перед мембраной  $\mathcal{M}$ , могут быть получены друг из друга с помощью флипов (см. замечание из раздела 13). А флипы не меняют типы кубов, но лишь переставляют их.

Пусть  $\mathcal{Q}$  – кубильяж зонотопа  $Z(n, d)$ ,  $\mathcal{M}$  – соответствующая мембрана в зонотопе  $Z(n, d + 1)$  (так что  $\mathcal{Q} = \pi(\mathcal{M})$ ), а  $\mathcal{Q}'$  – некоторый кубильяж  $Z(n, d + 1)$ , содержащий мембрану  $\mathcal{M}$  (такой существует по Теореме 2).

**Определение.** Системой инверсий  $Inv(\mathcal{Q})$  кубильяжа  $\mathcal{Q}$  называется система  $\tau(\mathcal{Q}_-(\mathcal{M}))$  в  $Gr([n], d + 1)$  (независящая от выбора  $\mathcal{Q}'$  в силу Леммы 3). Система  $Inv(\mathcal{Q})$  обозначается также как  $Inv(\mathcal{M})$ .

То же рассуждение, как при доказательстве Леммы 3 (с редукцией всех цветов, не входящих в тип куба  $\mathcal{Q}$ ), дает еще одно описание системы инверсий:

**Предложение 13** *Родитель  $T \in Gr([n], d+1)$  принадлежит  $Inv(\mathcal{Q})$  тогда и только тогда, когда семья этого фатера в  $Gr([n], d)$  упорядочена отношением  $\preceq_{\mathcal{Q}}$  антилексикографически.*

Или

$Inv(\mathcal{Q}) = \{T \in Gr([n], d+1), \text{ ограничение } \preceq_{\mathcal{Q}} \text{ на } Gr(T, d) \text{ – антилексикография}\}.$

Например, система  $Inv$  для стандартного кубильяжа пустая. Напротив,  $Inv$  для антистандартного кубильяжа – все  $Gr([n], d)$ . Когда мы делаем повышающий флип в кубильяже  $\mathcal{Q}$ , мы добавляем к домембранным кубам еще один куб. Так что при этом система  $Inv(\mathcal{Q})$  увеличивается на один элемент.

Важное свойство системы инверсий  $Inv(\mathcal{Q})$  в том, что она позволяет однозначно восстановить кубильяж  $\mathcal{Q}$ .

**Предложение 14** *Отображение  $Inv : \mathcal{Q}(n, d) \rightarrow 2^{Gr([n], d+1)}$  инъективно.*

Доказательство. Из Предложения 13 следует, что порядок  $\preceq_{\mathcal{Q}}$  определяет  $\mathcal{Q}$ . Но порядок  $\preceq_{\mathcal{Q}}$  порождается порядками на семьях, а система  $Inv(\mathcal{Q})$  как раз и показывает, какая семья упорядочена антилексикографически.  $\square$

Как в предыдущем разделе, это поднимает вопрос о том, какие системы в  $Gr([n], d)$  являются ‘инверсными’, то есть происходят (с помощью  $Inv$ ) из кубильяжей  $Z(n, d-1)$ . Вопрос был решен Циглером в статье [10] (хотя фундамент для решения был заложен в более ранней работе Лас Вернаса [21]). Введем следующее

**Определение.** Множество  $\mathcal{S}$  в  $Gr([n], d)$  называется *консистентным*, если для любого  $T \subset [n]$  размера  $d+1$  семья  $\mathcal{F}(T)$  этого родителя пересекается с  $\mathcal{S}$  по начальному или конечному отрезку  $\mathcal{F}(T)$  (семья  $\mathcal{F}(T)$  располагается в лексикографическом порядке).

**Лемма 4** *Для любой мембраны  $\mathcal{M}$  в  $Z(n, d)$  система  $Inv(\mathcal{M})$  образует консистентное подмножество в  $Gr([n], d)$ .*

Доказательство. Включим мембрану  $\mathcal{M}$  в кубильяж  $\mathcal{Q}$  зонотопа  $Z = Z(n, d)$ , и пусть  $\preceq$  – естественный порядок на  $\mathcal{Q}$ , а  $\preceq_{\mathcal{Q}}$  – соответствующий (допустимый) порядок на грассманиане  $Gr([n], d)$ . Мы знаем из раздела 11, что  $Inv(\mathcal{M})$  – это идеал относительно  $\preceq_{\mathcal{Q}}$ . С другой стороны, для любой семьи  $\mathcal{F}(T)$  порядок  $\preceq_{\mathcal{Q}}$  индуцирует лексикографию или антилексикографию. В первом случае пересечение  $Inv(\mathcal{M})$  с  $\mathcal{F}(T)$  будет идеалом относительно лексикографического порядка, то есть начальным отрезком. Во втором – идеалом относительно противоположного порядка, то есть конечным отрезком.  $\square$

**Теорема 4** *Обратно, пусть  $\mathcal{S}$  – консистентная система в  $Gr([n], d)$ . Тогда существует мембрана  $\mathcal{M}$  в зонотопе  $Z = Z(n, d)$ , для которой  $\mathcal{S} = Inv(\mathcal{M})$ .*

Мембрана  $M$  единственна, согласно Предложению 14.

Доказательство. Рассмотрим подсистему  $S'$  в  $\mathcal{S}$ , состоящую из множеств  $S \in \mathcal{S}$ , не содержащих цвет  $n$ . Система  $S'$  лежит в  $Gr([n-1], d)$  и тоже консистентна. Поэтому по индукции  $S'$  реализуется некоторой мембраной  $M'$  в  $Z' = Z([n-1], d)$ , так что  $S' = Inv(M')$ . Дополним эту мембрану до кубильяжа  $\mathcal{Q}'$  зонотопа  $Z'$  (Теорема 2). И затем сделаем экспансию по цвету  $n$  мембраны  $M'$  в  $\mathcal{Q}'$ . Мы получаем кубильяж  $\mathcal{Q}$  зонотопа  $Z$ , редукция которого  $\mathcal{Q}_{-n}$  равна  $\mathcal{Q}'$ ; в частности, мембрана  $M'$  ‘утолщается’ до перегородки  $\mathcal{P}$  в  $\mathcal{Q}$  цвета  $n$ . Кубы кубильяжа  $\mathcal{Q}$ , типы которых принадлежат  $\mathcal{S} - S'$ , лежат в  $\mathcal{P}$ .

Мы утверждаем, что  $\mathcal{S}$  является *стэком (идеалом)* в кубильяже  $\mathcal{Q}$ ; в этом случае  $M$  – это мембрана, соответствующая стэку  $\mathcal{S}$ . Для этого нужно проверить, что если  $R \prec S$  – два куба из перегородки  $\mathcal{P}$ , и  $S$  принадлежит  $\mathcal{S}$ , то и  $R$  принадлежит  $\mathcal{S}$ . Но кубы  $R$  и  $S$  соседние, поэтому объединение их типов, то есть  $T = \tau(R) \cup \tau(S)$  имеет размер  $d+1$ . Рассмотрим семью  $\mathcal{F}$  этого родителя  $T$ , расположенную лексикографически. Минимальным элементом (‘начальным членом’) этой семьи служит множество  $T-n$ ; пусть  $Q$  – куб в  $\mathcal{Q}$  с типом  $T-n$ . Этот куб не принадлежит перегородке  $\mathcal{P}$ , поэтому он лежит либо до перегородки, либо после нее.

Рассмотрим случай, когда  $Q$  лежит до перегородки. Тогда в естественном порядке  $\preceq$  на  $\mathcal{Q}$  это минимальный элемент, и семья  $\mathcal{F}$  упорядочена лексикографически. В силу консистентности  $\mathcal{S}$  весь интервал между  $\tau(Q) = T-n$  и  $\tau(S)$  принадлежит  $\mathcal{S}$ , и, в частности, множество  $\tau(R)$ . Так что  $R$  принадлежит  $\mathcal{S}$ .

Аналогично рассматривается случай, когда  $Q$  лежит после перегородки. В этом случае  $Q$  – максимальный элемент (относительно ограничения  $\preceq$  на семью  $\mathcal{F}$ ), и  $\tau(Q)$  не принадлежит  $\mathcal{S}$ . Значит естественный порядок  $\preceq$  на  $\mathcal{F}$  антилексикографический, в нем  $R$  идет после  $S$ , и снова из консистентности  $R$  принадлежит  $\mathcal{S}$ .  $\square$

Таким образом, мы имеем два эквивалентных (лучше сказать – криптоморфных) описания кубильяжей  $Z(n, d)$ : как (минимальных) допустимых порядков на  $Gr(n, d)$  (Манин-Щехтман) и как консистентных подмножеств в  $Gr(n, d+1)$  (Циглер). Имея такие описания, можно переписывать на соответствующий язык разные понятия и конструкции с кубильяжами. Например, повышающий флип соответствует увеличению консистентного множества на один элемент. Так что отношение  $\leq$  для кубильяжей (см. раздел 8) согласовано с отношением включения для консистентных множеств: если  $\mathcal{Q} \leq \mathcal{Q}'$ , то  $Inv(\mathcal{Q}) \subset Inv(\mathcal{Q}')$ . Обратное свойство верно, если  $d=1$  (классическое свойство слабого порядка Брюа) или  $d=2$  ([22, 23]), но нарушается для больших  $d$  (Циглер в [10] привел контрпример при  $d=3$ ). В следующем разделе мы приведем еще одно описание (иницированное Леклерком и Зелевинским [6] и развитое Галашиным и Постниковым [12]), в терминах систем  $Sp(\mathcal{Q})$  спектров вершин кубильяжа.

## 16 Отношение разделенности

Напомним, что с каждой вершиной  $v$  кубильяжа  $\mathcal{Q}$  зонотопа  $Z(n, d)$  мы связывали подмножество  $sp(v)$  в  $[n]$  – спектр вершины. Когда  $v$  пробегает все вершины  $\mathcal{Q}$ , мы получаем систему  $Sp(\mathcal{Q})$ , подмножество в  $2^{[n]}$ . В разделе 4 было показано, что система  $Sp(\mathcal{Q})$  однозначно определяет кубильяж  $\mathcal{Q}$ . Поэтому естественно встает вопрос – какими свойствами обладают такие системы?

Первое свойство – это ее размер. В разделе 2 было показано, что размер системы  $Sp(\mathcal{Q})$  равен  $\binom{n}{\leq d}$ . Этого, конечно, мало, чтобы характеризовать такие системы. Второе важное структурное свойство состоит в том, что любые два множества из  $Sp(\mathcal{Q})$  являются  $(d - 1)$ -разделенными.

**Определение.** Два подмножества  $X$  и  $Y$  в  $[n]$  называются  $r$ -разделенными ( $r$  – натуральное число), если не существует возрастающей цепочки (размера  $r + 2$ )  $i_0 < i_1 < \dots < i_{r+1}$ , такой что элементы с четными номерами лежат в одном из множеств  $X - Y$  или  $Y - X$ , а элементы с нечетными – в другом. Это симметричное и рефлексивное отношение обозначим как  $S_r$ . Система подмножеств называется  $r$ -разделенной, если любые два ее члена  $r$ -разделены.

Иными словами,  $X$  и  $Y$   $r$ -разделены, если множество  $[n]$  можно разбить на  $r + 1$  интервал  $I_0, \dots, I_r$  (некоторые могут быть пустыми), так что  $X - Y$  лежит в одной части этих интервалов, а  $Y - X$  – в другой части.

Такие интервалы удобно задавать ‘разделителями’ (сепараторами), то есть  $r$  точками  $c_1 \leq c_2 \leq \dots \leq c_r$  на вещественной прямой, так что интервал  $I_i$  состоит из целых точек  $x$ , удовлетворяющих неравенствам  $c_i < x < c_{i+1}$  (считая  $c_0 = 0$ ,  $c_r = n + 1$ ).

Отношения  $S_r$  слабеют с ростом  $r$ ,  $S_0 \subset S_1 \subset \dots \subset S_n$ . Рассмотрим несколько первых членов этой серии отношений.

**Пример 0.** Отношение  $X S_0 Y$  означает, что множества  $X$  и  $Y$  сравнимы по включению:  $X \subset Y$  или  $Y \subset X$ . Можно также сказать, что отношение  $S_{-1}$  это отношение равенства  $=$ .

**Пример 1.**  $S_1$  – это отношение сильной разделенности, введенное Леклерком и Зелевинским в [6]. Оно означает, что после удаления общей части либо  $X$  располагается левее  $Y$  ( $X < Y$ ), либо  $Y$  располагается левее  $X$ .

**Пример 2.**  $S_2$  – это отношение хорд-разделенности, исследованное в [11].

Отношения разделенности  $S_r$  имеют непосредственное отношение к кубильяжам. Это показывает

**Предложение 15** Пусть  $\mathcal{Q}$  – кубильяж зонотопа  $Z(n, d)$ . Тогда для любых двух вершин  $v$  и  $w$  кубильяжа  $\mathcal{Q}$  множества  $sp(v)$  и  $sp(w)$   $(d - 1)$ -разделены.

Иными словами, система  $Sp(\mathcal{Q})$   $(d - 1)$ -разделенная. Например, для любого ромбического тайлинга  $\mathcal{T}$  система  $Sp(\mathcal{T})$  1-разделена – факт, замеченный в [6]. Или другой, крайний случай. Рассмотрим, как в разделе 7, куб  $Z(d, d)$ . У него есть две ‘выступающие’ точки – хвост  $t$  и голова  $h$ . Спектр головы –  $\{d, d - 2, \dots\}$ , спектр

хвоста –  $\{d - 1, d - 3, \dots\}$ , В совокупности эти элементы, чередуясь, покрывают все  $[n]$ . Поэтому множества  $sp(h)$  и  $sp(t)$  являются  $(d - 1)$ -разделенными (но не  $(d - 2)$ -разделенными). Если же мы ‘сплющим’ (спроектируем) этот куб в капсид  $Z(d, d - 1)$ , точка  $t$  превратится во внутреннюю (центральную) точку стандартного кубильяжа зонотопа  $Z(d, d - 1)$  и, как легко проверить, будет  $(d - 2)$ -разделена со всеми другими вершинами этого кубильяжа. Но она не  $(d - 2)$ -разделена с проекцией точки  $h$ , центральной точкой другого, антистандартного кубильяжа.

Доказательство предложения 15. Предположим, что  $X = sp(v)$  и  $Y = sp(w)$  не  $(d - 1)$ -разделены. Тогда существуют элементы-цвета  $i_0 < i_1 < \dots < i_d$ , такие, что  $i_0, i_2, \dots$  принадлежат, скажем,  $X - Y$ , а  $i_1, i_3, \dots$  принадлежат  $Y - X$ . Делая редукцию по всем цветам, отличным от  $i_0, \dots, i_d$ , мы получаем кубильяж капсида  $Z(d + 1, d)$ . И в нем две точки  $v'$  и  $w'$  (образы  $v$  и  $w$  при редукции) со спектрами  $i_0, i_2, \dots$  и  $i_1, i_3, \dots$ . Но, как мы видели выше, эти точки лежат в разных кубильяжах, одна – в стандартном ( $v'$  при нечетном  $d$  и  $w'$  при четном), а другая – в антистандартном.  $\square$

В следующем Предложении мы опишем спектр стандартного (и антистандартного) кубильяжей зонотопа  $Z(n, d)$ .

**Предложение 16** Пусть  $v$  – вершина стандартного кубильяжа зонотопа  $Z(n, d)$ . Тогда существует разложение  $[n] = I_0 \sqcup I_1 \sqcup \dots \sqcup I_d$  на  $d + 1$  последовательный интервал, так что  $sp(v) = I_{d-1} \sqcup I_{d-3} \sqcup \dots$ . Обратно, любое множество такого вида есть спектр некоторой вершины стандартного тайлинга.

Для антистандартного кубильяжа спектры вершин имеют вид  $I_d \sqcup I_{d-2} \sqcup \dots$ .

Доказательство. Стандартный кубильяж зонотопа  $Z(n, d)$  получается из стандартного же кубильяжа  $Z(n - 1, d)$  путем экспансии (добавления) цвета  $n$  вдоль задней (невидимой) мембраны (см. Пример из раздела 6). Поэтому спектр стандартного кубильяжа состоит из двух частей – первая состоит из множеств вида  $I_{d-1} \cup I_{d-3} \cup \dots$ , где интервалы  $I_d, I_{d-1}, \dots, I_0$  берутся из  $[n - 1]$ , а вторая получается из спектров вершин ‘задней’ мембраны (невидимой части границы зонотопа  $Z(n - 1, d)$ ) добавлением цвета  $n$ . Но ‘задняя’ мембрана – это фактически антистандартный кубильяж зонотопа  $Z(n - 1, d - 1)$ , и спектры ее вершин имеют вид  $J_{d-1} \cup J_{d-3} \cup \dots$ , где интервалы  $J_{d-1}, \dots, J_0$  снова берутся из  $[n - 1]$ . В первом случае нужно ‘подправить’ интервал  $I_d$ , заменив его на интервал  $I_d \cup \{n\}$  (заметим, что  $I_d$  либо содержит цвет  $n - 1$ , либо пуст). Во втором случае мы добавляем новый интервал  $J_d = \{n\}$ .  $\square$

К примеру, для  $d = 1$  спектр стандартного кубильяжа  $Z(n, 1)$  состоит из  $(n + 1)$ -го интервала  $[k]$ ,  $k = 0, 1, \dots, n$ . Соответственно, спектры антистандартного тайлинга состоят из дополнительных интервалов:  $[n], [n - 1..n], \dots, [n - k..n], \dots, \emptyset$ .

Для  $d = 2$  спектр стандартного ромбического тайлинга состоит из произвольных интервалов в  $[n]$ , тогда как спектр антистандартного тайлинга – из коинтервалов (дополнений к интервалам).

Для  $d = 3$  спектр стандартного кубильяжа состоит из т.н. ‘полуторных’ интервалов, то есть множеств вида  $[1, i] \cup [j, k]$ , где  $0 \leq i \leq j \leq k - 1 \leq n$ .

Как следствие Предложения 16 мы получаем описание спектров *периферийных* вершин, то есть вершин зонотопа. Это в точности вершины, которые принадлежат одновременно стандартному и антистандартному кубильяжам. Тут удобно ввести понятие *интервального ранга* подмножества  $X \subset [n]$  как минимального числа  $r$ , такого что  $X$  представляется как объединение интервалов  $I_1 \sqcup \dots \sqcup I_r$ .

**Следствие 1.** *Множество  $X$  является спектром периферийной вершины зонотопа  $Z(n, d)$  тогда и только тогда, когда сумма интервальных рангов  $X$  и дополнительного множества  $[n] - X$  не больше  $d$ .*  $\square$

В частности, если размер некоторого множества  $X$  не больше, чем  $\frac{d-1}{2}$  (то есть  $2|X| \leq d - 1$ ), то соответствующая точка  $v(X)$  является периферийной, то есть вершиной зонотопа  $Z(n, d)$ . Иными словами, внутренние (не лежащие на границе зонотопа) целые точки появляются только на высоте  $h \geq d/2$  и выше. Этот факт тесно связан с явлением, обычно упоминаемым при обсуждении циклических политопов (см., например, [5, Пример 0.6]). А именно, что любое множество вершин циклического политопа размера не больше  $\frac{d-1}{2}$  принадлежит некоторой грани этого политопа.

**Следствие 2.** *Спектр периферийной вершины  $(d - 1)$ -разделен с любым подмножеством в  $[n]$ .*  $\square$

Это утверждение коррелирует с Предложением 3, которое утверждает, в частности, что любая ‘целая’ точка вписывается в некоторый кубильяж.

## 17 Разделенность и кубильяжи

Мы уже получили, что система  $Sp(\mathcal{Q})$  для кубильяжа  $\mathcal{Q}$  зонотопа  $Z(n, d)$  является  $(d - 1)$ -разделенной и имеет размер  $\binom{n}{\leq d}$ . Теперь пойдём в обратном направлении и покажем, что система с такими свойствами получается как спектр некоторого кубильяжа. Для начала покажем, что число  $\binom{n}{\leq d}$  – это верхняя граница для размера  $(d - 1)$ -разделенной системы в  $[n]$ .

**Предложение 17** *Пусть  $\mathcal{S}$  –  $(d - 1)$ -разделенная система подмножеств в  $[n]$ . Тогда ее размер не превышает  $\binom{n}{\leq d}$ .*

*Доказательство.* Разобьём  $\mathcal{S}$  на две части:  $\mathcal{S}_0$ , члены которой не содержат цвет  $n$ , и  $\mathcal{S}_1$ , члены которой содержат  $n$ . Обозначим через  $\mathcal{S}_2$  систему множеств вида  $X - n$ , где  $X$  пробегает  $\mathcal{S}_1$ . Очевидно, что размер  $\mathcal{S}_2$  равен размеру  $\mathcal{S}_1$ . Легко понять, что  $\mathcal{S}_0 \cup \mathcal{S}_2$  –  $(d - 1)$ -разделенная система в  $[n - 1]$ , поэтому (по индукции) ее размер не превосходит  $\binom{n-1}{\leq d}$ .

Рассмотрим теперь пересечение  $\mathcal{T} = \mathcal{S}_0 \cap \mathcal{S}_2$ . Оно состоит из множеств  $X \subset [n - 1]$ , которые принадлежат  $\mathcal{S}$ , причем  $Xn$  тоже принадлежит  $\mathcal{S}$ . Мы утверждаем, что *система  $\mathcal{T}$   $(d - 2)$ -разделенная*. В самом деле, предположим, что в  $\mathcal{T}$  есть множества  $X$  и  $Y$ , которые не  $(d - 2)$ -разделенные. Значит есть последовательность  $i_0 < i_1 < \dots < i_{d-1}$ , такая, что члены с четными индексами принадлежат (скажем)

$X - Y$ , а с нечетными  $-Y - X$ . Но тогда последовательность  $i_0 < i_1 < \dots \lesssim i_{d-1} < i_d = n$  обладает тем же свойством либо для  $\tilde{X} = Xn$  и  $Y$ , либо для  $X$  и  $\tilde{Y} = Yn$ . Это противоречит предположению о  $(d - 1)$ -разделенности  $\mathcal{S}$ .

Снова по индуктивному предположению размер  $\mathcal{T}$  не превосходит  $\binom{n-1}{\leq d-1}$ . Отсюда размер  $\mathcal{S}$ , равный сумме размеров  $\mathcal{S}_0$  и  $\mathcal{S}_2$ , то есть сумме размеров  $\mathcal{S}_0 \cup \mathcal{S}_2$  и  $\mathcal{S}_0 \cap \mathcal{S}_2$ , не превосходит  $\binom{n-1}{\leq d} + \binom{n-1}{\leq d-1} = \binom{n}{\leq d}$ .  $\square$

Ввиду Предложения 17  $(d - 1)$ -разделенные системы в  $[n]$  размера  $\binom{n}{\leq d}$  называются *максимальными по размеру*, противопоставляя это *максимальности по включению*. Следующий результат установлен Галашиным и Постниковым [12] в несколько большей общности (они не ограничивались кубильяжами циклических зонотопов).

**Теорема 5** Пусть  $\mathcal{S}$  –  $(d - 1)$ -разделенная система в  $[n]$  размера  $\binom{n}{\leq d}$ . Тогда она имеет вид  $Sp(\mathcal{Q})$  для некоторого (единственного) кубильяжа зонотопа  $Z(n, d)$ .

Доказательство. Оно близко к доказательству Предложения 17. Снова разделим  $\mathcal{S}$  на  $\mathcal{S}_0$  и  $\mathcal{S}_1$  и обозначим  $\mathcal{S}_2$  как выше. Тогда из доказательства Предложения 17 следует, что размер  $\mathcal{S}_0 \cup \mathcal{S}_2$  равен  $\binom{n-1}{\leq d}$ , а размер пересечения  $\mathcal{S}_0 \cap \mathcal{S}_2$  равен  $\binom{n-1}{\leq d-1}$ . По индукции мы можем считать, что система  $\mathcal{S}_0 \cup \mathcal{S}_2$  реализуется некоторым кубильяжем  $\mathcal{Q}'$  в  $Z(n - 1, d)$ , а пересечение  $\mathcal{S}_0 \cap \mathcal{S}_2$  – кубильяжем  $\mathcal{Q}''$  зонотопа  $Z(n - 1, d - 1)$ . Очевидно, что  $\mathcal{Q}''$  реализуется мембраной  $\mathcal{M}$  в кубильяже  $\mathcal{Q}'$ . Остается взять в качестве  $\mathcal{Q}$  экспансию по цвету  $n$  кубильяжа  $\mathcal{Q}'$  вдоль этой мембраны. На уровне спектров это сведется к замене всех множеств  $X$  из  $\mathcal{S}_2$  на множества  $Xn$ . Так что  $Sp(\mathcal{Q}) = \mathcal{S}_0 \cup \mathcal{S}_1 = \mathcal{S}$ .  $\square$

Таким образом, мы получаем еще одно криптоморфное воплощение кубильяжей. И снова можно в этих новых терминах пересказывать разные конструкции.

Приведем еще один интересный пример разделенных систем.

**Предложение 18** Пусть  $\mathcal{M}_1$  и  $\mathcal{M}_2$  – две мембраны в зонотопе  $Z(n, d)$ , причем  $Inv(\mathcal{M}_1) \subset Inv(\mathcal{M}_2)$ . Тогда система  $Sp(\mathcal{M}_1) \cup Sp(\mathcal{M}_2)$   $(d - 1)$ -разделена.

Доказательство. Пусть это не так, и некоторые множества  $X \in Sp(\mathcal{M}_1)$  и  $Y \in Sp(\mathcal{M}_2)$  не  $(d - 1)$ -разделены. Тогда существует последовательность элементов  $i_1 < i_2 < \dots < i_{d+1}$  из  $[n]$ , которые поочередно лежат то в  $X - Y$ , то в  $Y - X$ . Рассмотрим случай, когда в  $X - Y$  лежат элементы  $i_{d+1}, i_{d-1}, \dots$  (а элементы  $i_d, i_{d-2}, \dots$  лежат в  $Y - X$ ), и образуем  $d$ -элементное множество  $K = \{i_1, \dots, i_d\}$ . По Лемме 3, примененной к  $X$ , мы получаем, что  $K$  является инверсным для мембраны  $\mathcal{M}_1$ , а значит и для мембраны  $\mathcal{M}_2$ . Но по той же Лемме 3 мы получаем, что множество  $X$  неинверсное для мембраны  $\mathcal{M}_2$ .

Аналогично разбирается случай, когда элементы  $i_{d+1}, i_{d-1}, \dots$  лежат в  $Y - X$ . Однако теперь мы образуем  $d$ -элементное множество  $K' = \{i_2, \dots, i_{d+1}\}$ . По Лемме 3  $K'$  неинверсное для мембраны  $\mathcal{M}_2$ , а значит и для  $\mathcal{M}_1$ . Но по той же лемме  $K'$  инверсное для  $\mathcal{M}_1$ .  $\square$

## 18 Чистота и расширяемость

Предложение 17 поднимает следующий вопрос – когда данная  $(d - 1)$ -разделенная система  $\mathcal{S}$  подмножеств в  $[n]$  расширяется до системы максимального размера, то есть до  $(d - 1)$ -разделенной системы размера  $\binom{n}{\leq d}$ ? Или, в терминах раздела 4, когда соответствующее множество целых точек зонотопа  $Z(n, d)$  вписывается в некоторый кубильяж этого зонотопа. Если это так, система  $\mathcal{S}$  называется *расширяемой* (или, точнее,  $(n, d)$ -расширяемой). Если любая  $(d - 1)$ -разделенная система расширяема, то говорят, что для пары  $(n, d)$  выполнено свойство *чистоты*.

Например, мы видели в разделе 4, что любая одноэлементная система (то есть любое подмножество в  $[n]$ ) расширяема. Согласно Теореме 2 из раздела 13 любая мембрана вписывается в кубильяж. Покажем, что любая двухэлементная система расширяема.

**Предложение 19** Пусть  $X$  и  $Y$  – два  $(d - 1)$ -разделенных подмножества в  $[n]$ . Тогда двухэлементная система  $\{X, Y\}$  расширяема.

Доказательство. Будем доказывать индукцией по  $n$ . Предположим, что цвет  $i$  не входит в  $X$  и  $Y$ . Тогда их можно рассматривать как подмножества в  $[n] - i$ . По индукции множества  $X$  и  $Y$  вписываются в кубильяж  $\mathcal{Q}$  зонотопа  $Z([n] - i, d)$ . Остается сделать экспансию по цвету  $i$  (см. раздел 4) относительно невидимой (в направлении  $v_i$ ) части границы этого зонотопа.

Аналогично рассуждаем в том случае, когда цвет  $i$  входит как в  $X$ , так и в  $Y$ . Только теперь надо делать экспансию по цвету  $i$  относительно видимой по этому цвету части границы зонотопа.

Таким образом, все сводится к случаю, когда множества  $X$  и  $Y$  дополняют друг друга в  $[n]$ . Пользуясь интервальным представлением, мы видим, что  $X$  и  $Y$  образованы из чередующихся интервалов в некотором разложении  $I_0 \sqcup I_1 \sqcup \dots \sqcup I_r$  цепи  $[n]$  на последовательно идущие непустые интервалы. В силу  $(d - 1)$ -разделенности  $X$  и  $Y$  мы имеем  $r < d$ . Но это означает, что  $X$  и  $Y$  (точнее, реализующие их точки  $v(X)$  и  $v(Y)$ ) принадлежат ‘периферии’ зонотопа  $Z(n, d)$  и потому вписываются в любой кубильяж.  $\square$

Как мы увидим в следующем разделе, это утверждение уже неверно для трех множеств. Это означает, что свойство чистоты выполнено не для любых  $(n, d)$ . А для каких же?

Тривиально чистота имеет место для  $d = 1$ . Чистота для  $d = 2$  была установлена Леклерком и Зелевинским в семинальной работе [6] (см. также наш обзор [7]). Чистота для  $d = 3$  установлена в работе Галашина [11]. Кроме того, по тривиальным причинам чистота имеет место для  $n = d + 1$  (капсиды). Этими случаями и исчерпывается чистота, как показано в [12]. В следующем разделе мы более подробно рассмотрим случай  $n = d + 2$  при  $d \geq 4$  и приведем простые и явные примеры нерасширяемых систем. Для распространения таких результатов на случай  $n > d + 2$  полезны будут следующие два факта.

**Предложение 20** Пусть  $\mathcal{S} \subset 2^{[n]}$ . Система  $\mathcal{S}$   $(n, d)$ -расширяема тогда и только тогда, когда она (рассмотренная как система подмножеств в  $[n + 1]$ )  $(n + 1, d)$ -расширяема.

Доказательство. Пусть  $\mathcal{S}$   $(n, d)$ -расширяема. Тогда она  $(d - 1)$ -разделенная и реализуется как подмножество вершин некоторого кубильяжа  $\mathcal{Q}$  зонотопа  $Z = Z(n, d)$ . Пусть кубильяж  $\mathcal{Q}'$  зонотопа  $Z(n + 1, d)$  получен из  $\mathcal{Q}$  экспансией по цвету  $n + 1$  относительно невидимой (задней) мембраны  $Z$ . Так как  $\mathcal{Q} \subset \mathcal{Q}'$ , то  $\mathcal{S}$  вписывается в  $\mathcal{Q}'$ .

Обратно, пусть  $\mathcal{S}$  вписывается в некоторый кубильяж  $\mathcal{Q}'$  зонотопа  $Z(n + 1, d)$ . И пусть  $\mathcal{P} = \mathcal{P}_{n+1}$  – перегородка цвета  $n + 1$  в  $\mathcal{Q}'$ . Так как множества из  $\mathcal{S}$  не содержат цвет  $n + 1$ , эта система вершин лежит (нестрого) до перегородки  $\mathcal{P}$ . Поэтому при редукции  $\mathcal{P}$  мы получим кубильяж  $\mathcal{Q}$  зонотопа  $Z$ , в который  $\mathcal{S}$  вписывается.  $\square$

**Предложение 21** Пусть  $\mathcal{S}$  –  $(d - 1)$ -разделенная система подмножеств в  $[n]$ , и  $n' = n + 1$ . Образует систему  $\mathcal{S}' \subset 2^{[n+1]}$ ,  $\mathcal{S}' = \{Xn', X \in \mathcal{S}\}$ . Система  $\mathcal{S}$   $(n, d)$ -расширяема тогда и только тогда, когда система  $\mathcal{S} \cup \mathcal{S}'$   $(n + 1, d + 1)$ -расширяема.

Доказательство. Пусть  $\mathcal{S}$   $(n, d)$ -расширяемая, то есть вписывается в некоторый кубильяж  $\mathcal{Q}$  зонотопа  $Z(n, d)$ . Реализуем  $\mathcal{Q}$  как мембрану  $\mathcal{M}$  в некотором кубильяже  $\mathcal{Q}'$  зонотопа  $Z(n, d + 1)$ , так что  $\mathcal{S}$  образует часть вершин  $\mathcal{M}$ . Пусть, наконец,  $\mathcal{Q}''$  – экспансия  $\mathcal{Q}'$  по цвету  $n'$  относительно этой мембраны  $\mathcal{M}$ ; это некоторый кубильяж зонотопа  $Z(n + 1, d + 1)$ . При этом мембрана  $\mathcal{M}$  расширяется до перегородки  $\mathcal{P}$  цвета  $n'$  в  $\mathcal{Q}''$ . Система  $\mathcal{S}$  лежит на одной (видимой) стороне этой перегородки, тогда как  $\mathcal{S}'$  лежит на другой (невидимой) стороне перегородки  $\mathcal{P}$ . Откуда видно, что  $\mathcal{S} \cup \mathcal{S}'$  вписывается в  $\mathcal{Q}''$ .

Обратно, пусть система  $\mathcal{S} \cup \mathcal{S}'$  (как множество целых точек в зонотопе  $Z'' = Z(n + 1, d + 1)$ ) вписывается в некоторый кубильяж  $\mathcal{Q}''$  зонотопа  $Z''$ . Рассмотрим перегородку  $\mathcal{P}$  цвета  $n'$  в  $\mathcal{Q}''$ . Ясно, что  $\mathcal{S}$  располагается на одной стороне этой перегородки, тогда как  $\mathcal{S}'$  – на другой (и получается из  $\mathcal{S}$  сдвигом на вектор  $v_{n'}$ ). Редукция этой перегородки приводит к кубильяжу  $\mathcal{Q}'$  зонотопа  $Z' = Z(n, d + 1)$ ; при этом перегородка  $\mathcal{P}$  сжимается до мембраны  $\mathcal{M}$ , а системы  $\mathcal{S}$  и  $\mathcal{S}'$  сливаются в одну систему  $\mathcal{S}$  точек на этой мембране. Остается спроектировать эту мембрану и получить кубильяж  $\mathcal{Q}$  зонотопа  $Z(n, d)$ , содержащий систему  $\mathcal{S}$  как подмножество вершин.  $\square$

**Следствие.** Пусть  $\mathcal{S}$  – нерасширяемая система в зонотопе  $Z(d + r, d)$ ,  $r \leq r'$  и  $d \leq d'$ . Тогда существует нерасширяемая система в зонотопе  $Z(d' + r', d')$ .  $\square$

Мы говорили выше, что любая мембрана вписывается в кубильяж. Покажем, что не любая пара мембран (даже  $(d - 1)$ -разделенных) вписываются в кубильяж. Воспользуемся примером, построенным Циглером [10]. А именно, он построил две мембраны  $\mathcal{M}_1$  и  $\mathcal{M}_2$  в зонотопе  $Z(8, 4)$  (он задавал их в форме консистентных систем), которые обладали двумя свойствами: 1)  $Inv(\mathcal{M}_1) \subset Inv(\mathcal{M}_2)$ , и 2) эти две мембраны не вписываются в один кубильяж зонотопа  $Z(8, 4)$  (справедливости ради надо сказать, что Циглер формулировал свойство 2) немного в других терминах). Так вот, в силу Предложения 19 объединение спектров  $\mathcal{M}_1$  и  $\mathcal{M}_2$  является 3-разделенной системой в  $Gr([8], 4)$ , но не продолжающейся до максимальной по размеру. Это также дает пример отсутствия чистоты.

## 19 Случай $Z(6, 4)$

Здесь мы более подробно исследуем вопрос о расширяемых/нерасширяемых системах точек в  $Z(d+2, d)$ . Мы уже касались в разделе 11 вопроса о кубильяжах таких зонотопов и выяснили, что их бывает  $2n$  штук, где  $n = d+2$ . Мы подробно рассмотрим  $Z(6, 4)$  (в случае  $Z(5, 3)$  все 2-разделенные подсистемы расширяемы). На этом простом примере видны почти все эффекты общего случая  $Z(d+2, d)$ .

При малом  $n - d$  почти все целые точки лежат на границе зонотопа  $Z(n, d)$ . Например, при  $n = d+1$  только две точки не на границе. В случае  $n = d+2$  непериферийных точек  $2n$ . В самом деле, по формуле (1.2) число периферийных точек равно  $2\binom{d+1}{d-1} + \dots + \binom{d+1}{0} = 2(2^{d+1} - 1 - (d+1)) = 2^n - 2n$ . И так как все периферийные точки  $(d-1)$ -разделены со всеми точками, то нам надо разобраться с разделенностью этих  $2n$  непериферийных точек-множеств. Здесь мы и начнем считать, что  $n = 6$ , а  $d = 4$ .

В этом случае имеется  $52 = 64 - 12$  периферийных точек-множеств. Выпишем явно 12 непериферийных точек-множеств. Как было показано в Следствии 1 Предложения 16, периферийные точки задаются разбиением отрезка  $[n]$  на  $d$  последовательно идущих интервала; после этого надо взять объединение либо ‘четных’ интервалов, либо ‘нечетных’. В случае, когда  $d = 4$ , а  $n = 6$ , непериферийные точки-множества – это те, которые не укладываются (альтернированно) в четыре интервала, а должны задействовать 5 или 6 (непустых) интервалов. Понятно, что такие интервалы либо одноэлементные (и тогда их шесть), либо почти все одноэлементные, и только один интервал двухэлементный (и тогда интервалов пять). Выпишем эти 12 множеств как строки следующей таблицы.

1	3	5	
1	3	5	6
1	3		6
1	3	4	6
1		4	6
1	2	4	6
	2	4	6
	2	4	
	2	4	5
	2		5
	2	3	5
		3	5

Эти 12 множеств удобно расположить по кругу, как на циферблате часов, помещая 135 на месте шести часов, а дополнительное множество 246 на месте двенадцати часов. См. рис. 16.

Какие же множества среди этих 12-ти 3-разделенные? Легко понять, что неразделенными является множество и его дополнение, а также два соседа этого дополнения. Так что неразделенными являются множество и три ‘противоположных’ к нему. Это можно увидеть также из того, что подряд идущие 5 множеств на циферблате вписываются в один кубильяж (и дают все 12 кубильяжей зонотопа

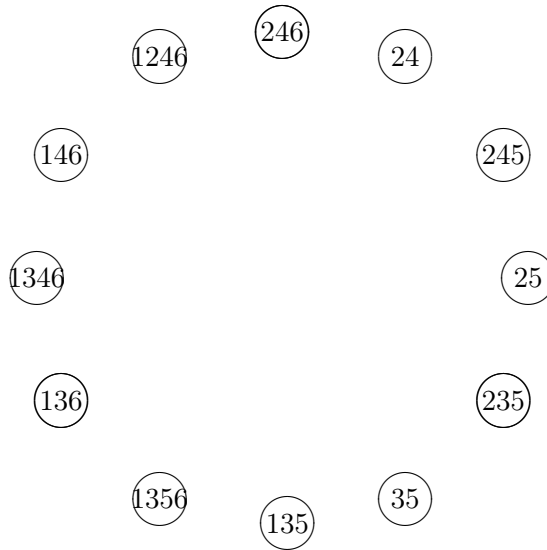


Рис. 16: циферблат

$Z(6, 4)$ ). Например, ‘цифры’ от часа до пяти (а именно, множества 24, 245, 25, 235 и 35) вписываются в стандартный кубильяж. Из этого описания 3-неразделенности видно, что три множества (размещенные как XII часов, IV часа и VIII часов, то есть множества 246, 235 и 136) образуют (вместе с периферией) максимальную по включению 3-разделенную систему из  $52+3=55$  множеств, тогда как максимум по размеру равен  $52+5=57$ . Это показывает, что в  $Z(6, 4)$  имеется система размера 55, которая не (6,4)-расширяемая (и максимальна по включению).

Аналогичные рассуждения показывают, что в  $Z(d+2, d)$  (при  $d \geq 4$ ) имеется  $(d+2, d)$ -нерасширяемая система.<sup>4</sup> Любопытно отметить, что в случае  $d = 8$  на циферблате из 20 ‘часов’ можно указать 5 ‘цифр’ (0, 4, 8, 12 и 16), которые дают максимальную по включению 7-разделенную подсистему в этой 20-элементной непериферийной системе. Вместе с периферией это дает 1009-элементную максимальную по включению 7-разделенную систему подмножеств множества [10]. В то время как максимум по размеру равен  $1004+9=1013$ . Разница равна  $1013-1009=4=d/2$ , что дает основания предположить, что *размер максимальной по включению  $(d-1)$ -разделенной системы отличается от максимума по размеру не более чем на  $d/2$ .*

Вместе со Следствием из предыдущего раздела мы получаем теорему Галашина-Постникова [12], что *если  $d \geq 4$  и  $n \geq d+2$ , то существует  $(n, d)$ -нерасширяемая система множеств в  $[n]$ .* В частности, для таких  $(n, d)$  нет чистоты.

## 20 Слабая разделенность

В разделе 16 и последующих вводилось и изучалось отношение  $k$ -разделенности в множестве  $2^{[n]}$ . Обобщая понятие слабой разделенности Леклерка и Зелевинского

<sup>4</sup>Отсутствие чистоты при  $d = 7$  фактически утверждается в [24, Proposition 8.1].

[6], можно предложить понятие слабой  $k$ -разделенности в случае нечетного  $k$ . (Для четного  $k$  мы не видим хорошего определения.) Удобнее, однако, задавать это отношение как усиление отношения  $(k + 1)$ -разделенности.

Итак, пусть  $k$  – нечетное натуральное число. Напомним, что подмножества  $A$  и  $B$  в  $[n]$  назывались  $(k + 1)$ -разделенными: если существует такое разбиение  $[n]$  на  $k + 2$  последовательных интервала  $[n] = I_0 \sqcup I_1 \sqcup \dots \sqcup I_{k+1}$ , что множество  $A - B$  располагается в объединении ‘четных’ интервалов  $I_0 \sqcup I_2 \sqcup \dots \sqcup I_{k+1}$ , а  $B - A$  – в объединении ‘нечетных’ интервалов  $I_1 \sqcup \dots \sqcup I_k$  (или наоборот).

**Определение.** Множества  $A$  и  $B$  как выше называются *сильно  $(k+1)$ -разделенными* (или *слабо  $k$ -разделенными*), если размер  $A$  не больше, чем размер  $B$ . Обратно говоря, ‘окружающее’ множество по размеру не превосходит ‘окружаемое’.

Например, множество 15 слабо 1-разделено с множествами 234 и 24, но не с множеством 3. Отношение слабой 1-разделенности – это в точности отношение слабой разделенности Леклерка-Зелевинского. Если множества  $A$  и  $B$   $k$ -разделены, то они слабо  $k$ -разделены, что оправдывает употребление эпитета ‘слабо’. Если  $A$  и  $B$  имеют одинаковый размер, слабая  $k$ -разделенность превращается в  $(k + 1)$ -разделенность.

В некоторых отношениях слабая  $k$ -разделенность ‘похожа’ на  $k$ -разделенность. Например: в Предложении 17 утверждается, что размер любой  $k$ -разделенной системы подмножеств  $[n]$  не превышает  $\binom{n}{\leq k+1}$ . Покажем, что это же верно для слабой  $k$ -разделенности.

**Предложение 22.** Пусть  $k$  – нечетное число. Размер слабо  $k$ -разделенной системы подмножеств в  $[n]$  не превышает  $\binom{n}{\leq k+1}$ .

Доказательство. Оно проводится индукцией по  $k$ ; при  $k = -1$  утверждение очевидно, так как сильная 0-разделенность – это просто равенство. Поэтому размер такой системы равен 1, как и  $\binom{n}{0}$ . При  $k \geq 1$  рассуждение начинается как в предложении 17. Пусть  $\mathcal{W}$  – слабо  $k$ -разделенная система в  $[n]$ ; разделим ее на две части:  $\mathcal{W}_0$ , члены которой не содержат цвет  $n$ , и  $\mathcal{W}_1$ , члены которых содержат цвет  $n$ . Пусть  $\mathcal{W}_2$  состоит из множеств вида  $X - n$ , где  $X$  пробегает  $\mathcal{W}_1$ . Ясно, что  $\mathcal{W}_0 \cup \mathcal{W}_2$  снова слабо  $k$ -разделенная система (уже в  $[n - 1]$ ), и по индукции ее размер не превосходит  $\binom{n-1}{\leq k+1}$ .

Обозначим через  $\mathcal{D}$  систему множеств  $X$ , которые сами лежат в  $\mathcal{W}_0$ , а их ‘двойник’  $Xn$  лежит в  $\mathcal{W}_1$ . Мы утверждаем, что *размер  $\mathcal{D}$  не превосходит  $\binom{n-1}{\leq k}$* . Как и в предложении 17, Предложение 22 следует из этой оценки. Следующие три леммы доказывают эту оценку.

**Лемма 5.** Пусть множества  $A$  и  $B$  из  $\mathcal{D}$  имеют один и тот же размер. Тогда они  $(k - 1)$ -разделены.

Доказательство.  $(k - 1)$ -неразделенность означает, что  $(A - B$  и  $B - A)$  нельзя альтернативно разместить в разбиении  $[n - 1]$  на  $k$  интервалов. То есть что для их размещения нужно задействовать  $k + 1$  интервал. Предположим, что такое размещение имеет схему  $ABAB\dots AB$  (слово из  $k+1$  буквы). В этом случае сравним  $B$  и  $An$ . И хотя эти множества помещаются в  $k+2$  интервала, размер окружающего множества  $An$  превышает размер окружаемого  $B$ , что противоречит тому, что

$An$  и  $B$  слабо  $k$ -разделены. Аналогично в случае схемы  $BA\dots BA$ , где мы будем сравнивать множества  $A$  и  $Bn$ .  $\square$

Обозначим через  $\mathcal{D}_i$  подсистему тех множеств из  $\mathcal{D}$ , которые имеют размер  $i$ . И дополним ее двумя другими системами подмножеств в  $[n-1]$ . Для их определения рассмотрим две вспомогательные системы  $\mathcal{S}$  и  $\mathcal{A}$ . Чтобы их задать, мы рассмотрим разбиение  $[n-1]$  на  $k$  интервалов,  $[n-1] = I_0 \sqcup \dots \sqcup I_{k-1}$ . Тогда объединение ‘нечетных’ интервалов  $(I_1 \sqcup \dots \sqcup I_{k-2})$  этого разбиения дает элемент системы  $\mathcal{S}$ , а объединение ‘четных’ интервалов дает элемент системы  $\mathcal{A}$ . Через  $\mathcal{S}_i$  мы обозначаем подсистему в  $\mathcal{S}$ , образованную множествами размера  $i$ , и аналогично понимаются  $\mathcal{A}_i$ .

**Лемма 6.** *Объединение систем  $\mathcal{S}_{n-1} \sqcup \dots \sqcup \mathcal{S}_{i+1} \sqcup \mathcal{D}_i \sqcup \mathcal{A}_{i-1} \sqcup \dots \sqcup \mathcal{A}_0$  образует слабо  $(k-2)$ -разделенную систему подмножеств множества  $[n-1]$ .*

Доказательство получается из следующих трех простых замечаний. Первое: множество из  $\mathcal{S}_i$  слабо  $(k-2)$ -разделено с любым множеством меньшего или равного размера. В самом деле, оно имеет вид  $I_1 \sqcup \dots \sqcup I_{k-2}$  для некоторого разбиения  $[n-1] = I_0 \sqcup \dots \sqcup I_{k-1}$  на  $k$  интервалов. Условие на размер дает сильную  $(k-1)$ -разделенность, то есть слабую  $(k-2)$ -разделенность. Второе: по тем же причинам множество из  $\mathcal{A}_i$  слабо  $(k-2)$ -разделено с любым множеством большего или равного размера. Третье – множества из  $\mathcal{D}_i$  слабо  $(k-2)$ -разделены по Лемме 5 (они  $(k-1)$ -разделены и имеют одинаковый размер).  $\square$

По предположению индукции размер системы  $\mathcal{S}_{n-1} \sqcup \dots \sqcup \mathcal{S}_{i+1} \sqcup \mathcal{D}_i \sqcup \mathcal{A}_{i-1} \sqcup \dots \sqcup \mathcal{A}_0$  не превосходит  $\binom{n-1}{\leq k-1}$ . С другой стороны размер системы  $\mathcal{S}$  (как спектра стандартного кубильяжа зонотопа  $Z(n-1, k-1)$ ) равен  $\binom{n-1}{\leq k-1}$ . Откуда мы заключаем, что размер  $\mathcal{D}_i$  не превосходит разности размеров  $\mathcal{S}_0 \sqcup \mathcal{S}_1 \sqcup \dots \sqcup \mathcal{S}_i$  и  $\mathcal{A}_0 \sqcup \dots \sqcup \mathcal{A}_{i-1}$ . И осталось разобраться с размером этой разности.

**Лемма 7.** *Эта разность равна числу вершин стандартного (а на самом деле – любого) кубильяжа зонотопа  $Z(n-1, k)$  на высоте  $i$ .*

Имея это равенство, мы быстро завершаем доказательство Предложения 22. В самом деле, размер  $\mathcal{D}_i$  не превосходит числа вершин стандартного кубильяжа на уровне  $i$ . Поэтому размер всей системы  $\mathcal{D}$  не превосходит числа вершин стандартного кубильяжа  $Z(n-1, k)$ , то есть  $\binom{n-1}{\leq k}$ . Но именно нужно было доказать.

Доказательство леммы 7. Рассмотрим зонотоп  $Z = Z(n-1, k)$ . Элементы системы  $\mathcal{S}$  реализуются как спектры вершины видимой части границы  $Z$ , элементы  $\mathcal{A}$  – как спектры вершин невидимой части границы. Обрежем  $Z$  на высоте  $i$ . Тогда элементы  $\mathcal{S}_0 \sqcup \mathcal{S}_1 \sqcup \dots \sqcup \mathcal{S}_i$  реализуются как вершины видимой части этого обрубка (‘чаши’), тогда как элементы  $\mathcal{A}_0 \sqcup \dots \sqcup \mathcal{A}_{i-1}$  – как вершины невидимой части (исключая те, которые находятся на высоте  $i$ ).

А теперь возьмем любой кубильяж  $Z$ , например, стандартный. И рассмотрим гирлянды (см. раздел 7) в этом кубильяже, точнее, те, которые начинаются в точках видимой части границы ‘обрубка’. Каждая гирлянда где-то пересекает другую границу ‘обрубка’, а это либо невидимая часть обрубка, либо его верхнее ‘горизонтальное’ основание (потолок). И при этом получается любая вершина кубильяжа

этой невидимой части границы обрубка. Отсюда мы получаем, что интересующая нас разность в точности равна числу вершин нашего кубильяжа, находящихся на высоте  $i$ . Лемма 7 доказана, а вместе с ней доказано и Предложение 22.  $\square$

Наконец, можно поставить вопрос о чистоте отношения слабой разделенности. Для  $k = 1$  утвердительный ответ был получен в [7]. Однако уже при  $k = 3$  ответ отрицателен. Для получения контрпримера обратимся снова к разделу 19, то есть к системе подмножеств в [6]. В этом случае есть 52 периферийных точек-множеств, которые 3-разделимы с любыми подмножествами в [6]. Мы утверждаем, что

а) Три множества 25, 1356 и 1246 слабо 3-разделены. Они даже 3-разделены, см. раздел 19.

б) Вместе с периферийными точками-множествами эти три множества образуют нерасширяемую дальше (максимальную по включению) слабо 3-разделенную систему размера  $52+3=55$ . Тогда как  $\binom{6}{\leq 4} = 57$ . Утверждение про нерасширяемость проверяется непосредственно. Например, множество 25 4-разделено с множествами 136, 1346 и 146, но разделено не сильно из соображений размера.

Отметим, с другой стороны, что нерасширяемая 3-разделенная система  $\{246, 235, 136\}$ , рассмотренная как слабо 3-разделенная, допускает расширение за счет добавления двух множеств 146 и 245.

## Дополнение 1. Поликатегорный взгляд на кубильяжи

Попробуем дать некоторое представление об этой достаточно изощренной конструкции, придуманной Маниным, Шехтманом, Капрановым и Воеводским ([14, 9, 15]).

В основе лежит идея, что кубильяжи можно трактовать как морфизмы, но между чем? Между кубильяжами меньшей размерности. Но те, в свою очередь, можно рассматривать как морфизмы, и так мы приходим не просто к категории, но к поликатегории. Грубо говоря, поликатегория – это система категорий, в которой для любых объектов  $a$  и  $b$  одной категории множество  $\text{Hom}(a, b)$  в свою очередь является множеством объектов другой категории, более высокого уровня.

Чтобы настроиться на этот поликатегорный взгляд, вернемся к ромбическим тайлингам. Пусть есть две мембраны в тайлинге, то есть две змейки, идущие в зоногоне  $Z(n, 2)$  из нижней вершины  $\emptyset$  в верхнюю вершину  $[n]$ . Предполагая, что вторая мембрана  $\mathcal{M}_2$  проходит правее первой  $\mathcal{M}_1$ , мы можем сказать, что  $\mathcal{M}_1 \leq \mathcal{M}_2$ , если между этими мембранами-змейками можно вписать (частичный) ромбический тайлинг (или, что эквивалентно, обе мембраны вписаны в некоторый ромбический тайлинг). Интерпретируя мембраны-змейки как линейные порядки (или перестановки) на множестве  $[n]$ , мы получаем (слабый) порядок Брюа.

Однако можно поступить более тонко и сказать, что нас интересует не просто существование тайлингов, ‘соединяющих’  $\mathcal{M}_1$  и  $\mathcal{M}_2$ , но и сами ‘соединяющие’ их тайлинги. Иначе говоря, морфизмом из  $\mathcal{M}_1$  в  $\mathcal{M}_2$  объявляется произвольный (частичный) тайлинг  $\mathcal{T}$  между  $\mathcal{M}_1$  и  $\mathcal{M}_2$ . Так мы получаем вместо посета Брюа

категорию Брюа, в которой объектами служат перестановки (или линейные порядки на  $[n]$ ), морфизмами – соединяющие их тайлинги, а композиция морфизмов производится просто путем объединения тайлингов. На самом деле, мы получаем большее: ведь два тайлинга  $\mathcal{T}_1$  и  $\mathcal{T}_2$  между  $\mathcal{M}_1$  и  $\mathcal{M}_2$  тоже можно сравнивать с помощью повышающих флипов. Так что  $\text{Hom}(\mathcal{M}_1, \mathcal{M}_2)$  не просто (довольно богатое) множество, но тоже посет! И композиция морфизмов-тайлингов уважает эти структуры посетов.

Но если уж мы встали на этот путь, то грех останавливаться. Можно не просто говорить, что тайлинги  $\mathcal{T}_1$  и  $\mathcal{T}_2$  соединяются повышающими флипами, но само такое соединение назвать морфизмом (уже следующего, второго уровня). А соединение – это некоторый (частичный) кубильяж уже в зонотопе  $Z(n, 3)$ . И эту конструкцию можно продолжать и далее, поднимаясь все выше и выше по размерности, пока мы не дойдем до зонотопа-куба  $Z(n, n)$ , в котором имеется уже только один тривиальный кубильяж.

Так выглядит эта поликатегорная картина в общих чертах.

В следующем примере мы приведем лишь наиболее интересный фрагмент поликатегорного полотна, да и то в предельно простом случае. А именно, возьмем  $n = 3$ , и изобразим лишь первый, второй и третий этажи получающейся ‘пагоды’.

Объектами первого этажа служат вершины куба  $Z(3, 3)$ , то есть подмножества базисного множества  $[3] = \{1, 2, 3\}$ . Но что считать морфизмами? Казалось бы, естественно полагать, что из множества  $X$  идет стрелка в  $Y$ , если  $X \subset Y$ . На этом пути мы приходим просто к посету  $2^{[3]}$ . Кубильяжная точка зрения говорит, что морфизмом надо считать ‘путь’ от  $X$  в  $Y$ , частичную змейку из  $X$  в  $Y$ . Композиция змеек очевидна: если есть змейка из  $X$  в  $Y$  и из  $Y$  в  $Z$ , надо просто приставить их друг к другу и получить змейку из  $X$  в  $Z$ .

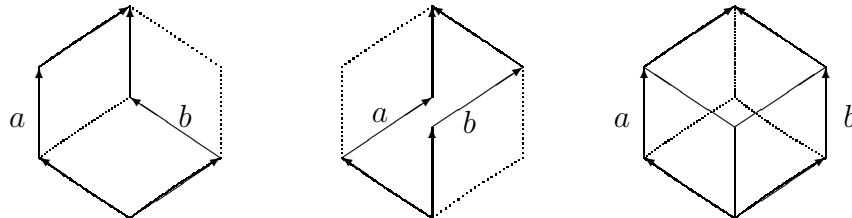


Рис. 17: Змейки в зонотопе  $Z(3, 2)$

Объектами второго этажа являются частичные змейки. Если есть две змейки  $a$  и  $b$  с одним и тем же началом и одним и тем же концом, возникает вопрос – можно ли замостить промежуток между ними ромбами? И морфизмами второго этажа (между  $a$  и  $b$ ) являются именно такие ромбические замощения области между  $a$  и  $b$  (здесь надо считать, что змейка  $b$  проходит правее змейки  $a$ ). В нашем случае с  $n = 3$  такое замощение бывает либо одно (как слева на рис. 17), или ни одного (как на среднем рисунке), где змейки идут из  $\emptyset$  в  $[3]$ .

Однако (в нашем простом случае) есть единственное исключение, когда между змейкой 123 и 321 (здесь мы понимаем сокращение 123 как линейный порядок на

множестве  $\{1, 2, 3\}$ ) возможны два замощения или тайлинга: стандартный и анти-стандартный. Так что если нарисовать часть второго этажа, содержащую только ‘полные’ змейки (из  $\emptyset$  в  $[3]$ , то есть шесть линейных порядков на множестве  $[3]$ ), мы получим следующую картину (рис. 18).

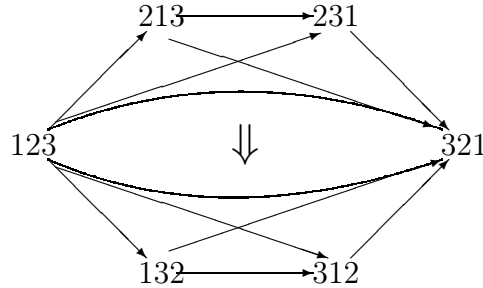


Рис. 18: Частичная картина поликатегории в случае  $n = 3$ .

Мы хотели бы обратить внимание, что из змейки  $123$  в змейку  $321$  идут два морфизма-тайлинга: стандартный и антистандартный. И эти два морфизма, как объекты третьего этажа, тоже связаны морфизмом (третьего уровня), который изображен двойной стрелкой  $\Rightarrow$ . (Конечно, на третьем этаже имеется еще много ‘банальных’ (изолированных) объектов.)

Этим примером мы хотели бы завершить рассказ о поликатегорном взгляде на кубильяжи. Подробности формализма можно посмотреть в статье Манина-Шехтмана [14] или Капранова-Воеводского [9, 15]. Само понятие поликатегории кратко обсуждается в книге [25] и более подробно – в книге [26]. Отметим еще статью [27], где на поликатегорном языке обсуждается уравнение Замолодчикова.

## Дополнение 2. Связь с триангуляциями и посетом Тамари-Сташева

Практически одновременно с введением кубильяжей в форме высшего посета Брюа появились (в работе Воеводского и Капранова [15]) посеты Тамари-Сташева, которые во многом параллельны посетам Брюа и тесно с ними связаны. На эту тему написано много работ, с которыми можно познакомиться по обзору [2].

Чтобы определить эти посеты, снова рассмотрим циклическую конфигурацию векторов  $C(n, d)$ . Концы этих векторов являются точками на гиперплоскости в  $\mathbb{R}^d$ , заданной уравнением  $x_1 = 1$ , то есть гиперплоскостью на ‘высоте’ 1. Выпуклая оболочка этих точек  $v_1, \dots, v_n$  называется *циклическим политопом* и обозначается  $P(n, d)$ ; это пересечение зонотопа  $Z(n, d)$  с гиперплоскостью, и его размерность равна  $d - 1$ . При  $d > 2$  точки  $v_i$  являются вершинами этого политопа.

Вместо кубильяжей зонотопа  $Z(n, d)$  теперь интересуются триангуляциями политопа  $P(n, d)$ , то есть разбиениями на  $(d - 1)$ -мерные симплексы, вершины которых лежат в множестве  $\{v_1, \dots, v_n\}$ . При  $d = 2$  это разбиение отрезка  $[v_1, v_n]$  на

подотрезки, при  $d = 3$  – разбиение выпуклого  $n$ -угольника на  $(n-2)$  треугольника, и так далее. Множество триангуляций обозначим  $\mathbf{TS}(n, d)$ .

Триангуляции во многом похожи на кубильяжи. Например, среди них есть ‘стандартная’ и ‘антистандартная’ триангуляции (или нижняя и верхняя триангуляции в терминологии [2]), которые получаются как ограничения соответствующих кубильяжей. В частности, этими триангуляциями исчерпываются множества  $\mathbf{TS}(d+1, d)$ . Замена стандартной триангуляции на антистандартную в  $\mathbf{TS}(d+1, d)$  называется повышающим флипом. Аналогичную вещь (повышающий флип) можно делать при любом  $n$ , если удастся найти фрагмент вида стандартной триангуляции  $\mathbf{TS}(d+1, d)$ . Мы говорим, что  $\mathcal{T} \leq \mathcal{T}'$ , если от  $\mathcal{T}$  можно добраться до  $\mathcal{T}'$  серией повышающих флипов. Это дает структуру посета в множестве  $\mathbf{TS}(n, d)$ , называемую *посетом Тамари-Сташева*.

**Пример 1.**  $d = 2$ . Задать тут триангуляцию – значит задать разбиение на отрезки отрезка  $[t_1, t_n]$ , причем так, чтобы концы отрезков были какие-то  $t_i$ . Любое подмножество в  $\{t_2, \dots, t_{n-1}\}$  задает такое разбиение на отрезки. Типичный повышающий флип состоит в замене двух последовательных отрезков  $[t_i, t_j]$  и  $[t_j, t_k]$  ( $t_i < t_j < t_k$ ) на отрезок  $[t_i, t_k]$ , то есть фактически удаление  $t_j$  из подмножества. Мы видим, что посет Тамари-Сташева в этом случае (анти)изоморфен булевой решетке подмножеств множества  $\{2, \dots, n-1\}$ .

**Пример 2.** Случай  $d = 3$  более интересен. Надо взять  $n$  точек на параболе  $y = x^2$ , упорядоченных по возрастанию  $x$ ; выпуклая оболочка этих точек дает циклический многоугольник  $P = P(n, 3)$ . Возьмем некоторую его триангуляцию и войдем (сверху) в треугольник со стороной  $[v_1, v_n]$ . После чего выйдем через любую из оставшихся сторон. Если при этом мы покидаем  $P$ , на этом путь заканчивается. Если попали в другой треугольник триангуляции, процесс продолжается – мы снова выходим через одну из двух других сторон этого треугольника. И так далее. В результате получается то, что называется *плоским бинарным деревом* (с  $(n-2)$ -мя некорневыми вершинами, соответствующими треугольникам триангуляции), см. рис. 20 и 21. В книге [28] (упр. 6.19) приведены еще 65 способов задания множества таких деревьев, среди которых стоит выделить способ ‘правильной’ расстановки скобок в строке из  $(n-1)$ -й буквы. Этот способ использовал Тамари при определении его посета  $\mathbf{TS}(n, 3)$ .

Чтобы говорить не просто о множестве  $\mathbf{TS}(n, 3)$ , но и о частичном порядке на нем, надо конкретизировать повышающие флипы. Они устроены так: надо взять фрагмент триангуляции, изображенный слева на рис. 19, и заменить диагональ  $(ik)$  четырехугольника на другую диагональ  $(jl)$ .



Рис. 19: флип триангуляции

Ниже нарисованы пять триангуляций пятиугольника и соответствующие бинарные деревья.

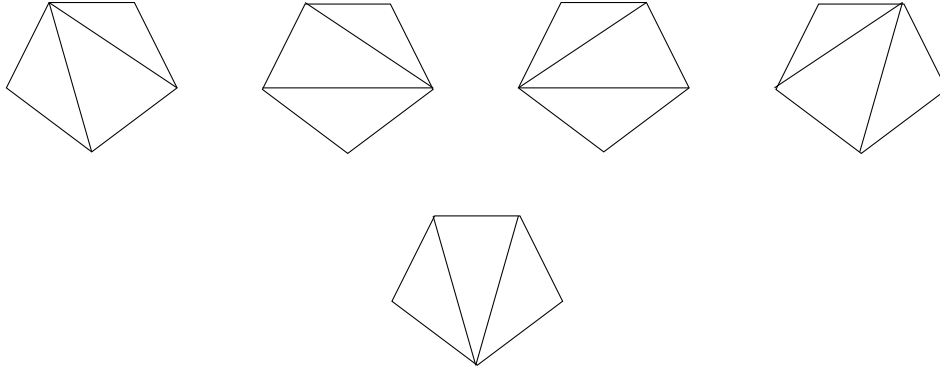


Рис. 20: пять триангуляций пятиугольника  $P(5, 2)$ .

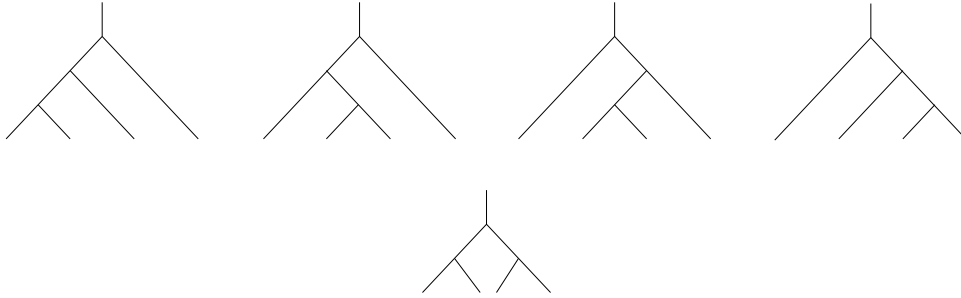


Рис. 21: соответствующие пять бинарных дерева.

Помимо очевидной аналогии с кубильяжами имеется более точная связь между ними. Пусть  $\mathcal{Q}$  – кубильяж зонотопа  $Z(n, d)$ . Если мы пересечем этот зонотоп гиперплоскостью  $x_1 = 1$ , мы получим в точности политоп  $P(n, d)$ ; сечения кубов той же гиперплоскостью дают триангуляцию политоп  $P(n, d)$ . Это дает естественное отображение

$$sec : \mathbf{Q}(n, d) \rightarrow \mathbf{TS}(n, d).$$

Триангуляция  $\mathcal{T} = sec(\mathcal{Q})$  дает полное представление о кубах, лежащих в ‘основании’ кубильяжа  $\mathcal{Q}$  (то есть укорененных в 0), но мало что говорит о том, как лежат кубы выше. Поэтому нет оснований надеяться на инъективность отображения  $sec$ , и уже простейшие примеры показывают неинъективность. В то же время есть веские основания надеяться, что верна следующая

**Гипотеза 1.** *Отображение  $sec : \mathbf{Q}(n, d) \rightarrow \mathbf{TS}(n, d)$  сюръективно.*

Во всяком случае это так для  $d \leq 3$ . В случае  $d = 2$  это простое упражнение. Случай  $d = 3$  можно получить из работы [31, сек. 7] или из результатов [11].

Отметим, что в обзоре [2] (в пункте 8.3) также говорится про связь посетов Тамари и Брюа, но там обсуждается другое отображение. Что же касается отображения  $sec$ , то оно обсуждается в работе [33]. Там заявляется о сюръективности этого отображения, правда посет Тамари понимается несколько иначе, более ‘комбинаторно’. А вся их работа посвящена применению Тамари-посетов к солетонным решениям уравнения Кадомцева-Петвიაшвили. Имеется еще несколько работ о связи уравнения КП и кубильяжей-триангуляций, из которых отметим самую последнюю [34]

Ометим еще, что отображение  $sec : \mathbf{Q}(n, d) \rightarrow \mathbf{TS}(n, d)$  согласовано с флипами. Если мы делаем флип в кубильяже  $\mathcal{Q}$ , то он может индуцировать флип в триангуляции  $sec(\mathcal{Q})$ . Точнее, если мы делаем флип внутри некоторого капсида, укорененного в 0, мы получаем флип соответствующей триангуляции. Если же капсид расположен ‘высоко’, то флип кубильяжа не оказывает никакого воздействия на триангуляцию. В любом случае это дает, что отображение  $sec : \mathbf{Q}(n, d) \rightarrow \mathbf{TS}(n, d)$  согласовано со структурами посетов.

### Дополнение 3. Слабые мембраны

Это дополнение непосредственно продолжает материал разделов 9-11. С другой стороны оно примыкает к тематике Дополнения 2 про триангуляции циклических политопов.

В разделе 6 вводилось понятие мембраны в кубильяже. Это  $(d-1)$ -мерный подкомплекс кубильяжа, который при проекции  $\pi$  вдоль  $d$ -го координатного вектора  $e_d$  биективно проектируется туда же, куда весь зонотоп  $Z(n, d)$ . Аналогично понимается и слабая мембрана. Это тоже некоторая  $(d-1)$ -мерная пленка в зонотопе  $Z(n, d)$ , биективно проектирующаяся туда же, куда и весь зонотоп. Но есть два отличия. Первое – эта пленка уже не является подкомплексом кубильяжа  $\mathcal{Q}$ , но подкомплексом некоторого измельчения этого кубильяжа. Второе – проектируем мы не вдоль вектора (направления)  $e_d$ , но вдоль вектора  $e_d + \varepsilon e_1$ , где  $\varepsilon$  – небольшое положительное число. То есть мы глядим на зонотоп почти в направлении  $e_d$ , но чуть-чуть ‘снизу’. Иначе говоря, проекция  $\pi_\varepsilon$  вдоль вектора  $e_d + \varepsilon e_1$  переводит точку  $x = (x_1, x_2, \dots, x_d) \in \mathbb{R}^d$  в  $\pi_\varepsilon(x) = (x_1 - \varepsilon x_d, x_2, \dots, x_{d-1}) \in \mathbb{R}^{d-1}$ .

Скажем более точно. Циклический зонотоп  $Z = Z(n, d)$  как бы растет из точки 0 ‘вверх’, до высоты  $n$ , и все его вершины, как и вершины кубильяжа  $\mathcal{Q}$ , находятся на целочисленной высоте. Рассечем и зонотоп  $Z$ , и все кубы кубильяжа  $\mathcal{Q}$  ‘горизонтальными’ гиперплоскостями  $H_k$ , заданными уравнениями  $x_1 = k$ , где  $k$  пробегает целые числа от 1 до  $n-1$ . В результате каждый куб  $Q$  будет разрезан на  $d$  частей, называемых *кусками*. Каждый кусок – это некоторый гиперсимплекс (в терминологии [29]). На рис. 22 показано рассечение трехмерного куба на три куска: нижний тетраэдр, октаэдр и верхний тетраэдр.

Получается разбиение зонотопа  $Z$ , но уже не на кубы, но на более мелкие куски-гиперсимплексы, которое мы обозначаем  $\mathcal{Q}^\equiv$  и называем *измельчением* кубильяжа  $\mathcal{Q}$ .

Измельченный кубильяж  $\mathcal{Q}^\equiv$  имеет те же вершины, что и  $\mathcal{Q}$ . Но нас больше

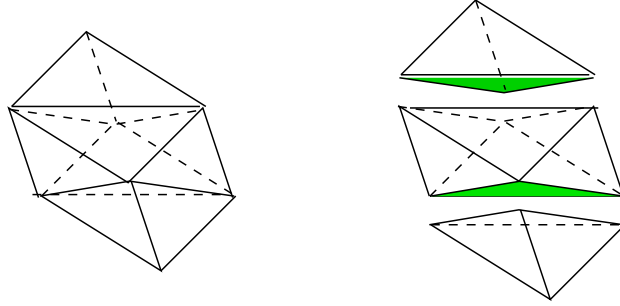


Рис. 22: куски

будут интересоваться ‘фасеты’  $\mathcal{Q} \equiv$ , или фасеты кусков. Они бывают ‘вертикальные’ (это куски фасет кубов кубильяжа  $\mathcal{Q}$ ) и ‘горизонтальные’, лежащие в некоторой гиперплоскости  $H_k$ . (И те, и другие – гиперсимплексы, только теперь размерности  $d - 1$ .) Большинство фасет куска  $P$  вертикальные, и только две (или одна, если кусок – симплекс) горизонтальные.

*Слабая мембрана* (или *w-мембрана*) в кубильяже  $\mathcal{Q}$  – это подкомплекс  $\mathcal{W}$  измельчения  $\mathcal{Q}$ , который при проекции  $\pi_\varepsilon$  вдоль вектора  $e_d + \varepsilon e_1$ , биективно (гомеоморфно) проектируется на зонотоп (меньшей размерности)  $\pi_\varepsilon(Z)$ . Обычные мембраны (из раздела 6, их можно называть сильными) могут пониматься как слабые. Как и сильные мембраны, слабые мембраны гомеоморфны  $(d - 1)$ -мерному диску, край которого – это обод зонотопа  $Z$  (относительно  $\pi$  или  $\pi_\varepsilon$ ), и они делят зонотоп  $Z$  на две части – перед мембраной ( $Z_-(\mathcal{W})$ ) и после мембраны ( $Z_+(\mathcal{W})$ ); каждая из этих частей тоже разбита на куски. Проекция (при  $\pi_\varepsilon$ ) клеток мембраны дают некоторое разбиение зонотопа  $\pi_\varepsilon(Z)$  на плитки-гиперсимплексы, которое можно было бы назвать *гиперкомби*, по аналогии с понятием комби в размерности 2, [30, 31]. Это интересный объект, но мы (пока) не будем им заниматься.

Главное отличие слабых мембран от сильных в том, что первые могут иметь горизонтальные участки (‘выступы’ или ‘балконы’), см. рис. 23 и 24.

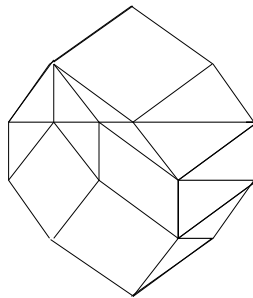


Рис. 23: слабая мембрана в ромбическом тайлинге; видны три балкона.

Простейшие примеры *w-мембран* (назовем их *главными*) получаются следующим образом. Пусть  $\mathcal{Q}$  – кубильяж зонотопа  $Z = Z(n, d)$ . Мы идем (сверху вниз) сначала по передней (видимой) части границы  $Z$  до уровня  $k$ ,  $0 \leq k \leq n$ . Затем

идем горизонтально по этому уровню  $k$  вплоть до невидимой (задней) части границы и наконец спускаемся до 0 по задней границе. На рис. 24 слева изображена главная  $w$ -мембрана (при  $k = 2$ ) для зонотона  $Z(5, 2)$ , а справа – для зонотопа  $Z(5, 3)$  (вид спереди и немного снизу).

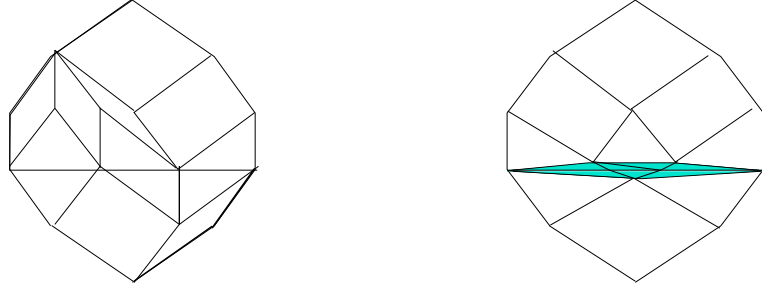


Рис. 24: простые мембраны.

Тут уступы имеются лишь на высоте 2; в общем случае уступы могут встречаться на любой высоте. Для тривиального кубильяжа куба  $Z(d, d)$  все мембраны главные.

Отметим, что триангуляции циклического политопа из Дополнения 2 можно понимать как главные слабые мембраны (для  $k = 1$ ).

Основная вещь, о которой мы хотим рассказать – это аналог естественного порядка на множестве кусков измельченного кубильяжа  $\mathcal{Q} \equiv$ . Поступим в точности как в разделе 9. А именно, введем понятие *непосредственного следования*  $\prec$  для кусков. Только проектируем (и, соответственно, говорим о видимых и невидимых фасетах кусков) не отображением  $\pi$ , а чуть измененным отображением  $\pi_\varepsilon$ . При этом заметим следующее. Пусть кусок  $P$  (лежащий в кубе  $Q$ ) непосредственно предшествует куску  $P'$  (лежащему в кубе  $Q'$ ),  $P \prec P'$ . Тогда возможны два случая:

- 1) куски  $P$  и  $P'$  лежат на одном этаже (между гиперплоскостями  $H_k$  и  $H_{k+1}$ ), и тогда  $Q \prec Q'$ ;
- 2) куски  $P$  и  $P'$  разделены гиперплоскостью  $H_k$ ; тогда  $Q = Q'$ , и  $P$  лежит под  $P'$ .

Это замечание помогает доказать следующий аналог Предложения 6:

**Утверждение.** *Отношение  $\prec$  на  $\mathcal{Q} \equiv$  ациклично.*

В самом деле, пусть  $P_1 \prec \dots \prec P_m$  – некоторый направленный путь в  $\mathcal{Q} \equiv$ . И пусть  $Q_l$  – куб кубильяжа  $\mathcal{Q}$ , содержащий кусок  $P_l$ . Тогда мы получаем направленный путь  $Q_1 \dots Q_m$  в  $\mathcal{Q}$ , в котором соседние кубы либо связаны отношением  $\prec_{\mathcal{Q}}$ , либо совпадают. В силу Предложения 6 раздела 9, если на этом пути встречается хоть раз отношение  $\prec_{\mathcal{Q}}$ , то  $Q_1$  отлично от  $Q_m$  и тем более  $P_1$  отлично от  $P_m$ . Поэтому можно считать, что все  $Q_l$  одни и те же и равны некоторому кубу  $Q$ . Тогда все куски  $P_l$  – это куски этого куба  $Q$ . Теперь утверждение очевидно, потому что каждый следующий кусок лежит на этаж выше предыдущего.  $\square$

Основываясь на этом утверждении, мы транзитивно замыкаем отношение  $\prec$  и получаем отношение порядка  $\preceq$  на  $\mathcal{Q} \equiv$ , которое снова называем *естественным*.

И точно так же, как это делалось в разделе 11, можно ввести понятие стэка (или идеала) для этого порядка и отождествить слабые мембраны (для кубильяжа  $\mathcal{Q}$ ) со стэками. Польза этого простого наблюдения в том, что стэк ‘разбирается’ путем удаления некоторого максимального (относительно порядка  $\preceq$ ) элемента (куска). В терминах слабых мембран мы получаем понятие слабого (понижающего) флопа. Важное следствие состоит в том, что от любой слабой мембраны до ‘минимальной’ (и уже сильной) мембраны можно добраться серией таких слабых понижающих флопов. Кроме того, множество слабых мембран (в кубильяже  $\mathcal{Q}$ ) является (как в Предложении 11) дистрибутивной решеткой.

Однако на этом аналогии частично обрываются, и ситуация начинает зависеть от четности/нечетности  $d$ . Вернемся к простейшему кубильяжу куба  $Z(d, d)$ . У измельчения такого куба имеется  $d$  кусков. И почти у всех кусков (кроме средних) все вершины лежат на ободе этого куба. Как мы знаем из раздела 7, не на ободе находятся только две вершины, обозначенные там как  $t$  и  $h$  (хвост и голова). Обе эти вершины принадлежат либо одному ‘среднему’ куску (если  $d$  нечетно), либо одному ‘среднему’ сечению (если  $d$  четно, см. Рис. 4). И это сказывается на числе вершин слабой мембраны. Когда мы удаляем нецентральный кусок из груды  $\mathcal{S}(\mathcal{W})$  домембранных кусков (делая соответствующий понижающий флоп), то число вершин слабой мембраны не меняется. Однако когда мы удаляем центральные куски, положение усложняется. Удаление более верхнего куска (при четном  $d$ ) приводит к увеличению числа вершин мембраны на 1, удаление более низкого – к уменьшению на 1, а удаление единственного центрального куска (при нечетном  $d$ ) не меняет числа вершин мембраны.

**Вывод.** *При нечетном  $d$  слабые мембраны имеют одно и то же число вершин, равное  $\binom{n}{\leq d-1}$ . При четном  $d$  число вершин у слабых мембран может меняться (в каких пределах?).*

Например, рис. 23 изображает тайлинг  $Z(5, 2)$  со слабой мембраной, у которой 12 вершин (вместо ‘нормальных’ шести).

А теперь вспомним Предложение 22, которое говорит, что (при нечетном  $d$ ) размер слабо  $(d-2)$ -разделенной системы в  $[n]$  не превосходит  $\binom{n}{\leq d-1}$ . В [32] доказывается, что *при нечетном  $d$  спектр любой слабой мембраны в  $Z(n, d)$  является слабо  $(d-2)$ -разделенной системой* (ср. с Предложением 15). Также есть основания предполагать следующее.

**Гипотеза 2** (ср. с Теоремой 5). *Если  $\mathcal{W}$  – слабо  $(d-2)$ -разделенная система размера  $\binom{n}{\leq d-1}$ , то она реализуется как спектр некоторой слабой мембраной в зонотопе  $Z(n, d)$ .*

Во всяком случае, для  $d = 3$  эта гипотеза верна.

## Дополнение 4. Доказательство ацикличности

В этом дополнении мы собираемся доказать Предложение 6 об ацикличности отношения  $\prec$  на множестве кубов кубильяжа  $\mathcal{Q}$ . На самом деле мы покажем большее

– что отношение  $\prec$  ациклично не только на множестве кубов фиксированного кубильяжа  $\mathcal{Q}$ , но на множестве  $\mathcal{C}$  всех кубов всех кубильяжей. (Абстрактным) *кубом* называется произвольный  $d$ -мерный куб  $C$  в зонотопе  $Z(n, d)$ , порожденный некоторым набором векторов в  $\mathbf{V}$  и растущий из целой точки. Такой куб задается указанием своего корня  $v(X)$  ( $X \subset [n]$ ) и своего типа  $T \subset [n]$ ;  $T$  имеет размер  $d$  и не пересекается с  $X$ . Как показано в Предложении 3, такой куб вписывается в некоторый кубильяж. Множество всех кубов в  $Z(n, d)$  обозначается  $\mathcal{C}(n, d)$ ; очевидно, оно равно объединению множества всех кубов всех кубильяжей  $Z(n, d)$ .

На множестве  $\mathcal{C}(n, d)$  введем бинарное отношение  $\prec$  ровно так, как это было сделано в разделе 9. Напомним, что  $Q \prec Q'$ , если эти кубы  $Q$  и  $Q'$  соседние по некоторой общей фасете  $F$ , причем эта фасета  $F$  невидимая в  $Q$  и видимая в  $Q'$ . Предложение 6 следует из более сильного утверждения.

**Теорема.** *Отношение  $\prec$  на множестве  $\mathcal{C}(n, d)$  ациклично.*

Для доказательства теоремы мы выразим комбинаторно отношение  $\prec$ . Пусть куб  $Q$  равен  $(X, T)$ , куб  $Q' = (X', T')$ , и  $Q \prec Q'$ . Обозначим через  $F$  фасету, по которой эти кубы соседствуют. Комбинаторно эта фасета равна  $(S, J)$ , где  $S$  – корень фасеты, а  $J$  – ее тип. Очевидно,  $J = T \cap T'$ , размер ее равен  $d - 1$ . Пусть  $T = Ji$ ,  $T' = Jk$  для некоторых цветов  $i$  и  $k$ . Вектор  $v_i$  может либо входить в корень  $F$ , либо выходить из него. В первом случае  $S = Xi$ , во втором  $X = Si$ . Аналогично с  $k$ . Так что возможен один из четырех случаев, изображенных на рисунке 25.

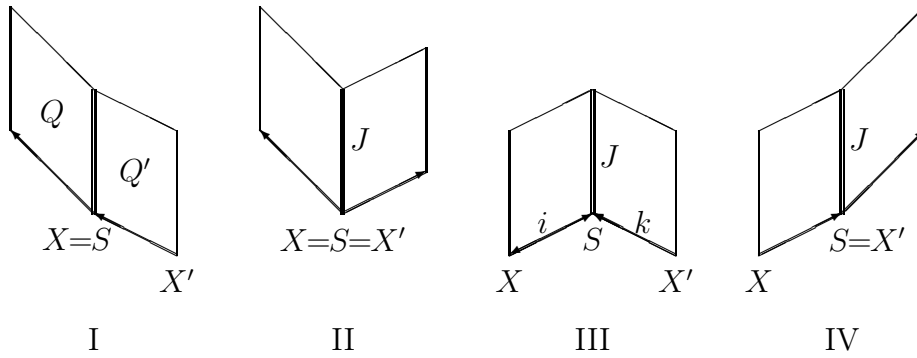


Рис. 25: четыре варианта примыкания кубов к стенке  $F$  типа  $J$

Мы должны теперь выразить то, что фасета  $F$  невидимая в кубе  $Q$ . Для этого будем временно считать, что корень фасеты  $F$  расположен в нуле. Пусть  $J = \{j_1 < j_2 < \dots < j_{d-1}\}$ ; тогда линейное уравнение  $\det(v_{j_1}, \dots, v_{j_{d-1}}, \cdot) = 0$  задает гиперплоскость, содержащую фасету  $F$ . То, что эта фасета невидимая в  $Q$ , означает, что вектор  $v_i$  лежит в положительном полупространстве (если он входит в корень  $F$ ) и в отрицательном полупространстве (если он выходит из корня  $F$ ). То есть в случаях I и II  $\det(v_{j_1}, \dots, v_{j_{d-1}}, v_i) < 0$ , а в случаях III и IV этот определитель больше 0.

Симметрично фасета  $F$  видимая в кубе  $Q'$ , если вектор  $v_k$  лежит в положительном полупространстве в случаях II и IV, и в отрицательном полупространстве в случаях I и III. То есть определитель  $\det(v_{j_1}, \dots, v_{j_{d-1}}, v_k)$  должен иметь знак + или - соответственно.

Это возвращает нас к вопросу о знаках определителей, о котором мы рассказали в разделе 5. А именно, точки  $j_1 < j_2 < \dots < j_{d-1}$  на отрезке  $[n]$ , делят этот отрезок на  $d$  интервалов, которые удобно нумеровать справа налево. Нулевой интервал состоит из точек-чисел строго больших  $j_{d-1}$ , первый интервал – между  $j_{d-2}$  и  $j_{d-1}$  и так далее; последний интервал состоит из чисел, строго меньших  $j_1$ . Если число  $j$  попадает в интервал с четным номером, то определитель  $\det(v_{j_1}, \dots, v_{j_{d-1}}, v_j)$  положителен; если с нечетным номером – отрицателен. Можно говорить, что число  $j$  *четно* относительно  $J$ , если  $j$  попадает в интервал с четным номером, и *нечетно* в противном случае.

Подведем итог. Пусть задана фасета  $F$ , представленная как пара  $(S, J)$ , и куб  $Q = (X, T)$ , имеющий  $F$  своей фасетой, так что  $T = Ji$  для некоторого  $i$ , не принадлежащего  $J$ . Фасета  $F$  невидима в кубе  $Q$  тогда и только тогда, когда выполнено одно из двух:

- а)  $X = S$  и  $i$  нечетно относительно  $J$ ;
- б)  $X = S - i$  и  $i$  четно относительно  $J$ .

Симметрично, пусть куб  $Q' = (X', T')$  имеет  $F$  своей фасетой, так что  $T' = Jk$ . Фасета  $F$  видима в кубе  $Q$  тогда и только тогда, когда выполнено одно из двух:

- а')  $X' = S$  и  $k$  четно относительно  $J$ ;
- б')  $X' = S - k$  и  $k$  нечетно относительно  $J$ .

Таким образом,  $Q \prec Q'$  тогда и только тогда, когда выполнены комбинации: а) и а') (случай II рисунка), или а) и б') (случай I рисунка), или б) и а') (случай IV) или б) и б') (случай III).

Итак, мы выразили комбинаторно отношение  $\prec$ . Теперь приступим к доказательству теоремы. Для этого разделим все множество  $\mathcal{C}$  кубов на три группы, или уровня,  $\mathcal{C}_0$ ,  $\mathcal{C}_1$  и  $\mathcal{C}_2$ . К нулевому уровню  $\mathcal{C}_0$  мы относим те кубы  $(X, T)$ , для которых цвет  $n$  не входит ни в  $X$ , ни в  $T$ ; к первому уровню ('перегородка цвета  $n$ ')  $\mathcal{C}_1$  мы относим те кубы, для которых  $n$  принадлежит типу  $T$ ; наконец, второй уровень  $\mathcal{C}_2$  состоит из кубов, для которых  $n \in X$ . Следующее утверждение является ключевым.

**Лемма.** *Уровень монотонно не убывает относительно  $\prec$ .*

**Доказательство.** Пусть  $Q \prec Q'$ . Обозначим через  $l$  и  $l'$  уровни  $Q$  и  $Q'$ , соответственно. Мы должны проверить две вещи. Первая: если  $l' = 0$ , то и  $l = 0$ . Вторая: если  $l = 2$ , то и  $l' = 2$ .

Начнем со второго утверждения. Допустим, что  $l = 2$  (то есть  $n$  принадлежит  $X$ ), но  $n$  не принадлежит  $X'$ . Так как в случае а')  $X'$  содержит  $X$ , этот случай не реализуем и имеет место случай б'). Но тогда  $k = n$ , а  $n$  всегда четно, так что мы получаем противоречие.

Проверим теперь первое утверждение. Допустим, что  $l' = 0$ , тогда как  $l > 0$ . Это значит, что  $n$  не принадлежит ни  $X'$ , ни  $T'$ , и в то же время принадлежит либо  $X$ , либо  $T$ . Принадлежать  $X$  цвет  $n$  не может, как было только что показано.

Таким образом,  $n \in T = Si = (T' - k) \cup \{i\}$ . Так как  $n$  не принадлежало  $T'$ , то  $i = n$ . Но цвет  $n$  всегда четен, так что мы попадаем в случай а), когда  $X = S - i = S - n$ . Значит  $n$  принадлежит  $S$  и тем более  $X' = Sk$ . Противоречие.  $\square$

Приступим к доказательству теоремы. Оно ведется индукцией по  $n$ . При  $n = d$  утверждение теоремы верно, поскольку имеется всего один куб. Будем считать, что  $d < n$ .

Предположим, что имеется циклический монотонный путь  $Q_0 \prec Q_1 \prec \dots \prec Q_N = Q_0$ . В силу предыдущей Леммы этот путь целиком располагается на одном из уровней, нулевом, первом или втором.

Если цикл проходит на уровне 0, то он лежит в зонотопе  $Z(n - 1, d)$ , что противоречит индуктивному предположению.

Если цикл лежит на втором уровне, то заменим каждый корень  $X_i$  на  $X_i - n$ . Мы снова получаем циклический путь в зонотопе  $Z(n - 1, d)$ , что невозможно по индуктивному предположению.

Остается рассмотреть случай, когда циклический путь располагается на уровне 1. То есть, если  $Q_i = (X_i, T_i)$  для  $i = 0, \dots, N$ , то  $n \in T_i$  для всех  $i$ . В этом случае, заменяя каждое множество  $T_i$  на ‘редуцированное’ множество  $\tilde{T}_i = T_i - n$ , мы получим ‘путь’  $\tilde{Q}_0, \dots, \tilde{Q}_N$  в  $Z(n - 1, d - 1)$ , где  $\tilde{Q}_i = (X_i, \tilde{T}_i)$ . Главное замечание состоит в том, что мы снова получаем цикл, хотя и противоположно ориентированный, что противоречит индуктивному предположению. Это замечание следует из приводимой ниже Леммы о реверсе.

**Лемма о реверсе.** Пусть для кубов  $Q = (X, T)$  и  $Q' = (X', T')$  из  $\mathcal{C}(n, d)$  выполнено соотношение  $Q \prec Q'$ . Предположим, что  $n \in T, T'$ , и положим  $\tilde{T} = T - n$ ,  $\tilde{T}' = T' - n$ . Тогда для кубов  $\tilde{Q} = (X, \tilde{T})$  и  $\tilde{Q}' = (X', \tilde{T}')$  в зонотопе  $\tilde{Z} = Z(n - 1, d - 1)$  выполнено противоположное соотношение  $\tilde{Q}' \succ \tilde{Q}$ , где  $\succ$  – соответствующее отношение на множестве  $\mathcal{C}(n - 1, d - 1)$ .

*Доказательство.* Пусть  $J = T \cap T'$ ; очевидно, что  $J$  также содержит  $n$ . Положим  $\tilde{J} = J - n$ . Причина реверса состоит в том, что в силу  $J = \tilde{J}n$  четность какого-либо цвета  $i$  относительно множества  $\tilde{J}$  противоположна четности этого цвета относительно  $J$ .  $\square$

## Список литературы

- [1] Rambau J. Triangulations of cyclic polytopes and higher Bruhat orders. *Mathematika* 44, 1997, 162-194.
- [2] Rambau J., Reiner V. A survey of the higher Stasheff-Tamari orders. In *Associahedra, Tamari Lattices and Related Structures* (eds. F. Muller-Hoissen, J.M.Pallos, J. Stasheff), Birkhauser/Springer, 2012, pp. 351-390.
- [3] *Associahedra, Tamari Lattices and Related Structures* (eds. F. Muller-Hoissen, J.M. Pallo, and J. Stasheff), Springer, 2012.

- [4] Shephard G.C. Combinatorial properties of associated zonotopes. *Can. J. Math.*, v. 26, No. 2, 1974, 302-321.
- [5] Циглер Г.М. *Теория многогранников*. М.: МЦНМО, 2014. (Перевод Ziegler G. *Lectures on polytopes*, Springer-Verlag, N.Y., 1995.)
- [6] Leclerc B., Zelevinsky A. Quasicommuting families of quantum Plücker coordinates. *Amer. Math. Soc. Trans.*, Ser. 2, v. 181 (1998) 85-108.
- [7] Данилов В.И., Карзанов А.В., Кошевой Г.А. Системы разделенных множеств и их геометрические модели. *Успехи матем. наук*, т. 65, вып. 4 (394) 2010, 132-217.
- [8] Манин Ю.И., Шехтман В.В. О высших порядках Брюа, связанных с симметрической группой. *Функц. анализ и его приложения*, 1986, т. 20, вып. 2, 74-75.
- [9] Воеводский В.А., Капранов М.М. Свободная  $n$ -категория, порожденная кубом, ориентированные матриоды и высшие порядки Брюа. *Функц. анализ и его приложения*, 1991, т. 25, вып. 1, 62-65.
- [10] Ziegler G.M., Higher Bruhat orders and cyclic hyperplane arrangements. *Topology*, v. 32, No. 2, 1991, pp. 259-279.
- [11] Galashin P. Plabic graphs and zonotopal tilings. *Proc. London Math. Soc.* 117 (4), 2018, 661-681.
- [12] Galashin P., Postnikov A. Purity and separation for oriented matroids. arXiv:1708.01329[math.CO], 2017.
- [13] Bailey G.D. Tilings of zonotopes: Discriminantal arrangements, oriented matroids, and enumeration, Minnesota Univ., 1997.
- [14] Manin Yu., Schechtman V. Arrangements of hyperplanes, higher braid groups and higher Bruhat orders. In: *Algebraic Number Theory – in Honour of K. Iwasawa*, Advances Studies in Pure Math. 17, Academic Press, NY, 1989, pp. 289-308.
- [15] Kapranov M.M., Voevodsky V.A. Combinatorial-geometric aspects of polycategory theory: pasting schemes and higher Bruhat orders. *Cahiers de topologie et géométrie différentielle catégoriques*, t. 32, n. 1, 1991, 11-28.
- [16] Bjorner A., Las Vergnas M, Sturmfels B., White N., Ziegler G.M. *Oriented matroids*. Cambridge Univ. Press, 1999.
- [17] Athanasiadis C.A. Zonotopal subdivisions of cyclic zonotopes, *Geometriae Dedicata* 86, 2001, 37-57
- [18] Стенли Р. *Перечислительная комбинаторика*, т. 1. Москва, Мир, 1990

- [19] Felsner S., Ziegler G.M. Zonotopes associated with higher Bruhat orders. *Discrete Mathematics* 241, 2001, pp. 301-312.
- [20] Thomas H. Maps between higher Bruhat orders and higher Stasheff-Tamari posets. In *Formal Power Series and Algebraic Combinatorics Conference* – Linköping, Sweden, 2003.
- [21] Las Vergnas M. Extensions ponctuelles compatibles d’une geometrie combinatoire. *C.R. Acad. Sci. Paris, Ser. A-B*, 286(21), A981-A984, 1978.
- [22] Felsner S., Weil H. A theorem on higher Bruhat orders. *Discrete Comput. Geom.* 23, 2000, pp. 121-127.
- [23] Edelman P.H., Reiner V. Free arrangements and rhombic tilings. *Discrete Comput. Geom.*, 16 (1996) 307-340.
- [24] Oppermann A., Thomas H. Higher dimensional cluster combinatorics and representation theory. arXiv:1001.5437[math.RT], 2011.
- [25] Маклейн С. *Категории для работающего математика*. Москва, Физматлит, 2004.
- [26] Lurie J. *Higher topos theory*. Princeton Univ. Press, 2009.
- [27] Kapranov M.M., Voevodsky V.A. 2-categories and Zamolodchikov tetrahedra equations. *Proc. of Symposia in Pure Math.* v. 56, part. 2, 1994.
- [28] Стенли Р. *Перечислительная комбинаторика*, т.2. Москва, Мир, 2005.
- [29] Гельфанд И.М., Серганова В.В. Комбинаторные геометрии и страты тора на однородных компактных многообразиях. *УМН*, 1987, т. 42, вып. 2(254), 107-143.
- [30] Danilov V.I., Karzanov A.V., Koshevoy G.A. Combined tilings and separated set-systems. *Selecta Mathematica*, v. 23, 2017, 1175-1203.
- [31] Danilov V.I., Karzanov A.V., Koshevoy G.A. On interrelations between strongly, weakly and chord separated set-systems (a geometric approach). arXiv:1805.09595[math.CO], 2018.
- [32] Danilov V.I., Karzanov A.V., Koshevoy G.A. The weak separation in higher dimensions. *Manuscript*, 2019.
- [33] Dimakis A., Müller-Hoissen F. KP line solitons and Tamari lattices. In *Associahedra, Tamari Lattices and Related Structures* (eds. F. Muller-Hoissen, J.M.Palao, J. Stasheff), Birkhauser/Springer, 2012, pp. 391-424.
- [34] Karpman R., Kodama Y. Triangulations and soliton graphs for totally positive Grassmanian. arXiv:1808.01587[nlin.SI] 2018.

